



Universidad Nacional Autónoma
de México

FACULTAD DE INGENIERIA

**ANALISIS SISMICO TRIDIMENSIONAL DE
UN EDIFICIO DE ONCE NIVELES CON
ESTRUCTURA DE ACERO**

TESIS PROFESIONAL

QUE PARA OBTENER EL TITULO DE
INGENIERO CIVIL
P R E S E N T A :

HUGO AGUSTIN ARREOLA PLATA
ABEL RODRIGUEZ CONTRERAS

MEXICO, D. F.

1987

12A
28j



UNAM – Dirección General de Bibliotecas Tesis Digitales Restricciones de uso

DERECHOS RESERVADOS © PROHIBIDA SU REPRODUCCIÓN TOTAL O PARCIAL

Todo el material contenido en esta tesis está protegido por la Ley Federal del Derecho de Autor (LFDA) de los Estados Unidos Mexicanos (México).

El uso de imágenes, fragmentos de videos, y demás material que sea objeto de protección de los derechos de autor, será exclusivamente para fines educativos e informativos y deberá citar la fuente donde la obtuvo mencionando el autor o autores. Cualquier uso distinto como el lucro, reproducción, edición o modificación, será perseguido y sancionado por el respectivo titular de los Derechos de Autor.

**ANALISIS SISMICO TRIDIMENSIONAL DE UN EDIFICIO
DE ONCE NIVELES CON ESTRUCTURA DE ACERO**

*** INDICE ***

	Pág.
I.- INTRODUCCION.....	1
I.1 Aspectos Generales.....	1
I.2 Origen y Caracteristicas de los sismos.....	2
I.3 Caracteristicas del Sismo de Septiembre de 1985 y otros temblores anteriores.....	7
I.4 Comportamiento de las estructuras de acero durante el macrosismo de Septiembre de 1985.....	12
II.- LEVANTAMIENTO E INSPECCION DE DAÑOS DE LA ESTRUCTURA.....	17
III.- CONCEPTOS FUNDAMENTALES DE DINAMICA ESTRUCTURAL.....	42
III.1 Principios de Dinámica Estructural.....	42
a) Sistemas de un grado de libertad.....	42
b) Sistemas de varios grados de libertad.....	47
c) Sistemas inelásticos.....	50
III.2 Análisis Sísmico Dinámico.....	52
III.3 Análisis Tridimensional.....	54
IV.- ANALISIS DINAMICO TRIDIMENSIONAL.....	59
V.- ESTUDIO DEL COMPORTAMIENTO SISMICO.....	113
VI.- PROPUESTA DE REPARACION.....	128
VII.- CONCLUSIONES.....	147
BIBLIOGRAFIA.	

I. INTRODUCCION

I.1 Aspectos generales

El presente trabajo es un estudio sismico dinámico del Hotel del Prado, edificio de once niveles con estructura de acero y conexiones remachadas, construido en la década de los 40 por Fundidora Monterrey, el cual se comportó de manera aceptable considerando el extraordinario sismo al que fué sometido en septiembre de 1985.

Se parte del hecho de que un edificio diseñado en una época en la cual todavía no se contaba con una reglamentación sismica, con aceros de baja resistencia y con una estructura metálica tan esbelta, por haber sido calculada fundamentalmente para cargas verticales haya resistido un sismo de tal magnitud (8.1 grados en la escala Richter) salvando vidas, protegiendo la propiedad y bienes que ella contenía.

Nunca antes se habían presentado aceleraciones tan altas (del orden de 17% de la gravedad) en un lugar distante a 430 kilómetros de la zona epicentral, ni nunca antes las mismas habían presentado valores máximos en un número tan alto de impulsos, a ritmos tan regulares de 2 segundos y por un tiempo tan prolongado de 60 segundos.

El Hotel del Prado se encuentra situado en la zona del lago sobre una capa de 45 metros de arcilla lacustre altamente compresible, la cual generó un efecto de amplificación de la onda sismica.

Este estudio consta fundamentalmente de un Análisis Dinámico Tridimensional usando la versión más reciente del programa ETABS (Extended Three Dimensional Analysis of Building Systems) implantado en una microcomputadora. El programa idealiza la estructura como un conjunto de marcos verticales unidos por sistemas horizontales de piso infinitamente rígidos en su plano llamados diafragmas.

Por medio del programa ETABS es posible modelar de manera muy detallada la estructura y obtener una estimación muy aproximada de su respuesta, ésta es una de las razones que motivaron el uso de este paquete, además de la simplificación de los cálculos, ya que sería prácticamente imposible realizarlos en un tiempo tan corto sin la valiosa ayuda de la computadora. Aunque el reglamento permite emplear el método Estático de análisis sismico en edificios con alturas menores de 60 metros, no es recomendable aplicarlo a edificios que tengan distribuciones irregulares en elevación, ya que, se ha encontrado que se pueden subestimar apreciablemente las cortantes en ciertos entrepisos, por lo que se recomienda recurrir a un análisis dinámico que es un método más refinado.

I.2 Origen y características de los sismos.

Se conoce más acerca de los efectos producidos por un temblor que las causas que lo producen. Los temblores pueden tener entre otros un origen tectónico o volcánico. Según las teorías más aceptadas, los temblores tectónicos se producen

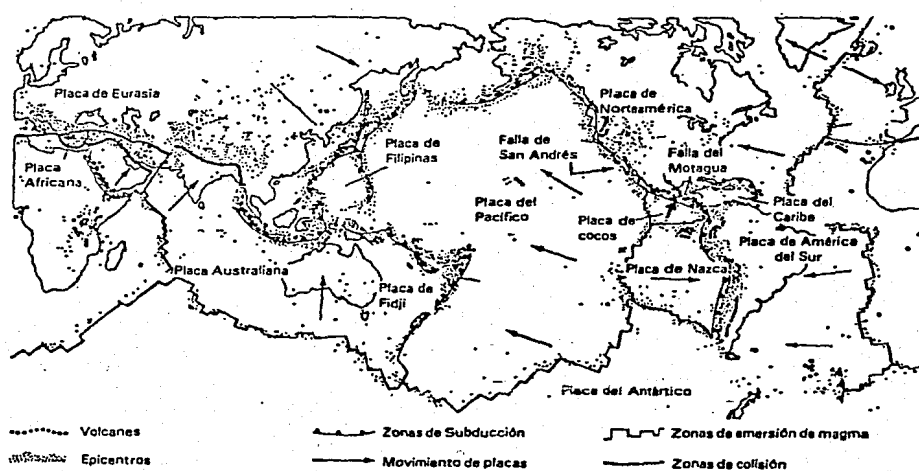
por una acumulación de energía de deformación en los grandes bloques de la corteza terrestre, provocada por distintas causas, tales como contracción térmica, desplazamientos, etc. Las erupciones volcánicas pueden producir temblores; sin embargo, la energía liberada es menor que en el caso de los temblores de origen tectónico.

En México son raros los temblores de origen volcánico, sin embargo es un país altamente sismico debido a que su costa del pacífico se encuentra en el borde de una zona de subducción, en dicha región la llamada placa de Cocos penetra bajo la placa de Norteamérica continental, según se observa en la Fig. I.1.

La velocidad relativa con la cual penetra la placa de Cocos bajo la de Norteamérica es de aproximadamente 6.4 cm por año, a lo largo de una hondonada en la topografía del fondo oceánico llamada trinchera.

Cuando ha ocurrido un temblor de gran magnitud, las placas no alcanzan una posición de equilibrio inmediato, y a lo largo de la zona de ruptura, las diferentes áreas se reacomodan paulatinamente, lo cuál da origen a posteriores movimientos (replicas) generalmente menores que el primer temblor.

El movimiento por un temblor origina principalmente ondas de cuerpo y ondas de superficie, las primeras pueden ser longitudinales y transversales, las ondas longitudinales también llamadas ondas P (primarias) son las más rápidas, ya que son las primeras en ser registradas por los sismógrafos y se producen por el movimiento de partículas en el sentido de propa-



Mapa que muestra la relación entre las principales placas tectónicas y la localización de los epicentros de terremotos y de los volcanes.

FIG. I.1.a

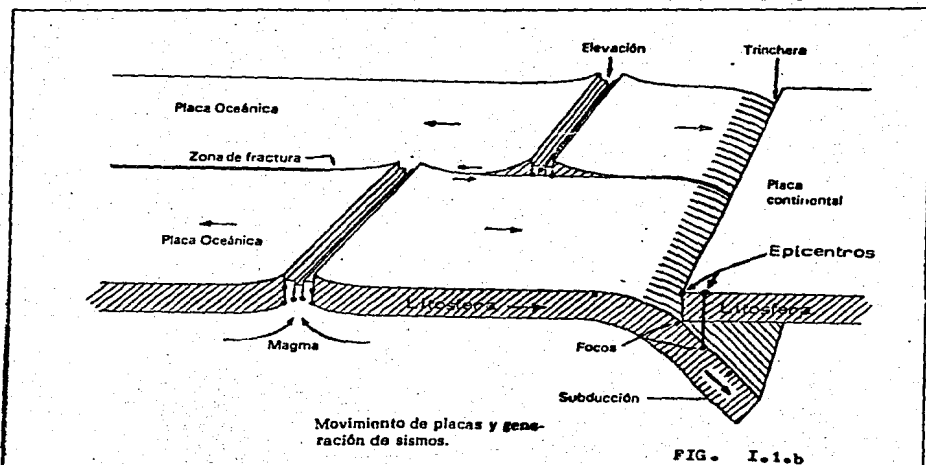


FIG. I.1.b

ción de la onda provocando esfuerzos normales en la roca. Las ondas transversales, también llamadas ondas S (secundarias) son más lentas y ocasionan vibraciones en un plano normal a su dirección de propagación originando oscilaciones y distorsiones sin cambio de volumen en las partículas que encuentran en su trayectoria, éstas ondas se denominan también ondas de cortante o de compresión.

Una partícula que se encuentra en el camino de una onda transversal, puede oscilar en cualquier dirección en el plano normal al avance de la onda y aunque son más lentas que las ondas P, pueden transmitir más energía produciendo mayor daño a las estructuras.

Cuando las ondas de cuerpo llegan a la superficie, se reflejan provocando las llamadas ondas de superficie (Love y Raleigh), y la velocidad con que se transmiten a través de la corteza terrestre depende de las propiedades mecánicas del medio.

Cuando la acumulación de esfuerzos alcanza grandes intensidades, se producen deslizamientos súbitos a lo largo de fracturas preexistentes, la corteza terrestre falla y los grandes bloques se acomodan hasta aliviar los esfuerzos y deformaciones que existían. En este proceso se desarrollan ondas que se propagan en distintas direcciones, algunas a grandes distancias, dependiendo de la energía disipada.

La acumulación de energía puede ser un proceso lento y puede existir un largo período que terminará abruptamente cuando

se alcance un estado critico de esfuerzos, que provocará el disparo sismico.

Un sismo no consiste en la liberación de energía en un punto determinado, sino más bien a lo largo de una falla geológica en una zona más o menos extensa, el punto o zona donde se origina el sismo recibe el nombre de foco y el punto sobre la superficie terrestre directamente encima del foco se denomina epicentro.

Por lo anterior se entiende que los macrosismos o temblores de gran magnitud necesitan de un lapso mayor para producirse, ya que requieren una acumulación mayor de energía, así como también que en los lugares que existen fallas geológicas la frecuencia de sismos será mayor.

La magnitud de un sismo esta asociada con un gran desprendimiento de energía a lo largo de una superficie de falla, ésta energía bajo la forma de ondas sismicas afectan grandes zonas de la superficie terrestre en la que se producen movimientos del suelo. La magnitud de un sismo se mide por la cantidad de energía cinética liberada por el disparo sismico, ésta definida como:

$$M = \log A - \log A_0$$

donde A es la amplitud máxima de la traza registrada por un instrumento estandar para un sismo dado a una distancia dada y A_0 es la amplitud máxima para un sismo particular seleccionado como estandar.

La intensidad de un temblor es la medida de la potencia destructiva de un sismo en un lugar dado, se han propuesto distintas escalas sísmicas con objeto de medir la intensidad de los temblores siendo la más usual la escala de Mercalli modificada que tiene doce divisiones. Esta escala no da valores numéricos para calcular las fuerzas sísmicas pero sirve como escala de comparación de distintos sismos en diferentes lugares.

I.3 Características del sismo de Septiembre

de 1985 y otros temblores anteriores.

El sismo del 19 de Septiembre de 1985 se originó con epicentro a unos 30 kilómetros al sur-poniente de la desembocadura del río Balsas en el océano Pacífico, y a unos 430 kilómetros al suroeste de la ciudad de México en una longitud de 170 km., y en un ancho de 70 kms. aproximadamente.

La velocidad con que se propagaron las ondas S fué del orden de 3.3 km/seg y la de las ondas P alrededor de 7 km/seg.

La reactivación de la Brecha de Michoacán ocurrió mediante dos deslizamientos violentos de la placa de Cocos debajo de la placa Continental, separados entre sí 26 segundos como se observa en los acelerogramas de las figuras I.2 y I.3.

El sismo provocó que la arcilla lacustre que se encuentra en el centro de la ciudad (fig.I.2a) vibrara según el ritmo de las oscilaciones y de los espesores variables, ritmo que hizo oscilar a su vez las edificaciones que sobreyacen en la zona.

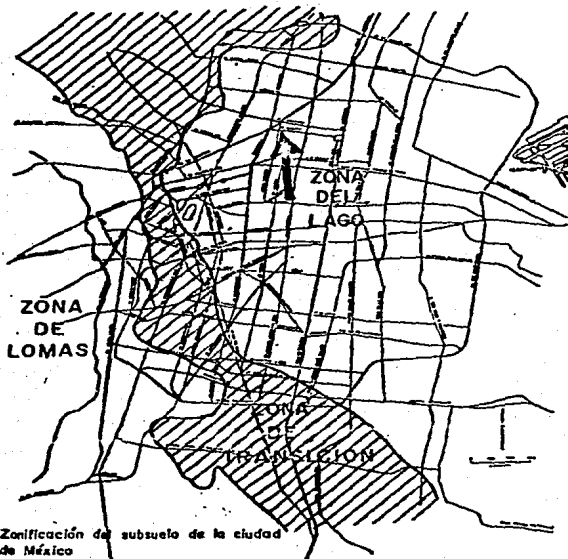
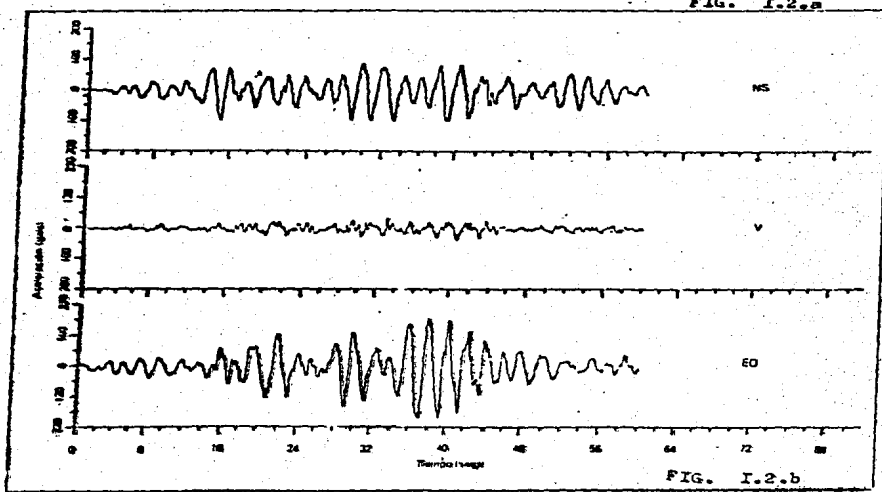
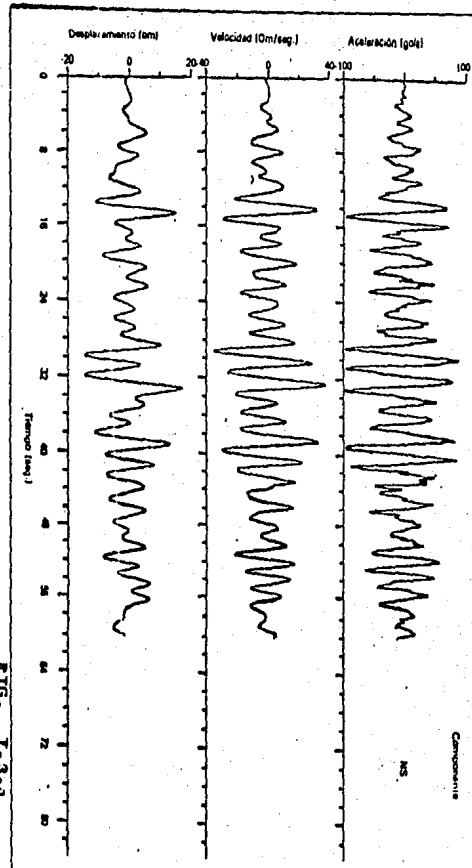
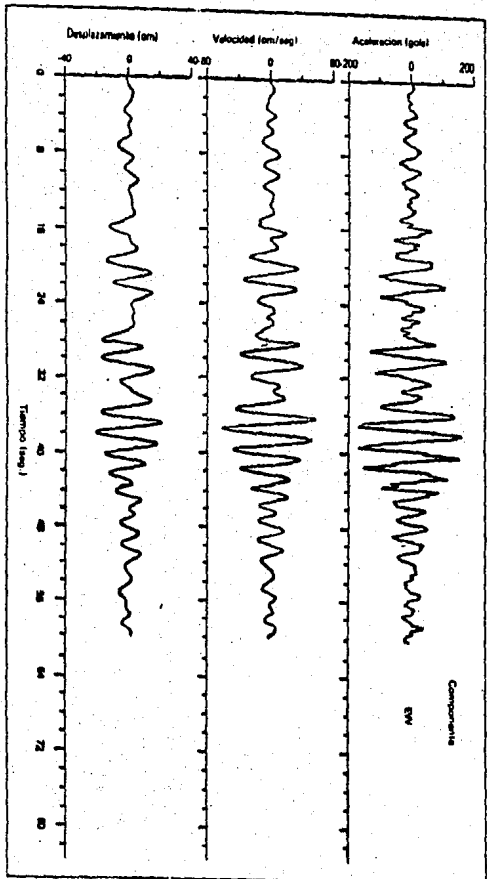
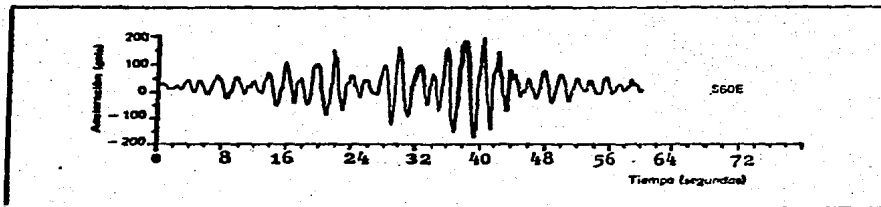


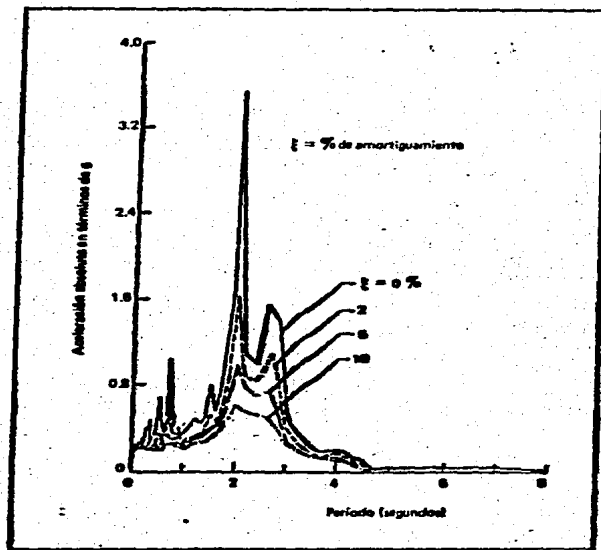
FIG. I.2.a







Acelerograma S60E en la SCT, sismo del 19 de septiembre de 1985.



Especros de oscilación para el acelerograma S60E en la SCT, sismo del 19 de septiembre de 1985.

FIG. I-4

Cuando el ritmo de la oscilación natural de un edificio conocido como su periodo fundamental encontró coincidencia con el ritmo de vibración del subsuelo se presentaron amplificaciones importantes en las aceleraciones que recibía el edificio del subsuelo, en lo que se denomina una "resonancia dinámica" llegándose a producir con ello fuerzas sismicas muy superiores para las cuales se habían calculado dichos edificios.

Dentro de la vida útil que ha tenido el Hotel del Prado, ha soportado gran cantidad de eventos sismicos. En la siguiente tabla se presentan aquellos que ocurrieron desde entonces con una magnitud superior a 7 grados en la escala Richter, así como algunas de sus características más importantes.

Suceso	Fecha	Hora	Latitud (N)	Longitud (O)	Magnitud (Ms)
1	14 DIC 1950	14:15:49.6	17.22	98.12	7.3
2	28 JUL 1957	08:40:10.2	17.11	99.10	7.7
3	11 MAY 1962	14:11:57.1	17.25	99.58	7.2
4	23 AGO 1965	19:46:02.9	16.30	95.80	7.8
5	02 AGO 1968	14:06:43.9	16.60	97.70	7.4
6	30 JUN 1973	21:01:18.1	18.39	103.21	7.5
7	29 NOV 1978	10:52:47.3	16.00	96.69	7.8
8	14 MAR 1979	11:07:11.2	17.46	101.46	7.6
9	25 OCT 1981	03:22:13.0	17.75	102.25	7.3
10	19 SEP 1985	13:15:50.0	18.11	102.39	8.1
11	20 SEP 1985	01:37:09.4	17.26	101.38	7.5

I.4 Comportamiento de las estructuras de acero durante el macrosismo de Septiembre de 1985.

Las estructuras de acero poseen características muy favorables de capacidad de disipación de energía, que las hacen ser idóneas para resistir los efectos sismicos. Una de las propiedades más importantes del acero para las construcciones sismorresistentes es su ductilidad. Quedó demostrado por el buen desempeño que éstas estructuras han tenido en general ante el efecto de sismos importantes, por lo que el Reglamento de Construcciones para el Distrito Federal permite factores de reducción por ductilidad considerables para éstas estructuras dependiendo principalmente del tipo de estructuración empleada.

Sin embargo hay que poner atención en que la ductilidad intrínseca de este material no se anule por la ocurrencia de algún modo de falla frágil como puede ser, entre los más comunes: falla frágil de soldadura, concentraciones de esfuerzos, falla por pandeo local o global de un elemento (inestabilidad) y fallas locales en conexiones.

Con el objeto de conocer en forma más realista el comportamiento sismico de las estructuras de acero durante los sismos de Septiembre de 1985, el M. C. Enrique Martínez Romero junto con un grupo de estudiantes de la Facultad de Ingeniería de la UNAM, nos dedicamos a realizar un levantamiento de los edificios construidos con estructura metálica.

Dicho levantamiento se realizó encuestando 102 edificios, construidos en la zona de la ciudad de México donde se concentró el daño.

Las estadísticas más notables del daño recibido por los edificios metálicos se resumen en las figuras I.5, I.6 y I.7.

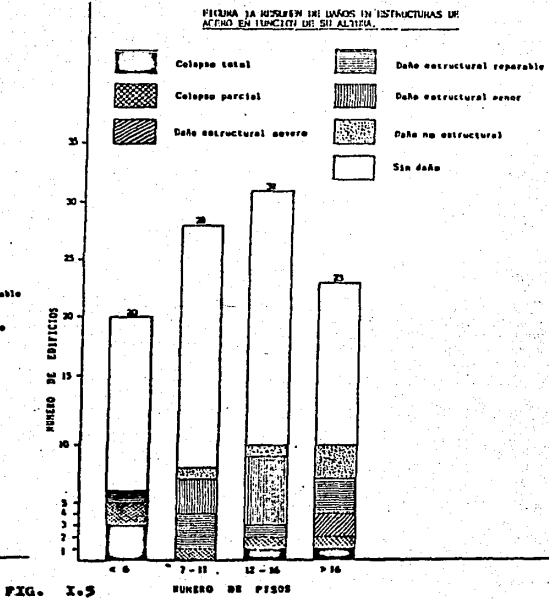
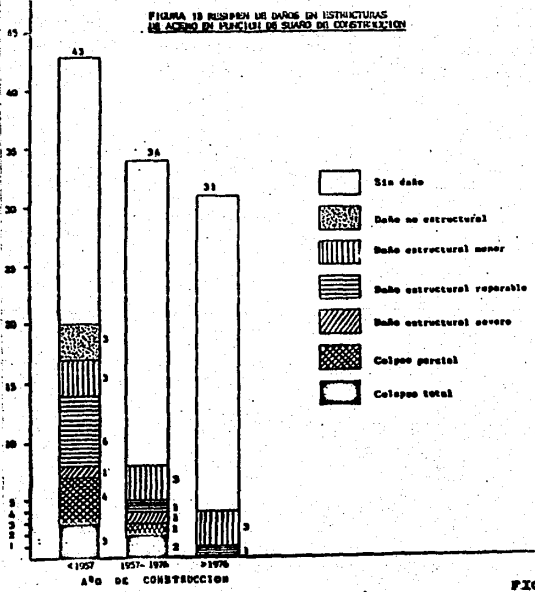


FIG. I-5

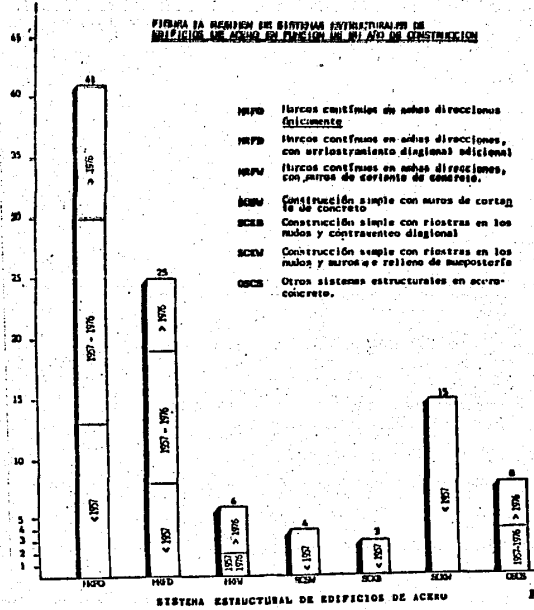


FIG. 1.6 SISTEMA ESTRUCTURAL DE EDIFICIOS DE ACERO

FIGURA 1B RESUMEN DE SISTEMAS ESTRUCTURALES DE ACERO EN FUNCION DEL TIPO DE CASO

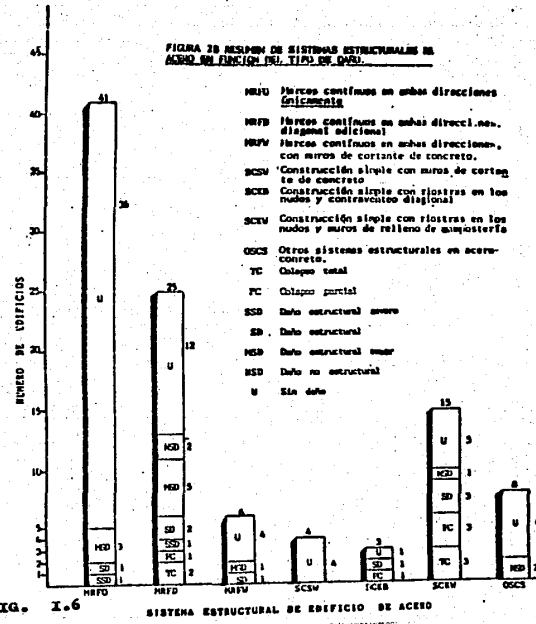


FIG. 1.6 SISTEMA ESTRUCTURAL DE EDIFICIOS DE ACERO

FIGURA 3A RESUMEN DE TIPOS DE CONSTRUCCIÓN DE EDIFICIOS DE ACERO EN FUNCIÓN DE SU AÑO DE CONSTRUCCIÓN.

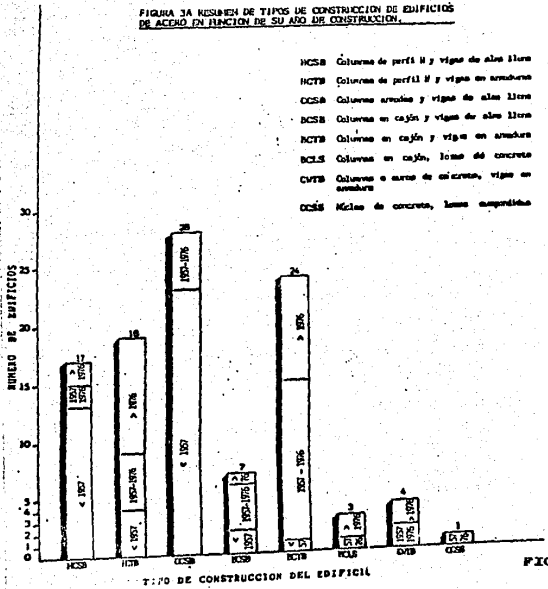
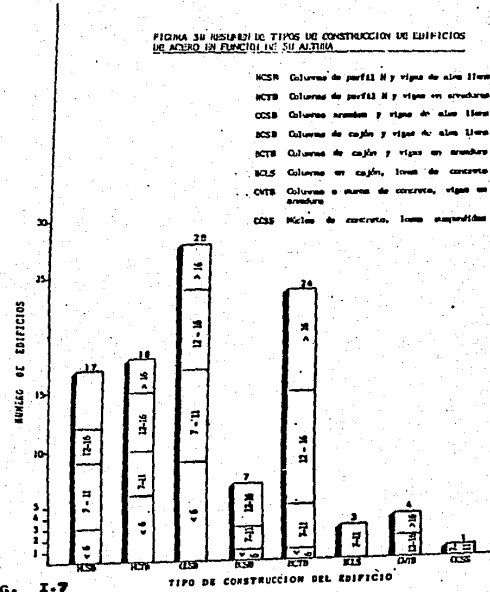


FIGURA 3.1 RESUMEN DE TIPOS DE CONSTRUCCIÓN DE EDIFICIOS DE ACERO EN FUNCION DE SU ALTURA



II. LEVANTAMIENTO E INSPECCION DE DAÑOS DE LA ESTRUCTURA.

El Hotel del Prado se encuentra situado dentro del primer cuadro de la ciudad de México en avenida Juárez No. 70 frente a la Alameda Central, al este colinda con la calle de Revillagigedo, al oeste con la calle M. Azueta y al sur con el edificio de estacionamiento. Esta zona fué una de las más dañadas por el temblor de Septiembre de 1985, ya que se encuentra comprendida en la zona de lago, en la que el estrato de arcilla alcanza 45 metros de espesor.

Esta construcción consta de un sótano, once niveles y una azotea de dos plantas cuyas áreas son las siguientes:

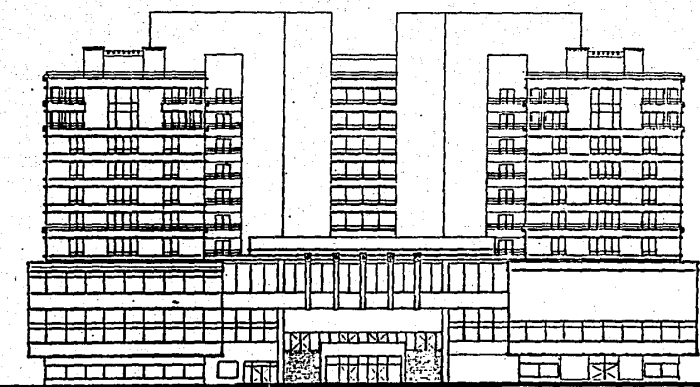
Piso	Sup. Cubierta (m ²)	Sup. Descubierta (m ²)	Sup. Total (m ²)
00	1 726.85		1 726.85
01	5 873.50		5 873.50
02	5 864.12	134.86	5 998.98
03	2 749.55		2 749.55
04	4 345.50	376.82	4 713.32
05	3 994.68	1 053.82	5 048.50
06	3 878.40	493.88	4 372.28
07	3 744.00		3 744.00
08	3 744.00		3 744.00
09	3 744.00		3 744.00
10	3 744.00		3 744.00
11	3 744.00		3 744.00
AZOTEAS	1 059.12	2 044.63	3 103.75
TOTAL	48 211.72	4 095.01	52 306.73

Debido a la antiguedad de la construcción no fué posible conseguir los planos estructurales y arquitectónicos originales por lo que fué necesario realizar un levantamiento posterior al sismo para su elaboración, dichos planos fueron elaborados por la empresa FERMA y proporcionados por cortesia de dicha empresa y del Ing. Francisco Peña residente de la obra por parte del propietario. Estos se muestran en las figuras siguientes. Se presentó también la dificultad de que, por tratarse de una estructura de acero recubierto de concreto como aislante térmico para protegerla en caso de incendio, no se podían observar directamente los elementos estructurales por lo que se recurrió a la demolición del concreto, plafones y acabados en 970 zonas (955 en superestructura y 15 calas en cimentación) de acuerdo con un criterio de elegir las más representativas en cuanto a tipo, probable daño recibido e importancia de las conexiones.

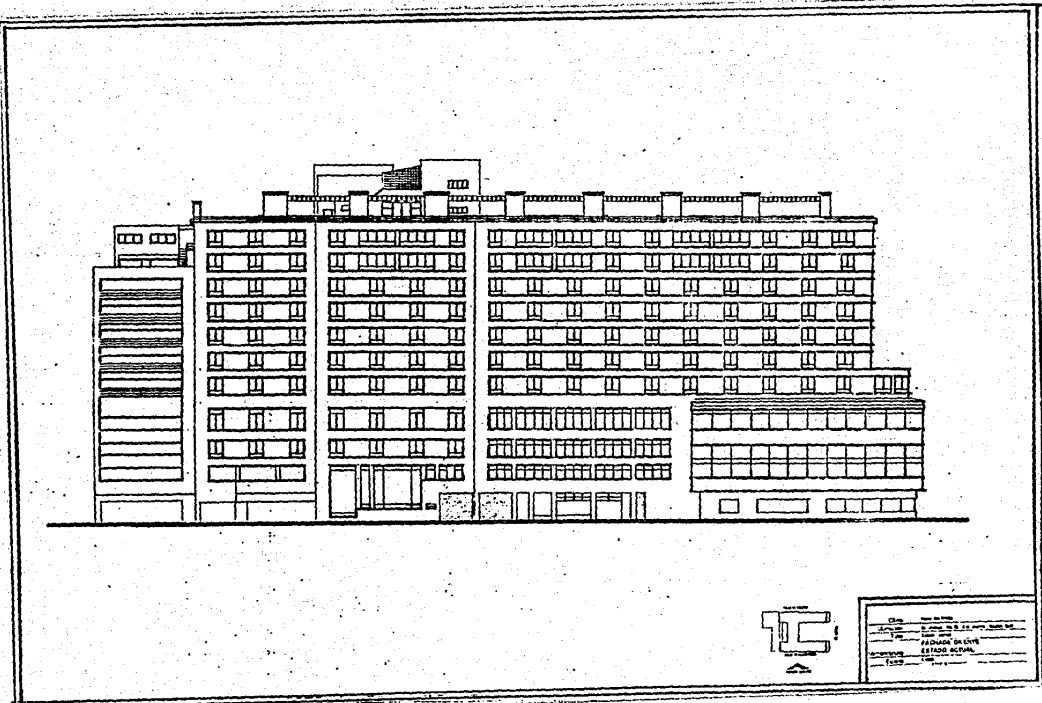
Este número de calas representa el 44% de los 2153 nudos de la superestructura, lo cuál se considera un excelente porcentaje de muestreo tanto para la elaboración de los planos estructurales, como para la evaluación del daño.

Del muestreo realizado se encontró que existen fundamentalmente cuatro diferentes tipos de secciones en columnas y siete tipos de tráves principales cuyas propiedades se

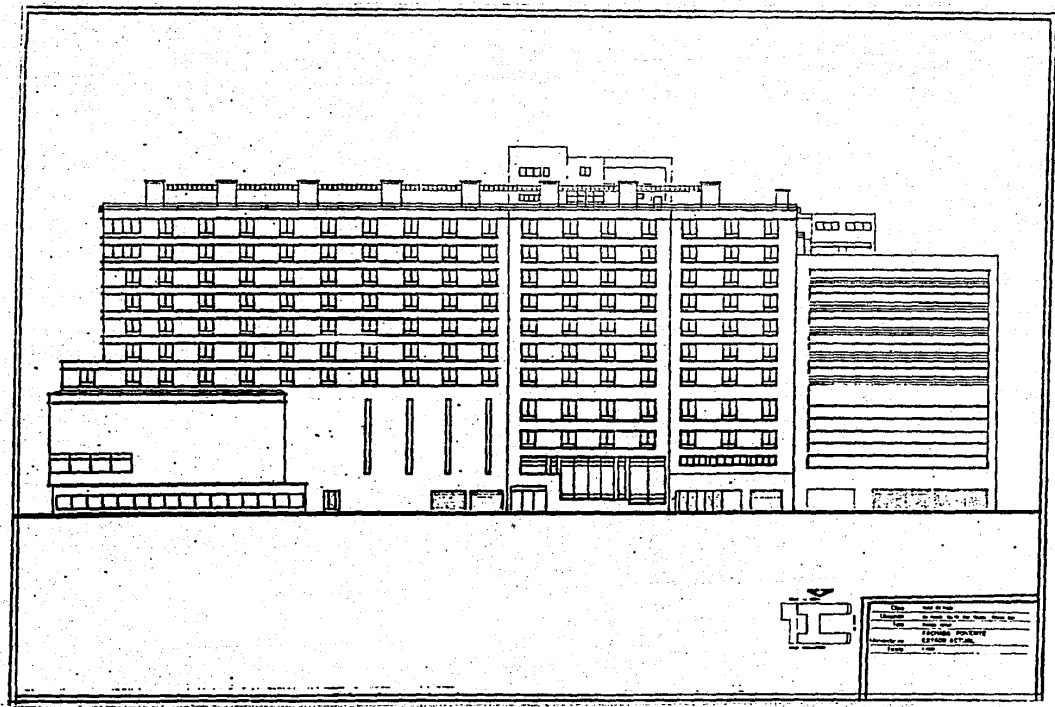
presentan en los próximos capítulos. Las columnas son secciones armadas, compuestas por dos canales separadas con sus espaldas hacia dentro y unidas por placas de enlace intermitentes ó por cubreplacas corridas mientras que las trabes son principalmente perfiles laminados tipo IPS aunque existen también trabes armadas a base de almas de placa y patines de ángulos solos o con cubreplacas, todas las secciones armadas unen a sus componentes por medio de remaches hincados en caliente.

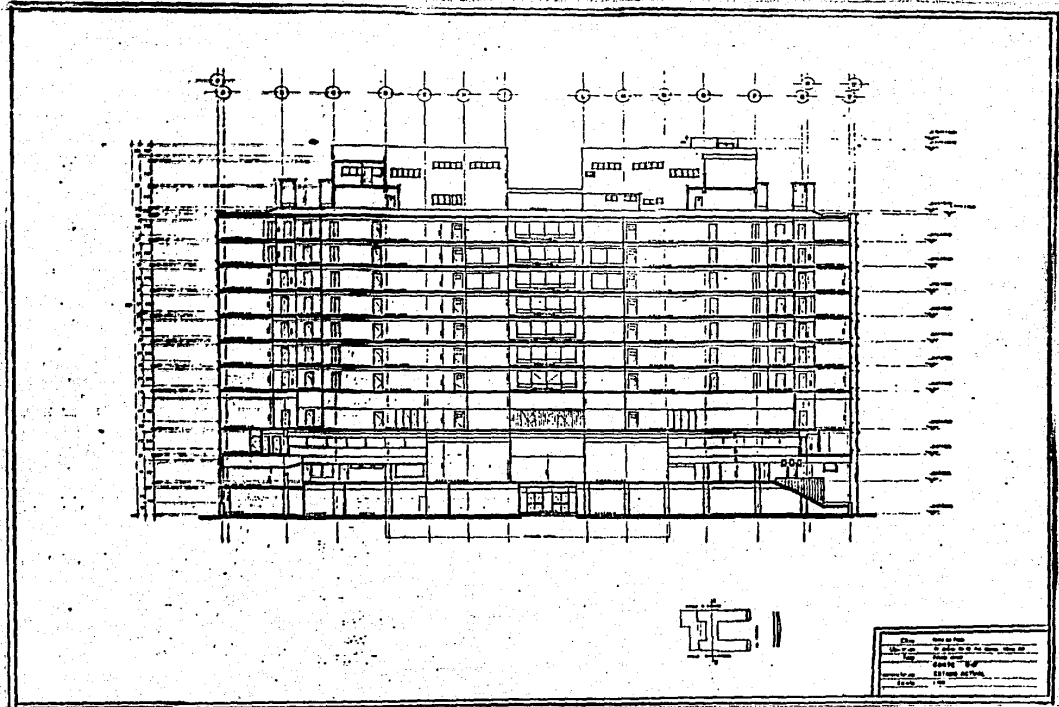


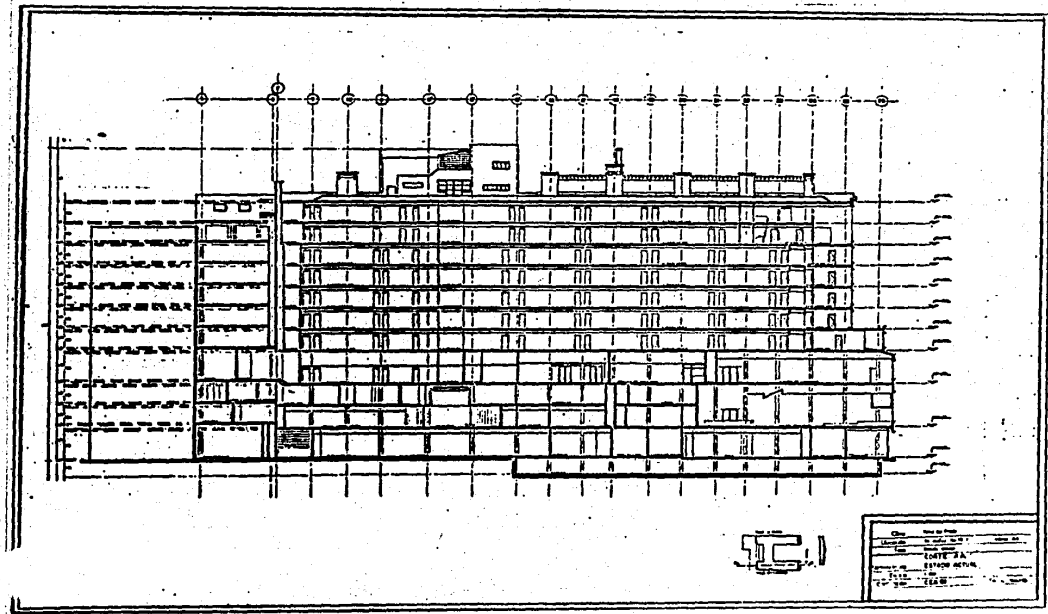
Clase	Clase de Precio
Liberación	D. 0.00 0.00 0.00 0.00
	0.00 0.00 0.00 0.00
	0.00 0.00 0.00 0.00
	FACTURADO PRINCIPAL
Entrega	ESTADO ACTUAL
F. 0.00	

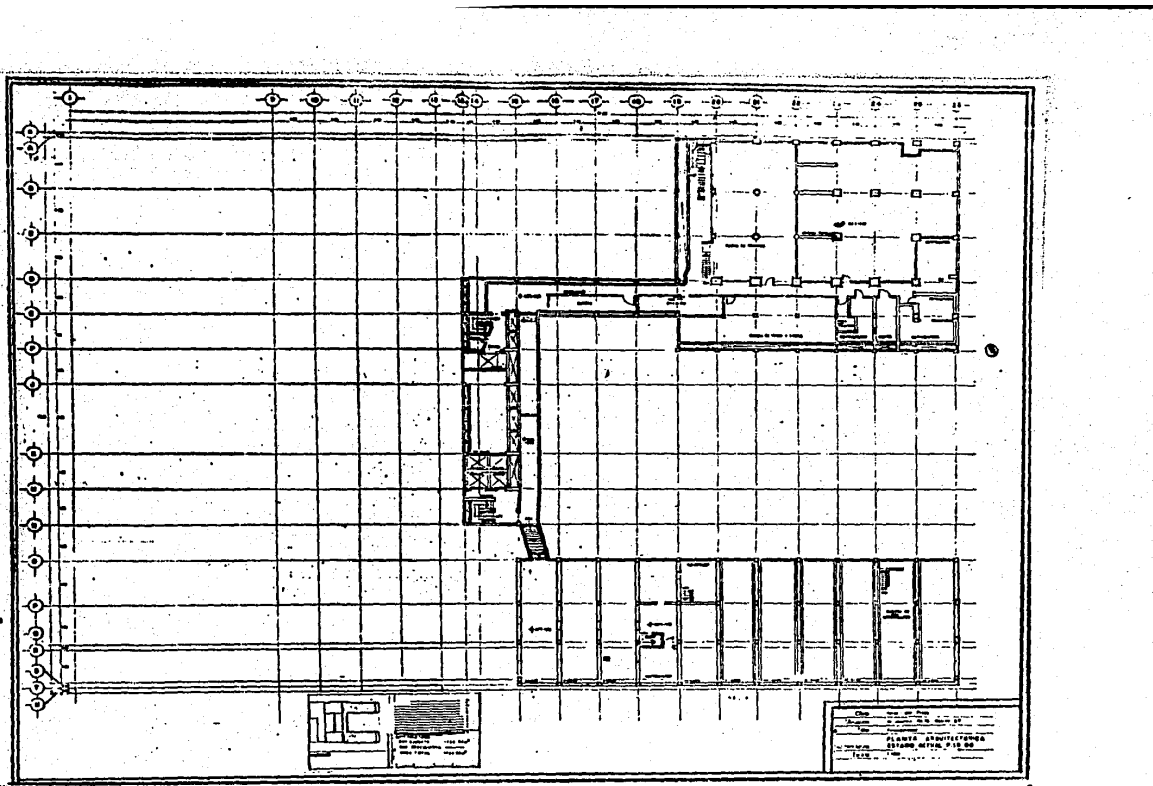


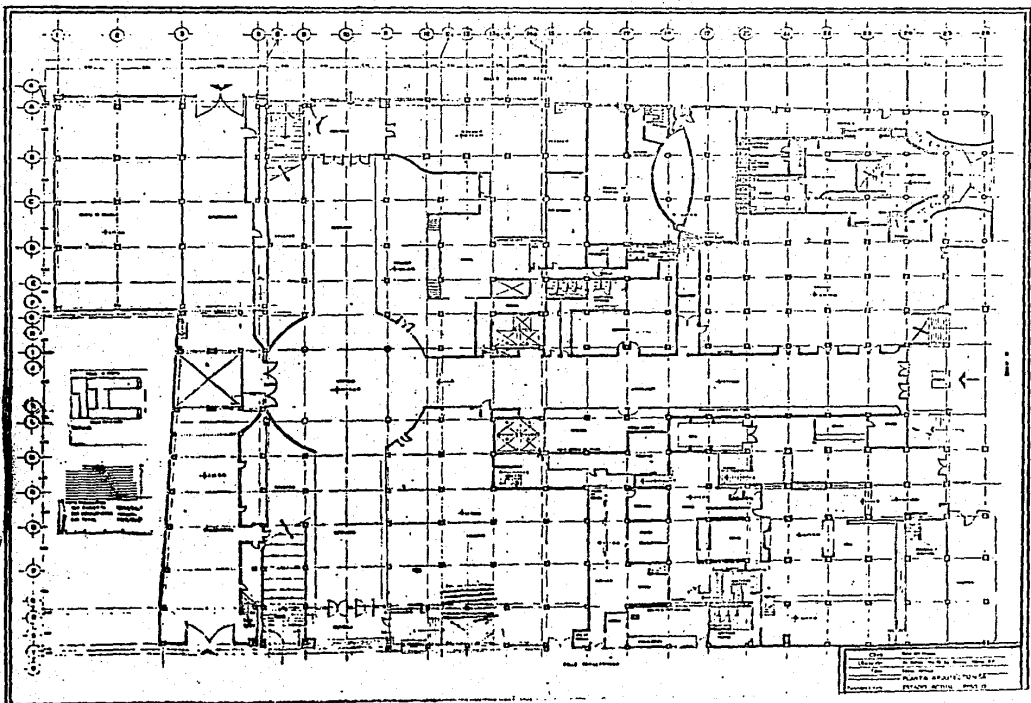
Clave:	Nombre de la obra:
TIPO:	Dpto. en Venta o Renta
TIPO DE USO:	RESIDENCIAL
ESTADO ACTUAL:	EN CONSTRUCCIÓN
TAREA:	REQUERIMIENTOS

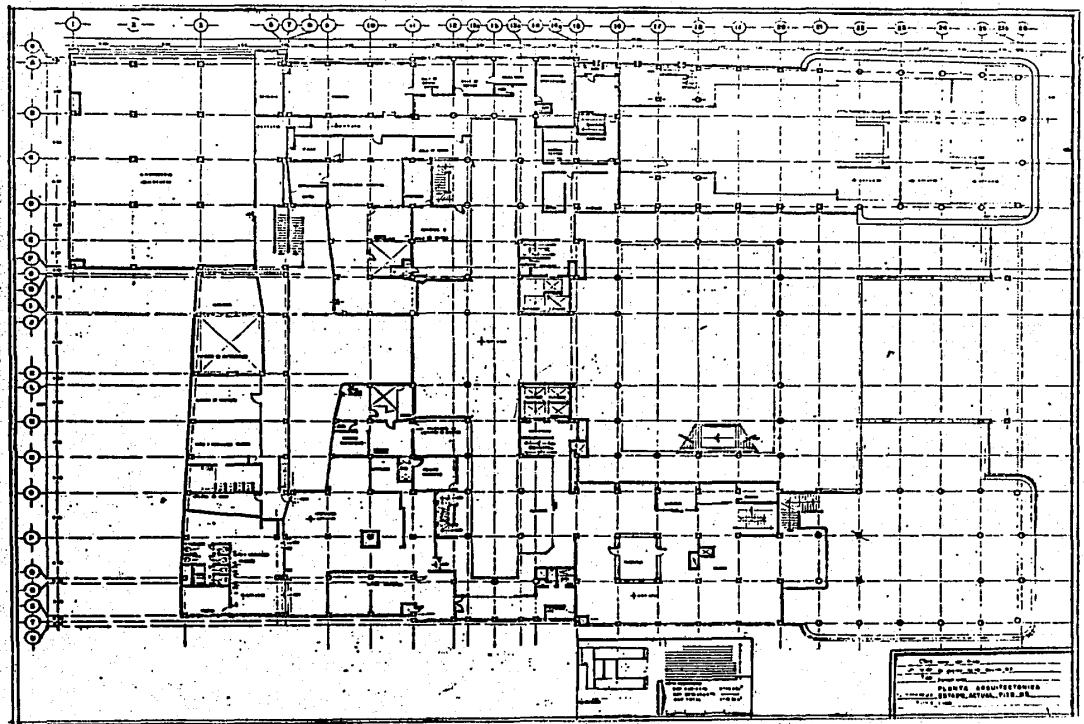


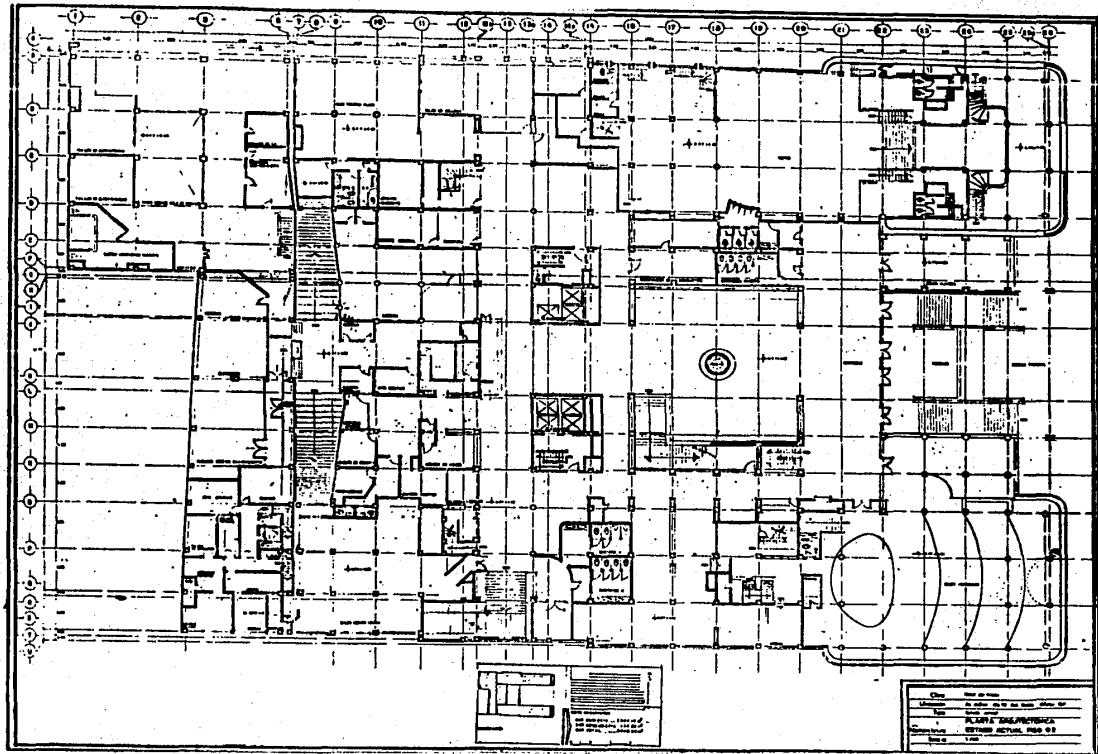




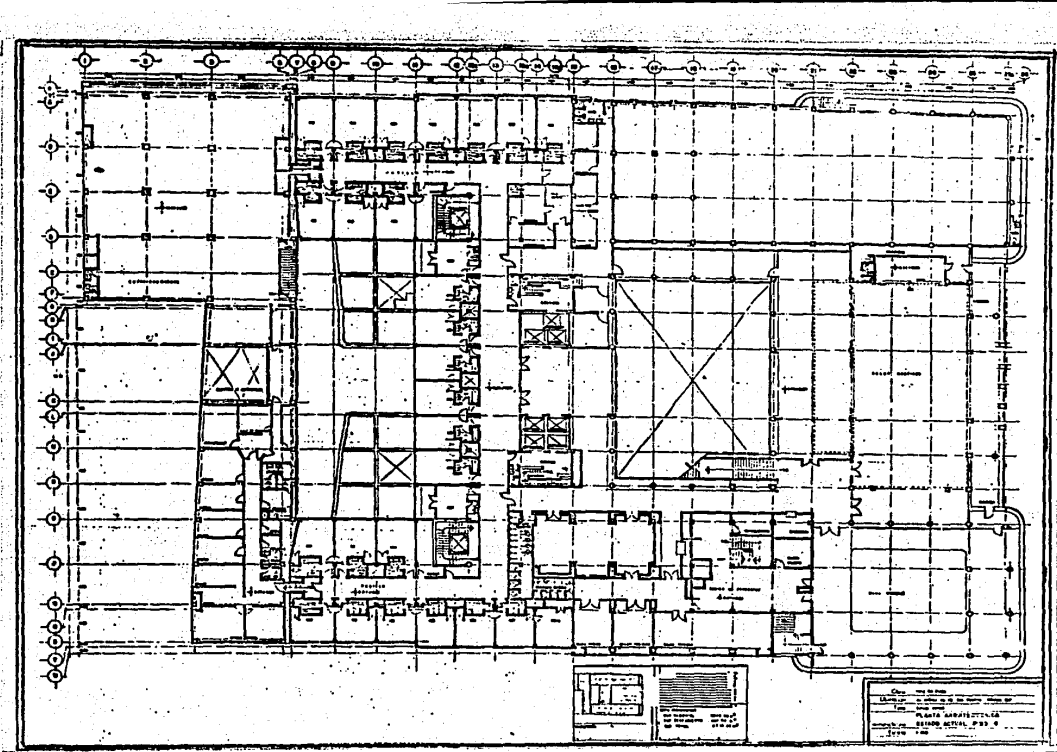




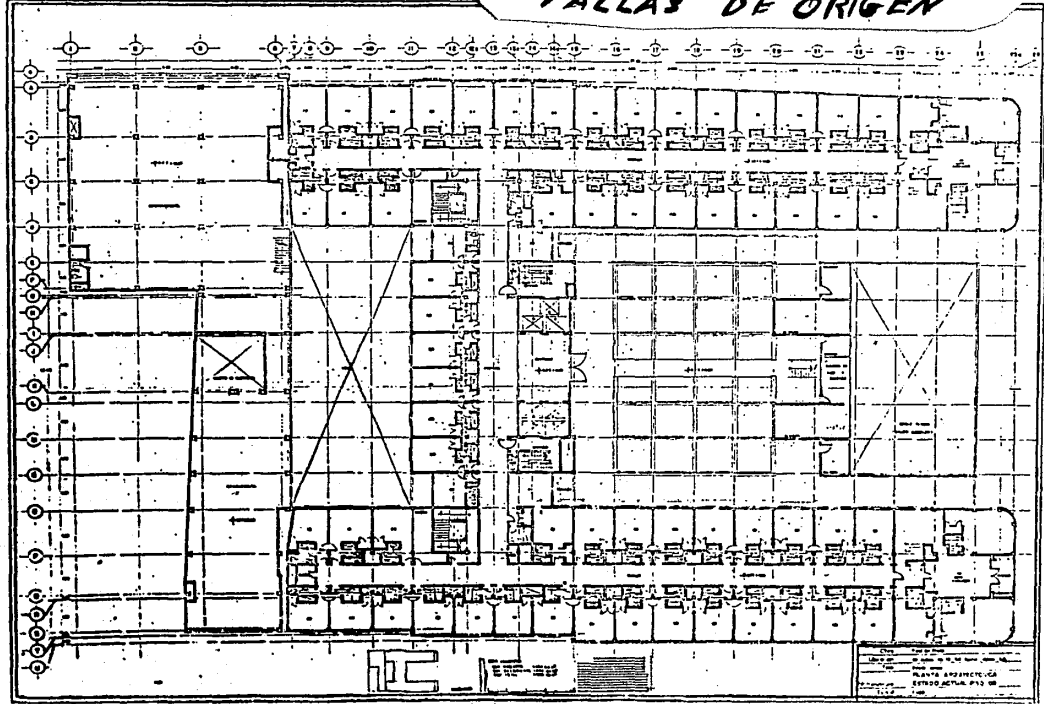


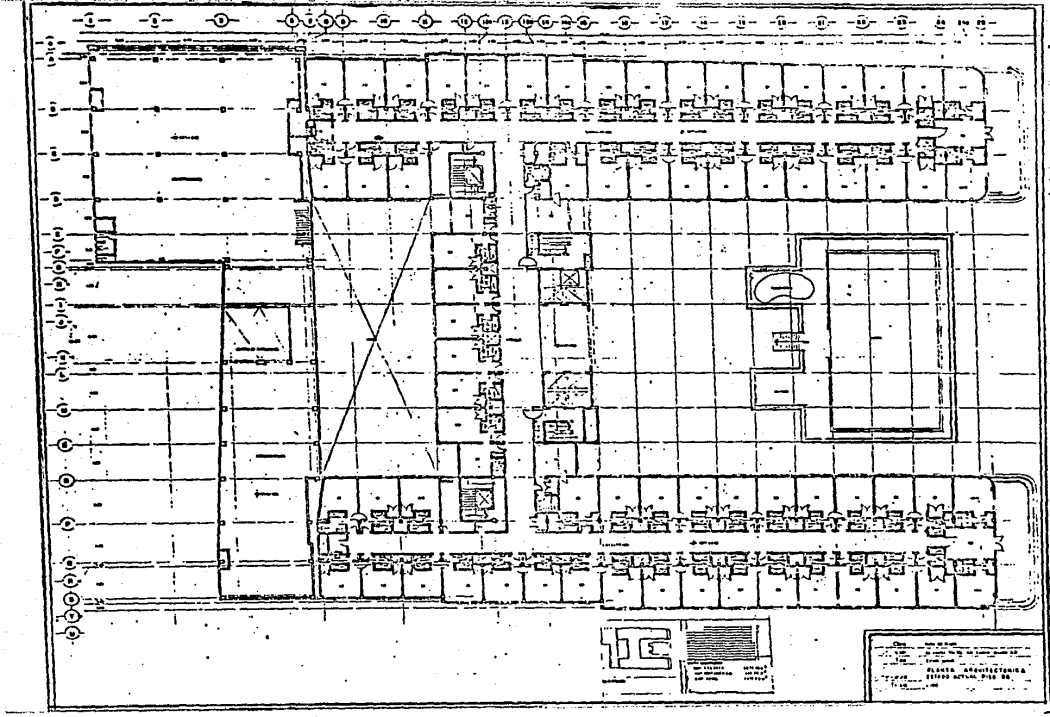


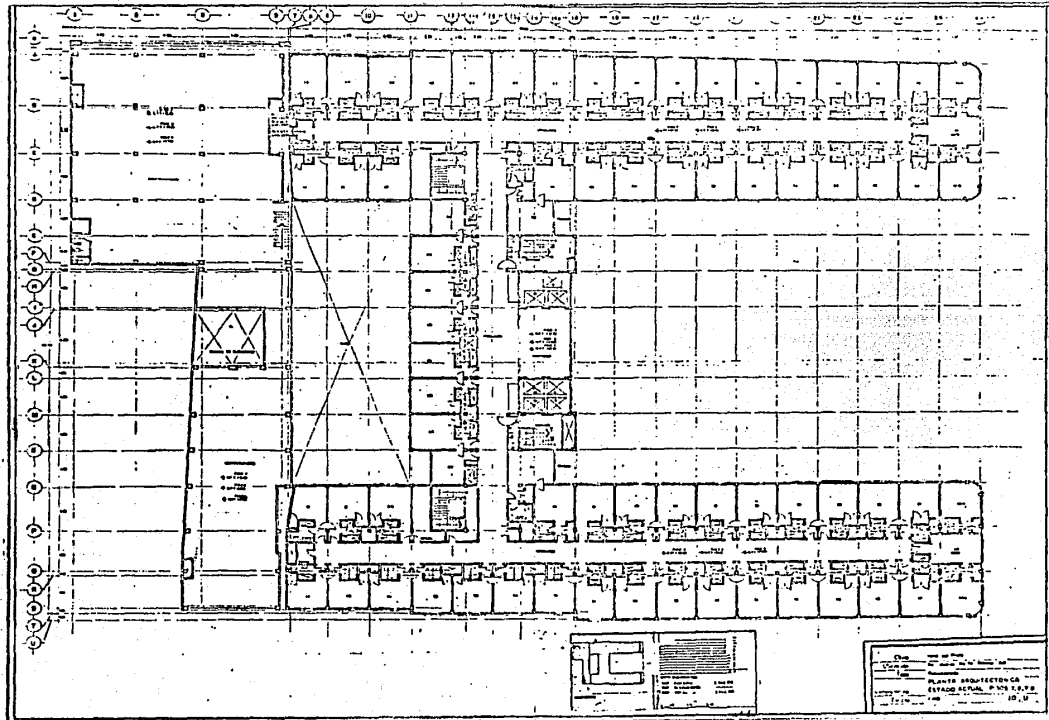
Clave:	Nombre de la planta
	Llamado: Unidad de administración y servicios
1	PLANTA BÁSICA
	Dimensiones: 1000x1000 mm
	ESTILO ACTUAL: PESO 03

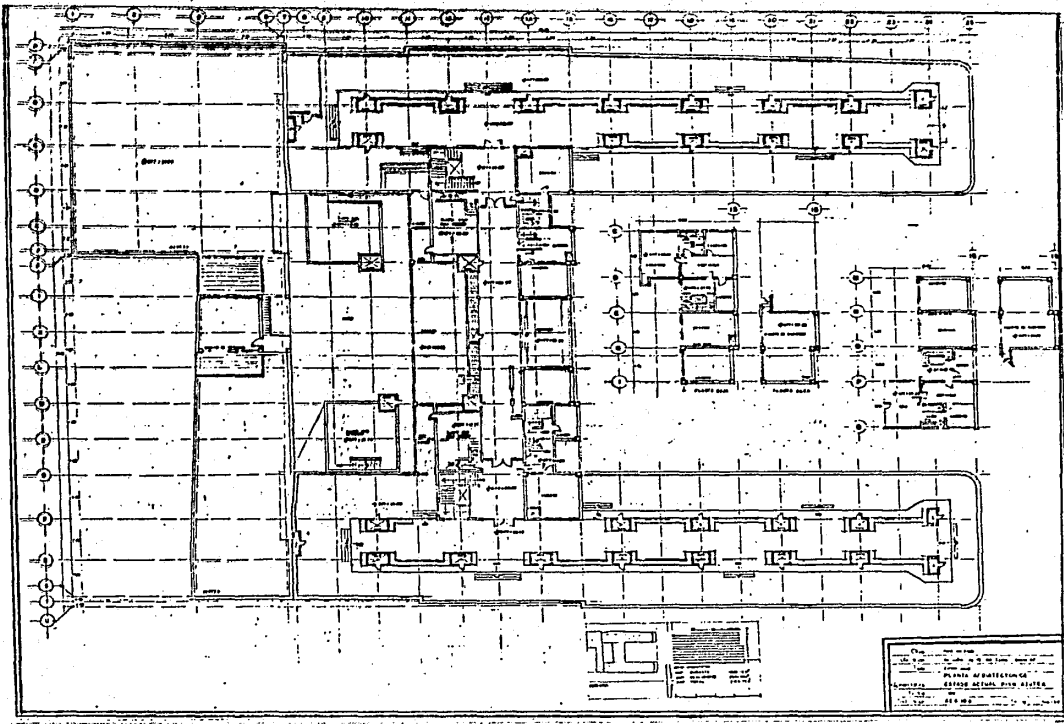


FALLAS DE ORÍGEN









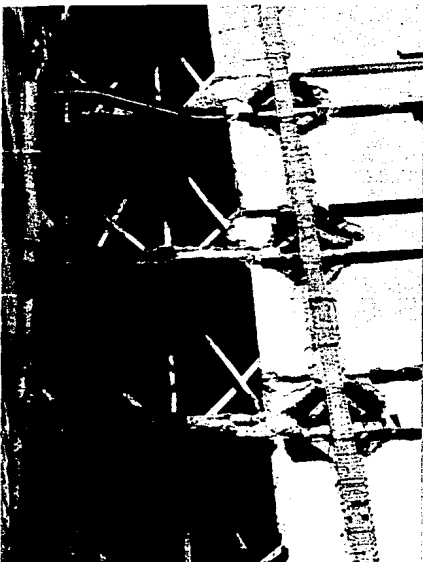
Con respecto a la cimentación las calas detectaron que es mixta, existiendo en ella: pilas, pilotes, losa de cimentación y contratrabes de liga, en arreglos poco ordenados y bastante heterogéneos. En zonas de riesgo sísmico y hundimientos probables es conveniente que la cimentación contenga suficientes tráves de liga cuya función es tratar de evitar hundimientos diferenciales y lograr que la subestructura se mueva como una sola unidad ante la acción de un desplazamiento horizontal del terreno. En las figuras II.1 y II.2 se pueden observar detalles tipo de la cimentación.

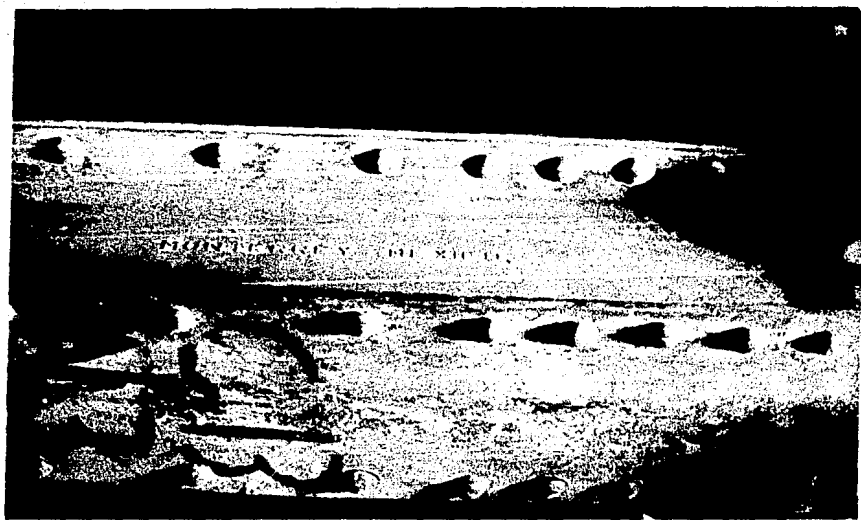
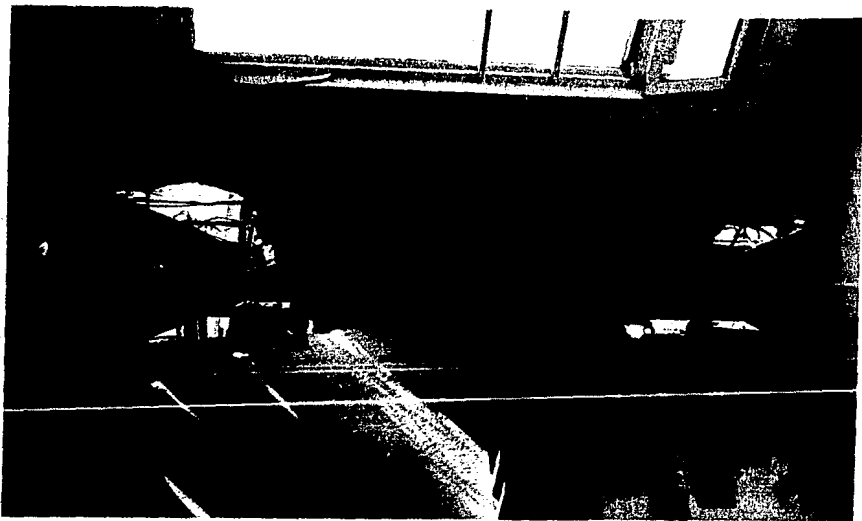
La estructura recibió daños locales en la colindancia con el estacionamiento entre los ejes A y D, zona que requirió ser apuntalada debido a la falla de columnas y vigas como resultado del choque entre los edificios.

Cabe mencionar que tanto la estructura como su cimentación han sufrido diversas modificaciones a través del tiempo lo cual alteró su funcionamiento original, siendo recimentado en algunas zonas a base de pilotes de control y con ciertas modificaciones arquitectónicas.

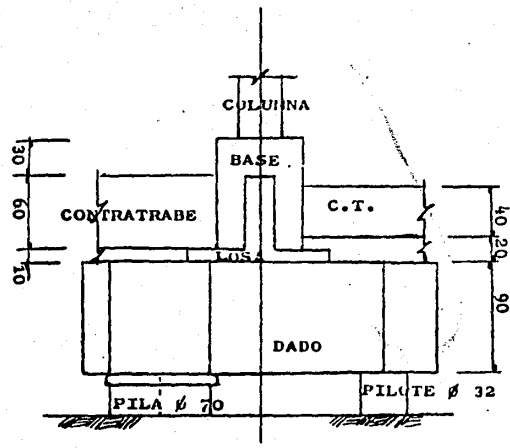
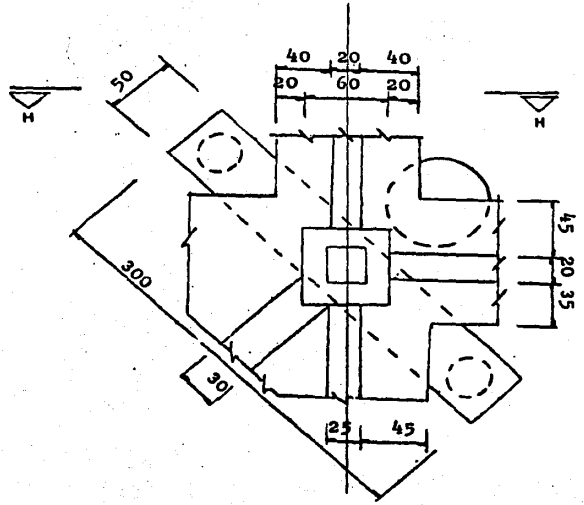
Ciertas columnas y tráves sufrieron desplazamientos al degollarse los remaches de las conexiones, pero sin llegar al colapso. Los detalles más representativos de conexiones son mostrados en las figuras II.3, II.4 y II.5.

Los revestimientos y acabados de la estructura fueron dañados alrededor de un 30%.



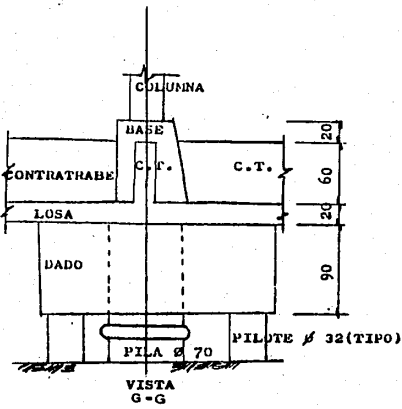
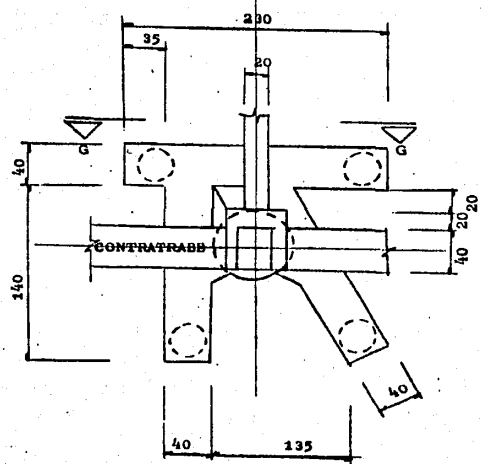






CIMENTACION.

FIG. II.1



CIMENTACION.

FIG. II.2

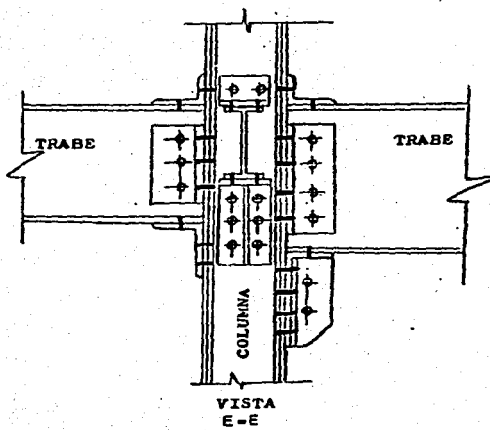
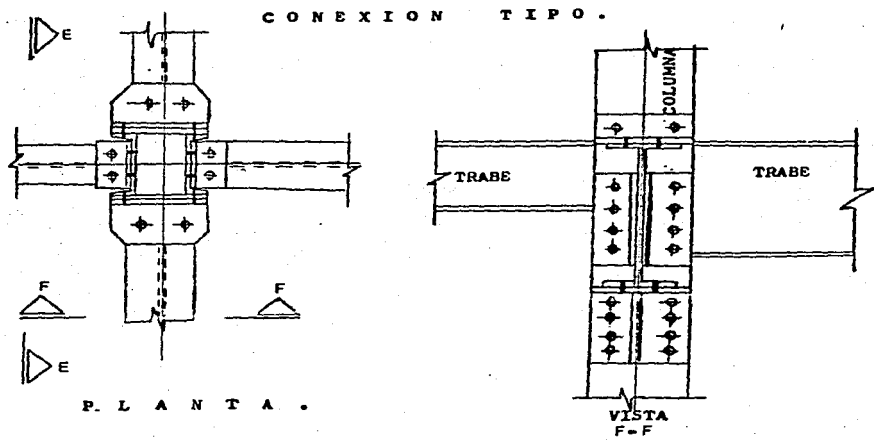


FIG. II.3

C O N E X I O N T I P O .

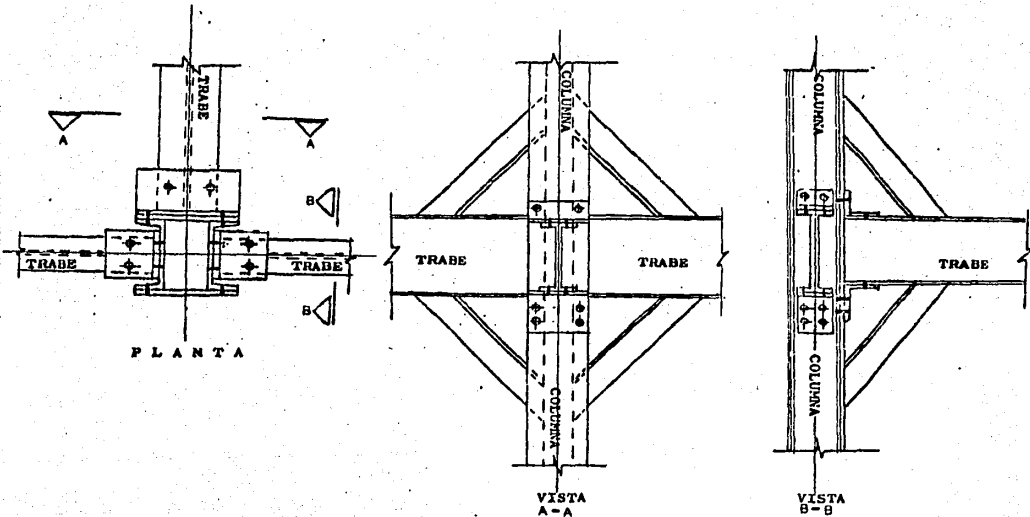


FIG. II.4

C O N E X I O N T I P O .

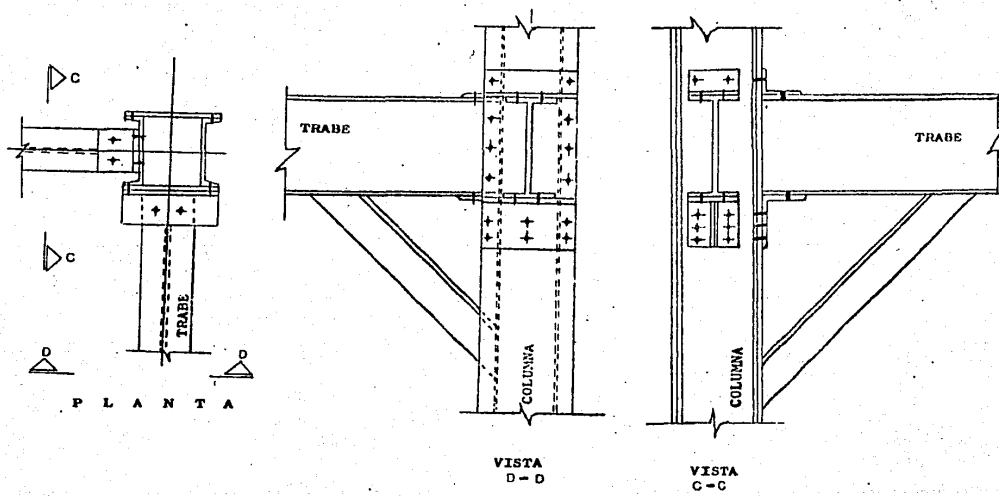


FIG. IX-5

III. CONCEPTOS FUNDAMENTALES DE DINAMICA ESTRUCTURAL.

III.1 Principios de Dinámica Estructural.

a) Sistemas de un grado de libertad (Sistema Simple).

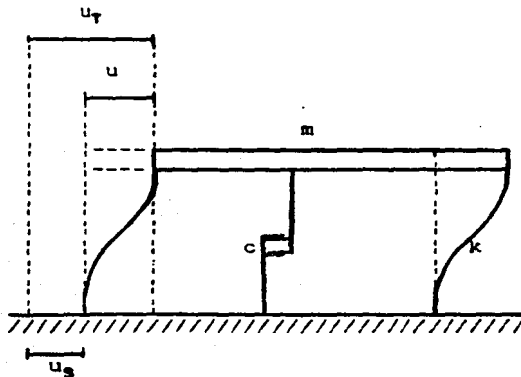
Grado de libertad, es la posibilidad que tiene un nudo de moverse en forma independiente, en cierta dirección. En el caso de los marcos estructurales, los grados de libertad se definen como los movimientos independientes (giros o desplazamientos) de cada uno de sus nudos.

En Dinámica Estructural, los grados de libertad que interesan son aquellos en los que se consideran fuerzas de inercia; es decir fuerzas iguales a la masa de los entrepisos por las aceleraciones que se producen en ellos y los momentos iguales al momento de inercia de la masa por la aceleración angular, por lo que al hablar de un sistema de n -grados de libertad, se esta hablando de un sistema de n -masas con sus respectivos desplazamientos laterales y giros.

La respuesta sismica dinámica de estructuras complejas, de comportamiento elástico o inelástico, puede predecirse a partir de las respuestas de sistemas simples, o de un grado de libertad, al mismo temblor; por esta razón se pretende conocer la respuesta máxima de una estructura simple. Una estructura responde a una excitación sismica, descrita por una historia de aceleraciones que se presentan en el terreno sobre el que esta desplantada mediante una vibración a través de la cual disipa la energía que es generada por dicho movimiento.

La respuesta depende también de las propiedades intrínsecas de la estructura, los periodos de sus modos naturales de vibración y de los coeficientes de amortiguamiento.

El sistema simple está compuesto por una masa concentrada, un elemento elástico (resorte) y un amortiguador.



m = Masa concentrada.

k = Rígidez lineal.

c = Constante de amortiguamiento.

u = Desplazamiento relativo.

u_T = Desplazamiento total.

u_s = Desplazamiento del suelo.

De acuerdo al principio de D'Alambert, considerando una fuerza de inercia F_I , la ecuación de equilibrio dinámico es:

$$\frac{F_I}{I} + \frac{F_A}{A} + \frac{F_R}{R} = 0$$

donde:

$F_I = m \ddot{u}_T$ es la fuerza de inercia proporcional a la aceleración de la masa.

$F_A = c \dot{u}$ es la fuerza de amortiguamiento proporcional a la velocidad.

$F_R = k u$ es la fuerza cortante que se genera en las columnas por su rígidez lateral.

sustituyendo tenemos que:

$$m \ddot{u}_T + c \dot{u} + k u = 0$$

ya que: $\ddot{u}_T = \ddot{u}_0 + \ddot{u}$

\ddot{u}_T = aceleración total.

\ddot{u}_0 = aceleración del terreno.

\ddot{u} = aceleración de la masa relativa al terreno.

sustituyendo:

$$m \ddot{u} + c \dot{u} + k u = -m \ddot{u}_0$$

$$\text{dividiendo entre } m: \quad \ddot{u} + (c/m) \dot{u} + (k/m) u = -\ddot{u}_0$$

la solución de esta ecuación diferencial depende de las condiciones iniciales, el caso más interesante en Ingeniería Sísmica corresponde a las vibraciones libres, es decir cuando el movimiento del suelo es nulo y no existe fuerza externa aplicada en el sistema (lo que corresponde al caso $\ddot{u}_0 = 0$).

$$\ddot{u} + (c/m) \dot{u} + (k/m) u = 0$$

Aplicando los conceptos de:

- 1) Frecuencia circular del sistema no amortiguado o sea aquella con la que oscila éste cuando se le impone un desplazamiento y se le suelta.

$$\frac{k}{m} = \omega^2 \quad \text{o}$$

$$\omega = \sqrt{\frac{k}{m}}$$

a partir de este valor se definen la frecuencia f y el periodo T de la estructura.

$$f = \frac{\omega}{2\pi} \quad T = \frac{1}{f} = \frac{2\pi}{\omega}$$

- 2) Amortiguamiento crítico, definido como el amortiguamiento para el cuál el sistema, después de desplazado, volvería a su posición de reposo sin oscilar.

$$C_{\text{cr.}} = 2 \sqrt{k m}$$

la constante de amortiguamiento puede expresarse como una fracción del amortiguamiento crítico.

$$\xi = \frac{c}{C_{\text{cr.}}} = \frac{c}{2 \sqrt{k m}}$$

La ecuación diferencial se transforma en:

$$\ddot{u} + 2 w \xi \dot{u} + w^2 u = -\ddot{u}_0$$

cuando la base del sistema esta en movimiento, es necesario resolver la ecuación anterior, considerando no nulo el segundo término ($-\ddot{u}_0 \neq 0$).

La solución de la ecuación diferencial, cuando la estructura parte del reposo se obtiene mediante una integral de superposición o de Duhamel, la cuál proporciona el valor de u en un instante t .

$$u(t) = - \frac{1}{w'} \int_{t_0}^t \ddot{u}_0(\tau) e^{-\xi w(t-\tau)} \sin w'(t-\tau) d\tau$$

La velocidad y la aceleración de la masa se pueden calcular derivando sucesivamente la expresión anterior con respecto al tiempo.

$$\dot{u}(t) = - \int_{t_0}^t \ddot{u}_0(\tau) e^{-\xi w(t-\tau)} [w' \cos[w'(t-\tau)] - w'' \sin[w'(t-\tau)]] d\tau - \xi w u(t)$$

$$\ddot{u}(t) = -w^2 u(t) - 2\xi w \dot{u}(t)$$

donde:

$$w' = w \sqrt{1 - \xi^2}$$
 frecuencia natural amortiguada
del sistema.

Para fines de diseño estructural, interesa escencialmente la máxima solicitud a la que se verá sujeta la estructura por efecto del sismo; por tanto no es necesario conocer la historia completa de la respuesta, sino sólo su valor máximo.

Se puede observar que la respuesta depende exclusivamente

de dos parámetros: la frecuencia circular (o periodo) y la fracción del amortiguamiento crítico ξ . Si para un temblor conocido, o sea para valores conocidos de las aceleraciones, obtenemos la respuesta de sistemas de un grado de libertad con un amortiguamiento dado y hacemos variar el periodo de estos sistemas desde cero hasta un valor muy alto comparado con los periodos naturales de las estructuras comunes, y para cada sistema determinamos la máxima respuesta, obtendremos gráficas que constituyen los llamados espectros de respuesta.

En las abscisas se representa el periodo del sistema y en las ordenadas la respuesta máxima, sea esta aceleración, velocidad o desplazamientos máximos de la masa.

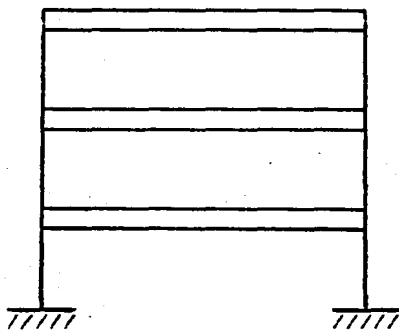
Se observa que las estructuras responden con mayor amplitud a las ondas que tienen periodo próximo a su periodo natural y que cuanto mayor sea la rigidez del sistema mayor será el esfuerzo y menor el desplazamiento para un movimiento dado.

Una estructura no se diseña para resistir un solo sismo, se diseña para la envolvente de los espectros de respuesta correspondientes a diferentes sismos que pueden afectarla en su vida útil. Para construir las envolventes de espectros, existen reglas empíricas que dependen del grado de amortiguamiento del sistema, para estructuras de edificios urbanos y para estructuras industriales se considera un amortiguamiento de 5% del amortiguamiento crítico y en esta hipótesis se basan la mayoría de las normas de diseño para establecer

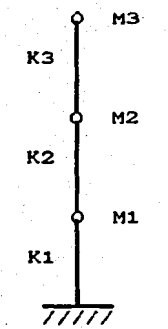
sus espectros de diseño.

b) Sistemas de varios grados de libertad.

En Ingeniería Sismica es común idealizar a las estructuras de varios niveles como un conjunto de masas en los niveles de los pisos, ligadas entre si por resortes de masa despreciable que representan la rigidez lateral de entrepiso, como se mencionó anteriormente, el número de grados de libertad de la estructura, es el número de desplazamientos lineales que pueden tener sus masas.



Estructura



Idealización

En las estructuras de varios grados de libertad se presentan fuerzas semejantes a las que actúan en estructuras simples, es decir que, en el equilibrio de cada entrepiso intervienen los mismos tipos de fuerzas que en el sistema de un grado de libertad, siendo ahora la ecuación de equilibrio una ecuación matricial:

$$F_I + F_R + F_A = 0$$

donde:

$$F_I = [M] \ddot{u}_T$$

siendo:

F_I el vector de fuerzas de inercia.

\ddot{u}_T el vector de aceleraciones totales.

$[M]$ la matriz diagonal de masas.

$$[M] = \begin{bmatrix} M_1 & . & . & . & 0 \\ . & M_2 & . & . & . \\ . & . & M_3 & . & . \\ . & . & . & . & . \\ 0 & . & . & . & M_n \end{bmatrix}$$

$$F_R = [K] u$$

siendo:

F_R el vector de fuerzas de cada entrepiso.

$[K]$ matriz de rigideces del sistema.

$$[K] = \begin{bmatrix} K_{1+K2} & -K_2 & 0 & 0 & \dots & 0 \\ -K_2 & K_{2+K3} & -K_3 & 0 & \dots & 0 \\ 0 & -K_3 & K_{3+K4} & -K_4 & \dots & 0 \\ 0 & 0 & -K_4 & K_{4+K5} & \dots & 0 \\ 0 & 0 & 0 & -K_5 & \dots & 0 \\ \vdots & \vdots & \vdots & \vdots & \dots & \vdots \\ 0 & 0 & 0 & 0 & \dots & K_n \end{bmatrix}$$

$k_{ij}=k_{ji}$ rigidez lineal del nivel "i" correspondiente al desplazamiento unitario del nivel "j".

u vector de desplazamiento.

$$F_A = [C] \dot{u}$$

siendo:

F_A vector de fuerzas de amortiguamiento.

$[C]$ matriz de amortiguamiento, la cual se vuelve una constante al considerar el amortiguamiento igual en todos los entrepisos, y que se toma en cuenta en los espectros de respuesta.

\dot{u} vector de velocidad.

La ecuación de equilibrio toma la forma:

$$[M]\ddot{u} + [C]\dot{u} + [K]u = -[M]\ddot{u}_0$$

Resolviendo la ecuación diferencial matricial para el caso de vibración libre con amortiguamiento nulo que permite determinar con buena aproximación los periodos de vibración y formas modales, se tiene que:

$$[M]\ddot{u} + [K]u = 0$$

Ante la acción de un impulso y con amortiguamiento nulo la estructura vibrará libremente adoptando una configuración de desplazamientos (forma modal) y con una frecuencia de vibración particular para cada modo, existiendo tantos modos como número de grados de libertad tenga el sistema. En vibración libre el movimiento es armónico simple:

$$u = \underline{a} \operatorname{sen} \omega t$$

\underline{a} = vector de constantes de amplitud.

teniendo:

$$\ddot{u} = -\omega^2 \underline{a} \operatorname{sen} \omega t$$

sustituyendo en la ecuación diferencial:

$$[K]\underline{a} - \omega^2 [M]\underline{a} = 0$$

para no caer en la solución trivial, $a \neq 0$ se requiere que:

$$| [K] - \omega^2 [M] | = 0$$

Lo cual representa un problema de valores característicos, desarrollando el determinante se llega a una ecuación algebraica de grado n , cuya incognita es ω .

La ecuación anterior se resuelve por medio de métodos numéricos, obteniendo los n valores de la frecuencia ω , que corresponden a cada modo natural de vibración del sistema.

El primer modo o modo fundamental, obtenido generalmente con el método de Newmark, se caracteriza por no mostrar puntos de inflexión y por tener el periodo más largo. En los siguientes modos la configuración presenta cada vez un nuevo punto de inflexión mientras que el periodo natural disminuye., dichos modos se obtienden frecuentemente aplicando el método de Holzer.

Una vez encontrados los distintos modos de vibrar que tiene la estructura (el reglamento exige conocer tres modos como mínimo o aquellos mayores o iguales a 0.4 seg), la respuesta total de la estructura será la combinación de las respuestas independientes de cada uno de los modos, multiplicadas por un cierto coeficiente de participación.

Con base en estudios probabilísticos, el Dr. Rosenblueth propone que la respuesta máxima de un sistema se determine como la raíz cuadrada de la suma de los cuadrados de las respuestas máximas del sistema en cada modo de vibración:

$$R = \left[\sum_{i=1}^n R_i^2 \right]^{(1/2)}$$

c) Sistemas Inelásticos

Para un diseño económico contra sismos fuertes, la mayoría de las estructuras deben comportarse inelásticamente, los criterios de diseño sísmico adoptados por el Reglamento aceptan el uso de factores de reducción por ductilidad, que permiten diseñar para fuerzas sísmicas menores a las corres-

pondientes a coeficientes de diseño elástico, aunque en realidad las estructuras si tienen un comportamiento inelástico.

Por ductilidad de una estructura se entiende la capacidad que tiene para sufrir deformaciones por encima del límite elástico sin llegar a la falla, mientras que el factor de ductilidad Q se define como la relación entre la deformación máxima que sufre la estructura, sin llegar a la falla, y la deformación correspondiente al límite de fluencia.

El aprovechamiento de la ductilidad de las estructuras constituye uno de los conceptos esenciales de la Ingeniería Sismica moderna, ya que tienen una mayor capacidad de absorción de energía pero hay que tener en cuenta que las deformaciones excesivas pueden producir el agrietamiento o la falla de elementos de relleno modificando las condiciones originales de rigidez de la estructura, por otro lado hay que considerar posibles deformaciones excesivas de las estructuras para evitar un impacto en el caso de edificios colindantes.

Las ecuaciones diferenciales que rigen el equilibrio dinámico de sistemas de uno o varios grados de libertad siguen siendo válidas cuando el comportamiento es no lineal, aunque su solución es más difícil de obtener, en general el espectro de respuesta para un sistema inelástico presenta las mismas características que de un sistema elástico, de lo anterior se concluye que las propiedades de un espectro de respuesta para un sistema inelástico, se pueden obtener a partir del correspondiente a un sistema elástico que tenga el

mismo periodo y grado de amortiguamiento, dividiendo el valor de las ordenadas espectrales entre el factor de reducción por ductilidad, excepto cuando se trata de sistemas con periodo muy corto en que el factor de reducción varía entre $1/Q$ y 1.

III.2 Análisis Sísmico Dinámico.

Dentro de los procedimientos para evaluar las solicitudes sísmicas en las estructuras los métodos aceptados por las normas se pueden dividir en dos grupos, métodos Estáticos y métodos Dinámicos. Existen también programas de cómputo tales como el SAP, ETABS, STRUDL, STRESS, etc., que realizan un análisis sísmico tridimensional ya sea Estático o Dinámico obteniendo resultados muy aproximados a la respuesta real de la estructura.

Para estructuras grandes o complejas, los métodos estáticos no son suficientemente aproximados, por lo que los reglamentos exigen el uso de Análisis Dinámicos por ser métodos más refinados.

Las tres técnicas principales que se usan para realizar un Análisis Dinámico son:

a) Análisis paso a paso.

Consiste en la integración directa de las ecuaciones del movimiento, para una excitación correspondiente a un acelerograma representativo del sismo de diseño, este procedimiento es el más completo pero presenta dificultades por su

laboriosidad, para tomar en cuenta el comportamiento inelástico y para definir el espectro de diseño.

b) Análisis Modal.

Este método es el más aplicado, con él se analiza en forma independiente la vibración de traslación en dos direcciones ortogonales, determinando los tres primeros modos de vibrar y todos aquellos que tengan un periodo mayor que 0.4 segundos. Para calcular la participación de cada modo natural en las fuerzas laterales que actúan sobre la estructura, se debe considerar la aceleración correspondiente al espectro de diseño reducido por ductilidad y para el periodo particular del modo en cuestión.

El Reglamento del D.F. estipula que cuando se aplique el Análisis Dinámico Modal se tengan en cuenta las siguientes hipótesis:

- 1.- La estructura se comporta elásticamente.
- 2.- La ordenada del espectro, a , expresada como fracción de la aceleración de la gravedad, está dada por las siguientes expresiones:

$$a = a_0 + (c - a_0) \left[\frac{T}{T_1} \right] \quad T < T_1$$

$$a = c \quad T_1 > T > T_2$$

$$a = c \left[\frac{T_2}{T} \right]^r \quad T > T_2$$

Para evaluar las fuerzas sismicas, estas ordenadas se dividen entre el factor Q' , el cuál se toma igual a Q si T es mayor que T_1 , e igual a $1+(Q-1)T/T_1$ en caso contrario.

c) Análisis por Espectro de Respuesta.

Representa un caso especial, simplificado, del análisis modal, en el cuál las magnitudes de respuestas máximas correspondientes a cada modo son obtenidas con referencia a un espectro de respuesta, una vez realizado lo anterior una regla arbitraria se emplea para superponer las respuestas de los distintos modos. El método de espectro de respuesta es veloz y de poco costo, pero esta limitado estrictamente al análisis lineal, debido al uso de la superposición.

III.3 Análisis Tridimensional

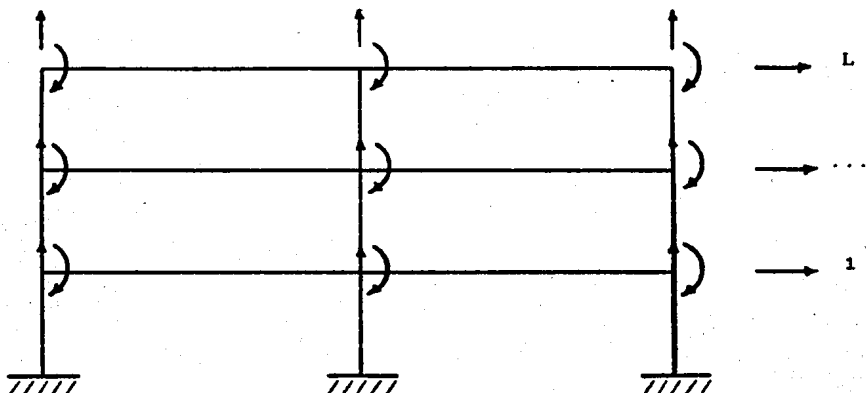
La estructura de un edificio puede analizarse tridimensionalmente, tomando en cuenta todos los grados de libertad estáticos y dinámicos representando las losas, vigas, muros, columnas, contraventos, etc. Sin embargo un análisis tridimensional esta reservado a estructuras muy importantes ya que es muy alto el número de grados de libertad que resultan para un edificio completo, y aún empleando grandes computadoras se requiere de un tiempo amplio de procesamiento, codificación y salida de datos, aunque se trate de un edificio con un número moderado de pisos.

Para hacer un análisis tridimensional el edificio se idealiza como un conjunto de marcos planos verticales unidos por

sistemas de piso, los que se consideran indeformables en su plano es decir, funcionan como diafragmas infinitamente rígidos en planta. De esta manera el problema global se reduce a uno de tres grados de libertad por nivel, dos desplazamientos laterales y un giro alrededor de un eje vertical.

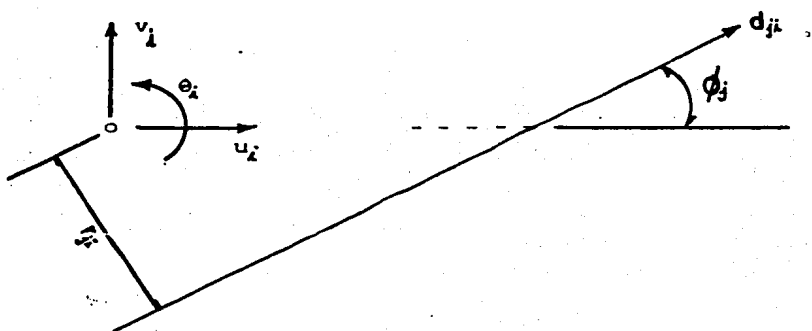
El análisis tridimensional se explica mediante el siguiente procedimiento:

1.- Se calcula la matriz de rigidez lateral K_j , de cada marco. Para cada nudo del marco se tiene un desplazamiento vertical y un giro del plano, un desplazamiento horizontal por cada nivel, quedando una matriz de orden L , donde L es el número de niveles.



Grados de libertad del marco.

2.- Se expresan las matrices K_j en términos de los dos desplazamientos, y el giro de un punto en cada piso de acuerdo con la figura siguiente:



donde: u_i y v_i son los desplazamientos en planta del piso rígido i .

ϕ_i es el giro del centro de masas del piso i .

d_{ji} es el desplazamiento lateral del marco j en el piso i .

r_{ij} es la distancia del centro de masas al marco j .

se tiene que:

$$d_{ji} = [\cos \phi_i \quad \sin \phi_i \quad r_{ij}] \begin{bmatrix} u_i \\ v_i \\ e_i \end{bmatrix}$$

simplificando:

$$d_{ji} = b_{ji} u_i$$

donde:

$$b_{ji} = \begin{bmatrix} \cos \phi_i \\ \sin \phi_i \\ r_{ij} \end{bmatrix} ; \quad u_i = \begin{bmatrix} u_i \\ v_i \\ e_i \end{bmatrix}$$

Considerando los L niveles del marco se tiene:

$$\underline{D}_j = \underline{B}_j \underline{U}$$

donde:

$$\underline{D}_j = \begin{bmatrix} d_{j1} \\ d_{j2} \\ \vdots \\ d_{jL} \end{bmatrix} ; \quad \underline{U} = \begin{bmatrix} u_1 \\ u_2 \\ \vdots \\ u_L \end{bmatrix}$$

$$\underline{B}_j = \begin{bmatrix} b_{j1}^T & b_{j2}^T & \dots & \dots & b_{jL}^T \end{bmatrix}$$

La matriz \underline{K}_j expresada en términos de los desplazamientos de los pisos es:

$$\underline{K}_j = \underline{B}_j^T \underline{K}_j \underline{B}_j$$

\underline{K}_j es una matriz de orden $3L$.

3.- La matriz de rigideces \underline{K} del edificio se obtiene sumando todas las matrices \underline{K}_j , puesto que estan referidas a los mismos grados de libertad.

4.- Los desplazamientos \underline{U} de los pisos se obtienen resolviendo el sistema de ecuaciones siguiente para un conjunto de fuerzas laterales \underline{F} dadas.

$$\underline{F} = \underline{K} \underline{U}$$

Las fuerzas \underline{F} son dos fuerzas propiamente dichas y un momento torsionante por cada piso, conocidos los desplaza-

mientos \underline{U} se pueden calcular los desplazamientos laterales D_j de cada marco y con ello determinar todos los desplazamientos verticales, giros y elementos mecánicos de dicho marco, usando el método de las rigideces.

Para la aplicación del procedimiento anterior es indispensable el uso de una computadora y alguno de los programas mencionados.

IV. ANALISIS DINAMICO TRIDIMENSIONAL

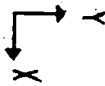
En éste capítulo se presentan los datos que sirvieron para alimentar el programa ETABS 84, versión 86.01 para microcomputadora, el cual fué facilitado por la empresa Enrique Martinez Romero S.A., quien autorizó a usarlo para los fines de esta tesis. El programa fué desarrollado por el Dr. Ashraf Habibullah de la compañía Computers and Structures, Inc. en Berkeley, California, que se utilizó para analizar la estructura, dichos datos se presentan por medio del archivo PRADO.EKO creado por el mismo programa.

A partir de la planta del edificio se generan líneas de columnas localizadas por medio de coordenadas cartesianas y se numeran los Bays entre dos líneas de columnas para definir las trabes del edificio, teniéndose un total de 249 líneas verticales y 523 bays. Con lo anterior se generaron 14 marcos en el sentido X y 19 marcos en el sentido ortogonal Y, para un total de 33 marcos.

Los marcos se encuentran ligados entre si por medio de los diafragmas horizontales considerados por el programa. Los centros de masa así como sus momentos de inercia fueron calculados automáticamente por el mismo programa, el cual sólo requiere como datos una división en segmentos rectangulares para formar cada piso.

Del levantamiento realizado se determinó que existen en el edificio siete diferentes tipos de trabes y cuatro tipos de columnas, cuyas propiedades se presentan en las tablas que

FILE : PRADO.PST
UNDEFORMED GEOMETRY
TOP LEVEL : A22
BOTTOM LEVEL : UNO



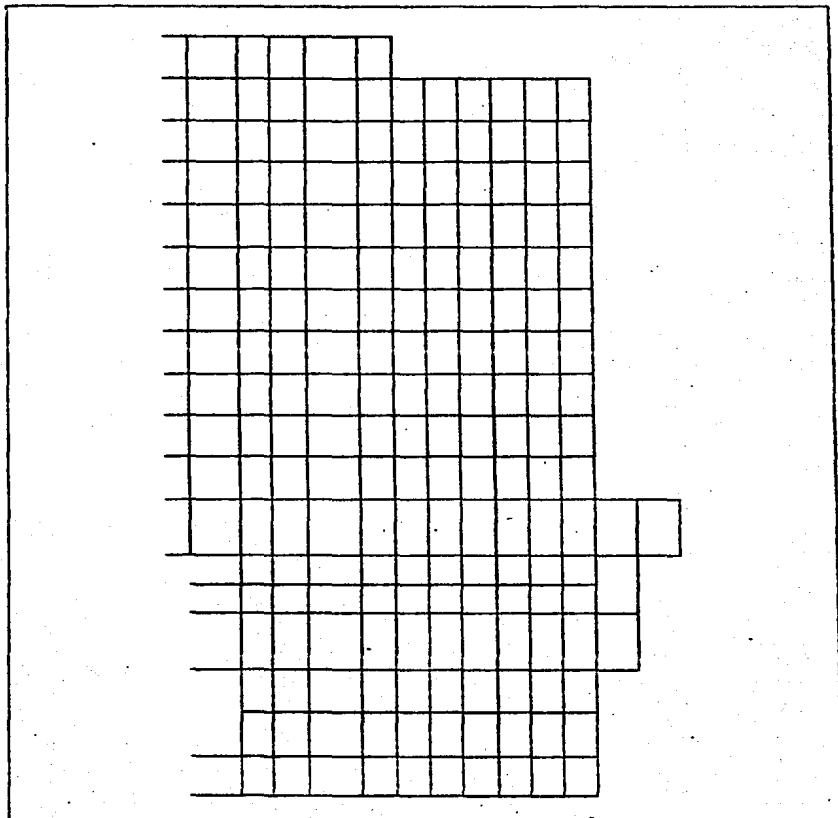
aparecen adelante. Además de las secciones de los elementos estructurales, se introducieron el módulo de Elasticidad, módulo de Poisson y el peso volumétrico del acero, datos necesarios para la obtención de elementos mecánicos.

Con respecto a las cargas, se consideraron las siguientes: Por tener una losa con peralte de 10 centímetros, nos da un peso propio por losa de 240 kg/m², por recubrimientos en vigas y columnas, plafones, etc., se consideró 100 kg/m². De acuerdo al Reglamento se especifica para Hoteles, una carga viva reducida de 90 kg/m², lo cual nos da un total de 430 kg/m², valor utilizado en el programa.

El Análisis Dinámico se hizo bajo la técnica de Espectro de Respuesta, basándose en el acelerograma digitizado de la estación SCT de la Secretaría de Comunicaciones y Transportes del sismo del 19 de septiembre de 1985. El amortiguamiento considerado fué del 5 %, utilizado para estructuras de acero con conexiones remachadas, pero conservadoramente, ya que por la existencia de muros de relleno que absorvieron gran parte de la energía liberada por el sismo, pudo haberse tomado un amortiguamiento mayor. El espectro se hizo actuar en dos direcciones ortogonales entre si.

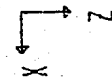
Se presenta también la configuración de dos marcos típicos uno en cada sentido, así como la geometría tridimensional no deformada del edificio elaborada por el programa según lo estudió de los datos de entrada.

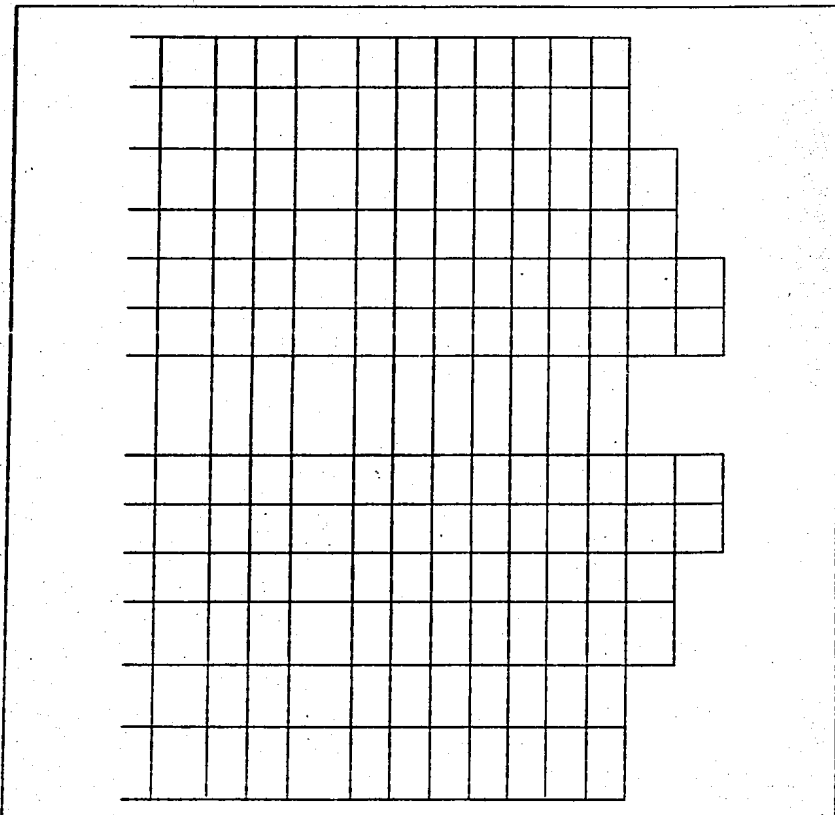
En el presente trabajo se utilizó el sistema de unidades M K S para la codificación de los datos.



ETABS

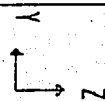
FILE : prado.PST
UNDEFORMED GEOMETRY
TOP LEVEL : AZ2
BOTTOM LEVEL : UNO

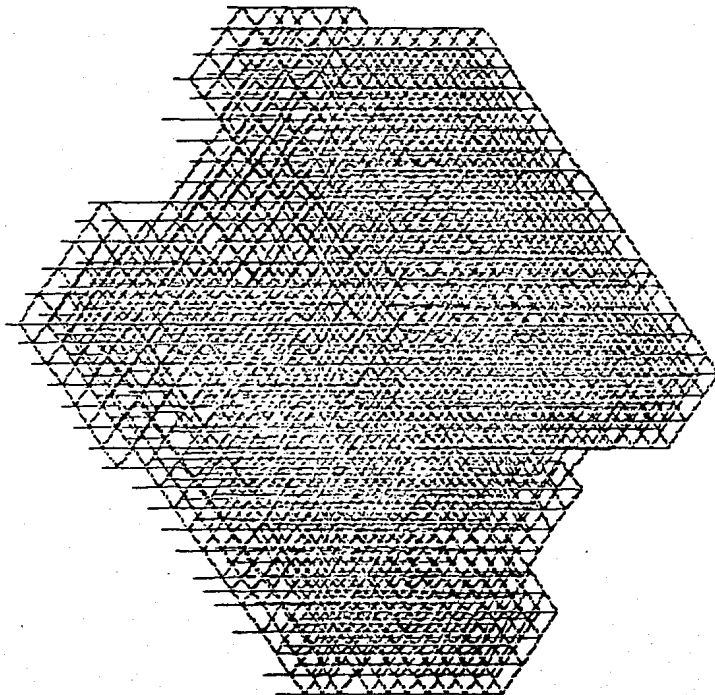




ETABS

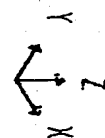
FILE : prado.PST
UNDEFORMED GEOMETRY
TOP LEVEL : AZ2
BOTTOM LEVEL : UNO

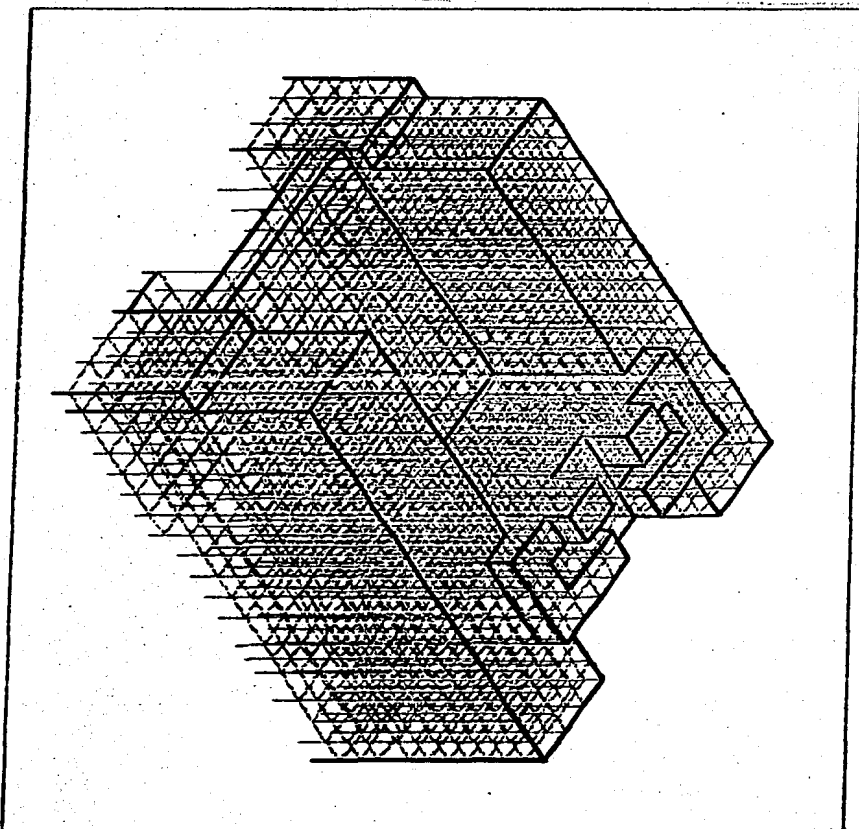




ETABS

FILE : PRADO.PST
UNDEFORMED GEOMETRY
TOP LEVEL : AZZ
BOTTOM LEVEL : UNO

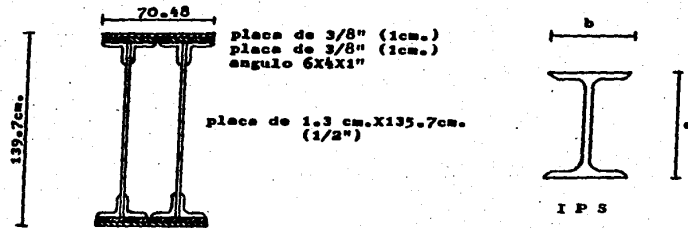




ETABS	FILE : PRADO.PST UNDEFORMED GEOMETRY TOP LEVEL : AZ2 BOTTOM LEVEL : UND	
-------	----------------------------------------------------------------------------------	--

PROPIEDADES DE TRABES

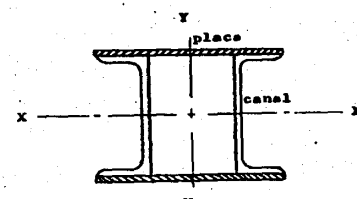
PROPIEDAD	A	AX	AY	J	I _x	I _y	S _x	S _y	R _x	R _y
	2 -4 M X10	2 -4 M X10	2 -4 M X10	4 -8 M X10	4 -8 M X10	4 -8 M X10	3 -6 M X10	3 -6 M X10	MX10 -2	MX10 -2
1 IPS-381X140	80.52	36.87	39.62	51.02	18387.3	608.5	965.2	87.1	15.11	2.75
2 IPS-254X118	47.61	24.60	19.99	19.42	5082.2	287.2	399.8	48.5	10.34	2.46
3 IPS-305X128	59.74	29.21	27.13	29.42	8982.3	395.4	589.4	62.3	12.27	2.57
4 IPS-381X152	114.00	52.44	57.15	132.98	25348.6	1080.5	1330.6	141.8	14.91	3.07
5 IPS-203X102	34.45	18.29	13.94	10.72	2368.4	158.2	234.0	31.1	8.29	2.14
6 IPS-229X110	40.71	21.26	16.92	14.53	3534.8	214.8	309.3	39.1	9.32	2.29
7 SEC. ARMADA	890.10	408.33	344.68	1659.98	2735603.6	309831.6	40318.4	8852.3	55.43	18.66



PROP. 7
SEC. ARMADA.

PROPIEDADES DE COLUMNAS

PLACA	CANAL	A	Ax	Ay	J	I _x	I _y	S _x	S _y	R _x	R _y	
		2 - 4 M X10	2 - 4 M X10	2 - 4 M X10	4 - 8 M X10	4 - 8 M X10	4 - 8 M X10	3 - 6 M X10	3 - 6 M X10	-2 MX10	-2 MX10	
1	14"x3/4"	12"	287.22	117.04	88.23	159.15	51854.6	53173.5	3202.8	3489.0	13.43	13.60
2	12"x3/4"	10"	248.60	106.17	74.97	150.67	17753.0	31230.0	1164.9	2139.0	8.45	11.21
3	10"x1/2"	8"	145.16	60.15	44.98	41.46	7275.0	11503.0	572.8	1006.4	7.08	8.90
4	8"x3/8"	6"	58.84	43.59	9.54	21.93	1625.8	1625.8	171.3	213.4	5.26	5.26



\$\$\$\$\$\$\$\$\$ \$\$\$\$\$\$\$\$\$\$ \$\$\$\$\$\$\$\$\$\$ \$\$\$\$\$\$\$\$\$\$ \$\$\$\$\$\$\$\$\$\$
\$\$\$\$\$\$\$\$\$ \$\$\$\$\$\$\$\$\$\$ \$\$\$\$\$\$\$\$\$\$ \$\$\$\$\$\$\$\$\$\$ \$\$\$\$\$\$\$\$\$\$
 ss ss ss ss ss ss
 ss ss ss ss ss ss

**EXTENDED THREE DIMENSIONAL ANALYSIS OF BUILDING SYSTEMS
VERSION 86.01**

BY

ASHRAF HABIBULLAH

copyright (c) 1983
COMPUTERS AND STRUCTURES, INC.
BERKELEY, CALIFORNIA

ENRIQUE MARTINEZ ROMERO, S. A.

/HOTEL DEL PRADO
/ANALISIS TRIDIMENSIONAL

PAGE 1
PROGRAM: ETABS/FILE: PRADO.EKO

NUMBER OF STORIES-----	14
NUMBER OF DIFFERENT FRAMES-----	1
NUMBER OF TOTAL FRAMES-----	1
NUMBER OF MASS TYPES-----	9
NUMBER OF LOAD CASES-----	1
NUMBER OF STRUCTURAL PERIODS-----	6
NUMBER OF MATERIAL PROPERTIES-----	1
NUMBER OF SECTION PROPERTIES FOR COLUMNS-----	4
NUMBER OF SECTION PROPERTIES FOR BEAMS-----	7
NUMBER OF SECTION PROPERTIES FOR DIAGONALS-----	0
NUMBER OF SECTION PROPERTIES FOR PANELS-----	0
CODE FOR STATIC LATERAL ANALYSIS-----	0
CODE FOR DYNAMIC LATERAL ANALYSIS-----	2
CODE FOR STRUCTURE TYPE-----	0
CODE FOR P-DELTA ANALYSIS -----	0
CODE FOR FRAME JOINT STIFFNESS MODIFICATION-----	0
CODE FOR FRAME JOINT DISPLACEMENT-----	1
CODE FOR FRAME SELF WEIGHT LOAD CONDITION-----	0
CODE FOR POST PROCESSING MODE SHAPES-----	1

GRAVITATIONAL ACCELERATION-----	.9810E+01
EIGEN CONVERGENCE TOLERANCE-----	.1000E-03
EIGEN CUTOFF TIME PERIOD-----	.0000E+00

STORY MASS TYPE NUMBER-----	1
NUMBER OF MASS SEGMENTS-----	4
MASS SCALE FACTOR-----	.100E+01

SEGMENT NUMBER	SEGMENT MASS	COORDINATES OF CENTER	DIMENSIONS OF SEGMENT
		X Y	X Y
1	43.832824	14.70 12.48	29.40 24.95
2	43.832824	40.60 18.75	22.40 4.20
3	43.832824	49.00 33.40	5.60 25.10
4	43.832824	23.10 57.63	46.20 14.95

CALCULATED STORY MASS PROPERTIES

STORY MASS-----	72712.52
MASS MOMENT OF INERTIA-----	50825291.3
X-ORDINATE OF CENTER OF MASS-----	22.57
Y-ORDINATE OF CENTER OF MASS-----	33.40

ENRIQUE MARTINEZ ROMERO, S.A.

PAGE 2

PROGRAM: ETABS/FILE: PRADO.EKO

/HOTEL DEL PRADO
/ANALISIS TRIDIMENSIONAL

STORY MASS TYPE NUMBER----- 2
 NUMBER OF MASS SEGMENTS----- 12
 MASS SCALE FACTOR----- 100E+01

SEGMENT NUMBER	SEGMENT MASS	COORDINATES OF CENTER		DIMENSIONS OF SEGMENT	
		X	Y	X	Y
1	43.832824	37.70	8.33	75.40	16.65
2	43.832824	37.90	20.80	67.40	6.30
3	43.832824	27.30	27.05	37.80	4.20
4	43.832824	61.70	27.05	19.80	4.20
5	43.832824	41.90	33.35	67.00	8.40
6	43.832824	27.30	39.65	37.80	4.20
7	43.832824	61.70	39.65	19.80	4.20
8	43.832824	37.90	45.95	67.40	8.40
9	43.832824	25.90	57.63	51.80	14.95
10	43.832824	63.60	52.78	23.60	5.25
11	43.832824	66.40	58.05	18.00	5.30
12	43.832824	69.20	62.90	12.40	4.40

CALCULATED STORY MASS PROPERTIES

STORY MASS----- 196191.3
 MASS MOMENT OF INERTIA-----
 X-ORDINATE OF CENTER OF MASS----- 38.10
 Y-ORDINATE OF CENTER OF MASS----- 31.98

STORY MASS TYPE NUMBER----- 3
 NUMBER OF MASS SEGMENTS----- 12
 MASS SCALE FACTOR----- 100E+01

SEGMENT NUMBER	SEGMENT MASS	COORDINATES OF CENTER		DIMENSIONS OF SEGMENT	
		X	Y	X	Y
1	43.832824	6.30	8.33	12.60	16.65
2	43.832824	58.70	3.03	33.40	6.05
3	43.832824	46.90	8.70	9.80	5.30
4	43.832824	44.10	16.10	4.20	9.50
5	43.832824	66.40	11.35	18.00	10.60
6	43.832824	64.50	20.80	14.20	8.30
7	43.832824	67.30	27.05	8.60	4.20
8	43.832824	49.00	54.35	5.60	8.40
9	43.832824	64.50	43.85	14.20	12.60
10	43.832824	36.40	63.83	30.80	10.55
11	43.832824	66.40	63.83	18.00	10.55
12	43.832824	48.20	71.30	54.40	4.40

ENRIQUE MARTINEZ ROMERO, S.A.

PAGE 3

PROGRAM: ETABS/FILE: PRADO.EKO

/HOTEL DEL PRADO
/ANALISIS TRIDIMENSIONAL

CALCULATED STORY MASS PROPERTIES

STORY MASS----- 80154.45
MASS MOMENT OF INERTIA----- 91587154.2
X-ORDINATE OF CENTER OF MASS----- 49.16
Y-ORDINATE OF CENTER OF MASS----- 37.94

STORY MASS TYPE NUMBER----- 4
NUMBER OF MASS SEGMENTS----- 12
MASS SCALE FACTOR----- 100E+01

SEGMENT NUMBER	SEGMENT MASS	COORDINATES OF CENTER		DIMENSIONS OF SEGMENT	
		X	Y	X	Y
1	43.832824	58.70	8.33	33.40	16.65
2	43.832824	35.80	18.75	71.60	4.20
3	43.832824	56.80	22.90	29.60	4.10
4	43.832824	44.10	27.05	4.20	4.20
5	43.832824	61.70	27.05	19.80	4.20
6	43.832824	52.50	33.35	21.00	8.40
7	43.832824	44.10	39.65	4.20	4.20
8	43.832824	61.70	39.65	19.80	4.20
9	43.832824	56.80	43.85	29.60	4.20
10	43.832824	12.60	33.35	25.20	25.10
11	43.832824	35.80	48.05	71.60	4.20
12	43.832824	37.70	57.63	75.40	14.95

CALCULATED STORY MASS PROPERTIES

STORY MASS----- 155211.15
MASS MOMENT OF INERTIA----- *****
X-ORDINATE OF CENTER OF MASS----- 39.45
Y-ORDINATE OF CENTER OF MASS----- 37.17

STORY MASS TYPE NUMBER----- 5
NUMBER OF MASS SEGMENTS----- 9
MASS SCALE FACTOR----- 100E+01

ENRIQUE MARTINEZ ROMERO, S.A.

PAGE 4
PROGRAM:ETABS/FILE:PRADO.EKO

/HOTEL DEL PRADO
/ANALISIS TRIDIMENSIONAL

SEGMENT NUMBER	SEGMENT MASS	COORDINATES OF CENTER		DIMENSIONS OF SEGMENT	
		X	Y	X	Y
1	43.832824	37.70	8.33	75.40	16.65
2	43.832824	31.50	20.80	63.00	8.30
3	43.832824	23.10	27.05	46.20	4.20
4	43.832824	57.40	27.05	11.20	4.20
5	43.832824	31.50	33.35	63.00	8.40
6	43.832824	23.10	39.65	26.20	4.20
7	43.832824	57.40	39.65	11.20	4.20
8	43.832824	31.50	45.95	63.00	8.40
9	43.832824	37.70	57.63	75.40	14.95

CALCULATED STORY MASS PROPERTIES

STORY MASS----- 191203.16
MASS MOMENT OF INERTIA-----
X-ORDINATE OF CENTER OF MASS----- 34.66
Y-ORDINATE OF CENTER OF MASS----- 32.32

STORY MASS TYPE NUMBER----- 6
NUMBER OF MASS SEGMENTS----- 7
MASS SCALE FACTOR----- .100E+01

SEGMENT NUMBER	SEGMENT MASS	COORDINATES OF CENTER		DIMENSIONS OF SEGMENT	
		X	Y	X	Y
1	43.832824	37.70	8.33	75.40	16.65
2	43.832824	60.20	20.80	16.80	8.30
3	43.832824	63.00	27.05	11.20	4.20
4	43.832824	60.20	33.35	16.80	8.40
5	43.832824	63.00	39.65	11.20	4.20
6	43.832824	60.20	45.95	16.80	8.40
7	43.832824	37.70	57.63	75.40	14.95

CALCULATED STORY MASS PROPERTIES

STORY MASS----- 127045.06
MASS MOMENT OF INERTIA-----
X-ORDINATE OF CENTER OF MASS----- 41.79
Y-ORDINATE OF CENTER OF MASS----- 31.96

ENRIQUE MARTINEZ ROMERO, S. A.

PAGE 5

/HOTEL DEL PRADO

/ANALISIS TRIDIMENSIONAL

PROGRAM: ETABS/FILE: PRADO.EKO

STORY MASS TYPE NUMBER----- 7
NUMBER OF MASS SEGMENTS----- 7
MASS SCALE FACTOR----- .100E+01

SEGMENT NUMBER	SEGMENT MASS	COORDINATES OF CENTER		DIMENSIONS OF SEGMENT	
		X	Y	X	Y
1	43.832824	39.80	8.33	71.20	16.65
2	43.832824	60.20	20.80	16.80	8.30
3	43.832824	63.00	27.05	11.20	4.20
4	43.832824	60.20	33.35	16.80	8.40
5	43.832824	63.00	39.65	11.20	4.20
6	43.832824	60.20	45.95	16.80	8.40
7	43.832824	39.80	57.63	71.20	14.95

CALCULATED STORY MASS PROPERTIES

STORY MASS----- 121227.56
MASS MOMENT OF INERTIA----- *****
X-ORDINATE OF CENTER OF MASS----- 43.70
Y-ORDINATE OF CENTER OF MASS----- 31.98

STORY MASS TYPE NUMBER----- 8
NUMBER OF MASS SEGMENTS----- 6
MASS SCALE FACTOR----- .100E+01

SEGMENT NUMBER	SEGMENT MASS	COORDINATES OF CENTER		DIMENSIONS OF SEGMENT	
		X	Y	X	Y
1	43.832824	54.60	14.00	16.80	5.30
2	43.832824	49.00	22.90	5.60	12.50
3	43.832824	60.20	22.90	5.60	12.50
4	43.832824	49.00	43.85	5.60	12.50
5	43.832824	60.20	43.85	5.60	12.60
6	43.832824	54.60	52.78	16.80	5.25

CALCULATED STORY MASS PROPERTIES

STORY MASS----- 20091.21
MASS MOMENT OF INERTIA----- 5053311.1
X-ORDINATE OF CENTER OF MASS----- 54.60
Y-ORDINATE OF CENTER OF MASS----- 33.37

/HOTEL DEL PRADO
/ANALISIS TRIDIMENSIONAL

STORY MASS TYPE NUMBER----- 9
NUMBER OF MASS SEGMENTS----- 2
MASS SCALE FACTOR----- .100E+01

SEGMENT NUMBER	SEGMENT MASS	COORDINATES OF CENTER		DIMENSIONS OF SEGMENT	
		X	Y	X	Y
1	43.832824	49.00	25.00	5.60	8.30
2	43.832824	49.00	41.75	5.60	8.40

CALCULATED STORY MASS PROPERTIES

STORY MASS----- 4099.25
MASS MOMENT OF INERTIA----- 322046.1
X-ORDINATE OF CENTER OF MASS----- 49.00
Y-ORDINATE OF CENTER OF MASS----- 33.43

STRUCTURAL STORY HEIGHTS AND MASS DATA

LEVEL	HEIGHT	MASS TYPE	MASS	MMI	XM	YM
AZ2	3.45	9	4099.246	322046.1	49.00	33.43
AZ1	3.45	8	20091.213	5053311.1	54.60	33.37
AZO	2.80	7	121227.564	114307379.3	43.70	31.98
ONC	2.80	7	121227.564	114307379.3	43.70	31.98
DIE	2.80	7	121227.564	114307379.3	43.70	31.98
NUE	2.80	7	121227.564	114307379.3	43.70	31.98
OCH	2.80	7	121227.564	114307379.3	43.70	31.98
SIE	2.80	7	121227.564	114307379.3	43.70	31.98
SEI	2.80	6	127045.056	127569524.5	41.79	31.96
CIN	4.40	5	191203.160	153782012.6	34.86	32.32
CUA	2.80	4	155211.152	129802008.2	39.45	37.17
TRE	2.80	3	80154.455	91587154.2	49.16	37.94
DOS	4.00	2	196191.335	155974822.9	38.10	31.98
UNO	2.20	1	72712.518	50825291.3	22.57	33.40

ENRIQUE MARTINEZ ROMERO, S. A.

PAGE 7

PROGRAM: ETABS/FILE: PRADO.EKO

/HOTEL DEL PRADO

/ANALISIS TRIDIMENSIONAL

STRUCTURAL EXTERNAL STORY STIFFNESS DATA . . .

LEVEL	K-X	K-Y	K-ROTN
AZ2	.0000E+00	.0000E+00	.0000E+00
AZ1	.0000E+00	.0000E+00	.0000E+00
AZO	.0000E+00	.0000E+00	.0000E+00
ONC	.0000E+00	.0000E+00	.0000E+00
DIE	.0000E+00	.0000E+00	.0000E+00
NUE	.0000E+00	.0000E+00	.0000E+00
OCH	.0000E+00	.0000E+00	.0000E+00
SIE	.0000E+00	.0000E+00	.0000E+00
SEI	.0000E+00	.0000E+00	.0000E+00
CIN	.0000E+00	.0000E+00	.0000E+00
CUA	.0000E+00	.0000E+00	.0000E+00
TRE	.0000E+00	.0000E+00	.0000E+00
DOS	.0000E+00	.0000E+00	.0000E+00
UNO	.0000E+00	.0000E+00	.0000E+00

MATERIAL PROPERTIES

ID	TYPE	E	U	P	FY	FC	FYS	FBMAJ	FBMIN
1	O	.200E+11	.785E+04	.25					

SECTION PROPERTIES FOR COLUMNS

ID	MATERIAL	SECTION	MAJOR		MINOR		FLANGE	WEB
			ID	TYPE	DIM	DIM	THICK	THICK
1		1	USER		.36	.34	.00	.00
2		1	USER		.31	.29	.00	.00
3		1	USER		.25	.23	.00	.00
4		1	USER		.20	.17	.00	.00

ANALYSIS SECTION PROPERTIES FOR COLUMNS

ID	AXIAL	MAJOR	MINOR	TORSION	MAJOR	MINOR
1	A	AV	AV	J	I	I
1	.03	.01	.01	.1592E-05	.5185E-03	.5317E-03
2	.02	.01	.01	.1507E-05	.1775E-03	.3123E-03
3	.01	.01	.00	.4146E-06	.7275E-04	.1150E-03
4	.01	.00	.00	.2193E-06	.1626E-04	.1626E-04

ENRIQUE MARTINEZ ROMERO, S. A.

PAGE 8

/HOTEL DEL PRADO
/ANALISIS TRIDIMENSIONAL

PROGRAM: ETABS/FILE: PRADO.EKO

SECTION PROPERTIES FOR BEAMS

MATERIAL	SECTION	DEPTH BELOW	DEPTH ABOVE	BEAM WIDTH	FLANGE THICK	WEB THICK
1	1 USER	.38	.14	.00	.00	.00
2	1 USER	.25	.12	.00	.00	.00
3	1 USER	.31	.13	.00	.00	.00
4	1 USER	.38	.15	.00	.00	.00
5	1 USER	.20	.10	.00	.00	.00
6	1 USER	.23	.11	.00	.00	.00
7	1 USER	1.40	.70	.00	.00	.00

ANALYSIS SECTION PROPERTIES FOR BEAMS

ID	AXIAL A	MAJOR AV	MINOR AV	TORSION J	MAJOR I	MINOR I
1	.01	.00	.00	.5102E-06	.1839E-03	.6085E-05
2	.00	.00	.00	.1942E-06	.5082E-04	.2872E-05
3	.01	.00	.00	.2942E-06	.8982E-04	.3954E-05
4	.01	.01	.01	.1330E-05	.2535E-03	.1081E-04
5	.00	.00	.00	.1072E-06	.2368E-04	.1582E-05
6	.00	.00	.00	.1453E-06	.3535E-04	.2148E-05
7	.09	.04	.03	.1660E-04	.2736E-01	.3098E-02

/MARCO PRINCIPAL

FRAME ID NUMBER-----
NUMBER OF STORY LEVELS-----
NUMBER OF COLUMN LINES-----
NUMBER OF BAYS-----
NUMBER OF BRACING ELEMENTS-----
NUMBER OF PANEL ELEMENTS-----
NUMBER OF COLUMN LATERAL LOAD PATTERNS-----
NUMBER OF BEAM SPAN LOAD PATTERNS-----
MAXIMUM NUMBER OF LOADS PER BEAM SPAN-----

1
14
249
523
0
0
0
0
0

/HOTEL DEL PRADO
/ANALISIS TRIDIMENSIONAL

COLUMN LINE COORDINATES AND ORIENTATIONS

COLUMN	X-ORD	Y-ORD	ANGLE
1	.000	.000	.00000
2	4.200	.000	.00000
3	8.400	.000	.00000
4	12.600	.000	.00000
5	16.800	.000	.00000
6	21.000	.000	.00000
7	25.200	.000	.00000
8	29.400	.000	.00000
9	33.600	.000	.00000
10	37.800	.000	.00000
11	42.000	.000	.00000
12	46.200	.000	.00000
13	51.800	.000	.00000
14	54.600	.000	.00000
15	57.400	.000	.00000
16	63.000	.000	.00000
17	67.300	.000	.00000
18	71.600	.000	.00000
19	75.400	.000	.00000
20	.000	6.050	.00000
21	4.200	6.050	.00000
22	8.400	6.050	.00000
23	12.600	6.050	.00000
24	16.800	6.050	.00000
25	21.000	6.050	.00000
26	25.200	6.050	.00000
27	29.400	6.050	.00000
28	33.600	6.050	.00000
29	37.800	6.050	.00000
30	42.000	6.050	.00000
31	46.200	6.050	.00000
32	51.800	6.050	.00000
33	54.600	6.050	.00000
34	57.400	6.050	.00000
35	63.000	6.050	.00000
36	67.300	6.050	.00000
37	71.600	6.050	.00000
38	75.400	6.050	.00000
39	.000	11.350	.00000
40	4.200	11.350	.00000
41	8.400	11.350	.00000
42	12.600	11.350	.00000
43	16.800	11.350	.00000
44	21.000	11.350	.00000
45	25.200	11.350	.00000
46	29.400	11.350	.00000
47	33.600	11.350	.00000

/HOTEL DEL PRADO
 /ANALISIS TRIDIMENSIONAL

COLUMN LINE COORDINATES AND ORIENTATIONS

COLUMN	X-ORD	Y-ORD	ANGLE
48	37.800	11.350	.00000
49	42.000	11.350	.00000
50	46.200	11.350	.00000
51	51.800	11.350	.00000
52	57.400	11.350	.00000
53	63.000	11.350	.00000
54	67.300	11.350	.00000
55	71.600	11.350	.00000
56	75.400	11.350	.00000
57	.000	16.650	.00000
58	4.200	16.650	.00000
59	8.400	16.650	.00000
60	12.600	16.650	.00000
61	16.800	16.650	.00000
62	21.000	16.650	.00000
63	25.200	16.650	.00000
64	29.400	16.650	.00000
65	33.600	16.650	.00000
66	37.800	16.650	.00000
67	42.000	16.650	.00000
68	46.200	16.650	.00000
69	51.800	16.650	.00000
70	57.400	16.650	.00000
71	63.000	16.650	.00000
72	67.300	16.650	.00000
73	71.600	16.650	.00000
74	75.400	16.650	.00000
75	.000	20.850	.00000
76	4.200	20.850	.00000
77	8.400	20.850	.00000
78	12.600	20.850	.00000
79	16.800	20.850	.00000
80	20.000	20.850	.00000
81	25.200	20.850	.00000
82	29.400	20.850	.00000
83	33.600	20.850	.00000
84	37.800	20.850	.00000
85	42.000	20.850	.00000
86	46.200	20.850	.00000
87	51.800	20.850	.00000
88	57.400	20.850	.00000
89	63.000	20.850	.00000
90	67.300	20.850	.00000
91	71.600	20.850	.00000
92	.000	24.950	.00000
93	4.200	24.950	.00000
94	8.400	24.950	.00000

ENRIQUE MARTINEZ ROMERO, S.A.

PAGE 11

/HOTEL DEL PRADO
/ANALISIS TRIDIMENSIONAL

PROGRAM: ETABS/FILE: PRADO.EKO

COLUMN LINE COORDINATES AND ORIENTATIONS

COLUMN	X-ORD	Y-ORD	ANGLE
95	12.600	24.950	.00000
96	16.800	24.950	.00000
97	21.000	24.950	.00000
98	25.200	24.950	.00000
99	29.400	24.950	.00000
100	33.600	24.950	.00000
101	37.800	24.950	.00000
102	42.000	24.950	.00000
103	46.200	24.950	.00000
104	51.800	24.950	.00000
105	57.400	24.950	.00000
106	63.000	24.950	.00000
107	67.300	24.950	.00000
108	71.600	24.950	.00000
109	4.200	29.150	.00000
110	8.400	29.150	.00000
111	12.600	29.150	.00000
112	16.800	29.150	.00000
113	21.000	29.150	.00000
114	25.200	29.150	.00000
115	29.400	29.150	.00000
116	33.600	29.150	.00000
117	37.800	29.150	.00000
118	42.000	29.150	.00000
119	46.200	29.150	.00000
120	51.800	29.150	.00000
121	57.400	29.150	.00000
122	63.000	29.150	.00000
123	67.300	29.150	.00000
124	71.600	29.150	.00000
125	75.400	29.150	.00000
126	4.200	37.550	.00000
127	8.400	37.550	.00000
128	12.600	37.550	.00000
129	16.800	37.550	.00000
130	21.000	37.550	.00000
131	25.200	37.550	.00000
132	29.400	37.550	.00000
133	33.600	37.550	.00000
134	37.800	37.550	.00000
135	42.000	37.550	.00000
136	46.200	37.550	.00000
137	51.800	37.550	.00000
138	57.400	37.550	.00000
139	63.000	37.550	.00000
140	67.300	37.550	.00000
141	71.600	37.550	.00000

/HOTEL DEL PRADO
 /ANALISIS TRIDIMENSIONAL

COLUMN LINE COORDINATES AND ORIENTATIONS

COLUMN	X-ORD	Y-ORD	ANGLE
142	75.400	37.550	.00000
143	.000	41.750	.00000
144	4.200	41.750	.00000
145	8.400	41.750	.00000
146	12.600	41.750	.00000
147	16.800	41.750	.00000
148	21.000	41.750	.00000
149	25.200	41.750	.00000
150	29.400	41.750	.00000
151	33.600	41.750	.00000
152	37.800	41.750	.00000
153	42.000	41.750	.00000
154	46.200	41.750	.00000
155	51.800	41.750	.00000
156	57.400	41.750	.00000
157	63.000	41.750	.00000
158	67.300	41.750	.00000
159	71.600	41.750	.00000
160	4.200	45.950	.00000
161	8.400	45.950	.00000
162	12.600	45.950	.00000
163	16.800	45.950	.00000
164	21.000	45.950	.00000
165	25.200	45.950	.00000
166	29.400	45.950	.00000
167	33.600	45.950	.00000
168	37.800	45.950	.00000
169	42.000	45.950	.00000
170	46.200	45.950	.00000
171	51.800	45.950	.00000
172	57.400	45.950	.00000
173	63.000	45.950	.00000
174	67.300	45.950	.00000
175	71.600	45.950	.00000
176	.000	50.150	.00000
177	4.200	50.150	.00000
178	8.400	50.150	.00000
179	12.600	50.150	.00000
180	16.800	50.150	.00000
181	21.000	50.150	.00000
182	25.200	50.150	.00000
183	29.400	50.150	.00000
184	33.600	50.150	.00000
185	37.800	50.150	.00000
186	42.000	50.150	.00000
187	46.200	50.150	.00000
188	51.800	50.150	.00000

/HOTEL DEL PRADO
/ANALISIS TRIDIMENSIONAL

COLUMN LINE COORDINATES AND ORIENTATIONS

COLUMN	X-ORD	Y-ORD	ANGLE
189	57.400	50.150	.00000
190	63.000	50.150	.00000
191	67.300	50.150	.00000
192	71.600	50.150	.00000
193	75.400	50.150	.00000
194	.000	55.400	.00000
195	4.200	55.400	.00000
196	8.400	55.400	.00000
197	12.600	55.400	.00000
198	16.800	55.400	.00000
199	21.000	55.400	.00000
200	25.200	55.400	.00000
201	29.400	55.400	.00000
202	33.600	55.400	.00000
203	37.800	55.400	.00000
204	42.000	55.400	.00000
205	46.200	55.400	.00000
206	51.800	55.400	.00000
207	57.400	55.400	.00000
208	63.000	55.400	.00000
209	67.300	55.400	.00000
210	71.600	55.400	.00000
211	75.400	55.400	.00000
212	.000	60.700	.00000
213	4.200	60.700	.00000
214	8.400	60.700	.00000
215	12.600	60.700	.00000
216	16.800	60.700	.00000
217	21.000	60.700	.00000
218	25.200	60.700	.00000
219	29.400	60.700	.00000
220	33.600	60.700	.00000
221	37.800	60.700	.00000
222	42.000	60.700	.00000
223	46.200	60.700	.00000
224	51.800	60.700	.00000
225	54.600	60.700	.00000
226	57.400	60.700	.00000
227	63.000	60.700	.00000
228	67.300	60.700	.00000
229	71.600	60.700	.00000
230	75.400	60.700	.00000
231	.000	65.100	.00000
232	4.200	65.100	.00000
233	8.400	65.100	.00000
234	12.600	65.100	.00000
235	16.800	65.100	.00000

/HOTEL DEL PRADO
/ANALISIS TRIDIMENSIONAL

COLUMN LINE COORDINATES AND ORIENTATIONS

COLUMN	X-ORD	Y-ORD	ANGLE
236	21.000	65.100	.00000
237	25.200	65.100	.00000
238	29.400	65.100	.00000
239	33.600	65.100	.00000
240	37.800	65.100	.00000
241	42.000	65.100	.00000
242	46.200	65.100	.00000
243	51.800	65.100	.00000
244	54.600	65.100	.00000
245	57.400	65.100	.00000
246	63.000	65.100	.00000
247	67.300	65.100	.00000
248	71.600	65.100	.00000
249	75.400	65.100	.00000

BAY CONNECTIVITY DATA

BAY	I-COLUMN	J-COLUMN	BAY LENGTH
1	1	2	4.200
2	2	3	4.200
3	3	4	4.200
4	4	5	4.200
5	5	6	4.200
6	6	7	4.200
7	7	8	4.200
8	8	9	4.200
9	9	10	4.200
10	10	11	4.200
11	11	12	4.200
12	12	13	5.600
13	13	14	2.800
14	14	15	2.800
15	15	16	5.600
16	16	18	8.600
17	16	17	4.300
18	17	18	4.300
19	18	19	3.800
20	20	21	4.200
21	21	22	4.200
22	22	23	4.200
23	23	24	4.200
24	24	25	4.200
25	25	26	4.200
26	26	27	4.200
27	27	28	4.200

/HOTEL DEL PRADO
 /ANALISIS TRIDIMENSIONAL

BAY CONNECTIVITY DATA

BAY	I-COLUMN	J-COLUMN	BAY	LENGTH
28	20	28	33	33.600
29	28	29	4	4.200
30	29	30	4	4.200
31	30	31	4	4.200
32	31	32	5	5.600
33	32	33	2	2.800
34	33	34	2	2.800
35	34	35	5	5.600
36	35	37	8	8.600
37	35	36	4	4.300
38	36	37	4	4.300
39	37	38	3	3.800
40	39	40	4	4.200
41	40	41	4	4.200
42	41	42	4	4.200
43	40	42	8	8.400
44	42	43	4	4.200
45	43	44	4	4.200
46	44	45	4	4.200
47	45	46	4	4.200
48	46	47	4	4.200
49	39	47	33	33.600
50	47	48	4	4.200
51	48	49	4	4.200
52	49	50	4	4.200
53	50	51	5	5.600
54	51	52	5	5.600
55	52	53	5	5.600
56	53	54	4	4.300
57	54	55	4	4.300
58	53	55	8	8.600
59	55	56	3	3.800
60	57	58	4	4.200
61	58	59	4	4.200
62	59	60	4	4.200
63	60	61	4	4.200
64	61	62	4	4.200
65	62	63	4	4.200
66	63	64	4	4.200
67	64	65	4	4.200
68	65	66	4	4.200
69	66	67	4	4.200
70	67	68	4	4.200
71	68	69	5	5.600
72	69	70	5	5.600
73	70	71	5	5.600

/HOTEL DEL PRADO
/ANALISIS TRIDIMENSIONAL

BAY CONNECTIVITY DATA

BAY	I-COLUMN	J-COLUMN	BAY	LENGTH
74	71	73		8.600
75	71	72		4.300
76	72	73		4.300
77	73	74		3.800
78	75	76		4.200
79	76	77		4.200
80	77	78		4.200
81	78	79		4.200
82	79	80		4.200
83	80	81		4.200
84	77	79		8.400
85	79	81		8.400
86	81	82		4.200
87	82	83		4.200
88	83	84		4.200
89	84	85		4.200
90	85	86		4.200
91	86	87		5.600
92	87	88		5.600
93	88	89		5.600
94	89	91		8.600
95	89	90		4.300
96	90	91		4.300
97	92	93		4.200
98	93	94		4.200
99	94	95		4.200
100	95	96		4.200
101	93	96		12.600
102	96	97		4.200
103	97	98		4.200
104	96	98		8.400
105	98	99		4.200
106	99	100		4.200
107	100	101		4.200
108	101	102		4.200
109	98	102		16.800
110	102	103		4.200
111	103	104		5.600
112	104	105		5.600
113	105	106		5.600
114	106	108		8.600
115	106	107		4.300
116	107	108		4.300
117	110	111		4.200
118	111	112		4.200
119	109	112		12.600

ENRIQUE MARTINEZ ROMERO, S. A.

/HOTEL DEL PRADO
/ANALISIS TRIDIMENSIONAL

PAGE 17
PROGRAM: ETABS/FILE: PRADO.EKO

BAY CONNECTIVITY DATA

BAY	I-COLUMN	J-COLUMN	BAY LENGTH
120	112	113	4.200
121	113	114	4.200
122	112	114	8.400
123	114	115	4.200
124	115	116	4.200
125	116	117	4.200
126	117	118	4.200
127	114	118	16.800
128	118	119	4.200
129	119	120	5.600
130	120	121	5.600
131	121	122	5.600
132	122	124	8.600
133	122	123	4.300
134	123	124	4.300
135	124	125	3.800
136	127	128	4.200
137	128	129	4.200
138	126	129	12.600
139	129	130	4.200
140	130	131	4.200
141	129	131	8.400
142	131	132	4.200
143	132	133	4.200
144	133	134	4.200
145	134	135	4.200
146	131	135	16.800
147	135	136	4.200
148	136	137	5.600
149	137	138	5.600
150	138	139	5.600
151	139	141	8.600
152	139	140	4.300
153	140	141	4.300
154	141	142	3.800
155	143	144	4.200
156	144	145	4.200
157	145	146	4.200
158	146	147	4.200
159	144	147	12.600
160	147	148	4.200
161	148	149	4.200
162	147	149	8.400
163	149	150	4.200
164	150	151	4.200
165	151	152	4.200

/HOTEL DEL PRADO
/ANALISIS TRIDIMENSIONAL

BAY CONNECTIVITY DATA

BAY	I-COLUMN	J-COLUMN	BAY LENGTH
166	152	153	4.200
167	149	153	16.800
168	153	154	4.200
169	154	155	5.600
170	155	156	5.600
171	156	157	5.600
172	157	159	8.600
173	157	158	4.300
174	158	159	4.300
175	160	161	4.200
176	161	162	4.200
177	162	163	4.200
178	160	163	12.600
179	163	164	4.200
180	164	165	4.200
181	162	165	12.600
182	163	165	8.400
183	165	166	4.200
184	166	167	4.200
185	167	168	4.200
186	168	169	4.200
187	169	170	4.200
188	170	171	5.600
189	171	172	5.600
190	172	173	5.600
191	173	175	8.600
192	173	174	4.300
193	174	175	4.300
194	176	177	4.200
195	177	178	4.200
196	178	179	4.200
197	179	180	4.200
198	180	181	4.200
199	181	182	4.200
200	182	183	4.200
201	183	184	4.200
202	184	185	4.200
203	185	186	4.200
204	186	187	4.200
205	187	188	5.600
206	188	189	5.600
207	189	190	5.600
208	190	192	8.600
209	190	191	4.300
210	191	192	4.300
211	192	193	3.800

BAY CONNECTIVITY DATA

BAY	I-COLUMN	J-COLUMN	BAY LENGTH
212	194	195	4.200
213	195	196	4.200
214	196	197	4.200
215	197	198	4.200
216	198	199	4.200
217	195	199	16.800
218	199	200	4.200
219	200	201	4.200
220	201	202	4.200
221	202	203	4.200
222	203	204	4.200
223	204	205	4.200
224	205	206	5.600
225	206	207	5.600
226	207	208	5.600
227	208	210	8.600
228	208	209	4.300
229	209	210	4.300
230	210	211	3.800
231	212	213	4.200
232	213	214	4.200
233	214	215	4.200
234	215	216	4.200
235	216	217	4.200
236	213	217	16.800
237	217	218	4.200
238	218	219	4.200
239	219	220	4.200
240	220	221	4.200
241	221	222	4.200
242	222	223	4.200
243	223	224	5.600
244	224	226	5.600
245	224	225	2.800
246	225	226	2.800
247	226	227	5.600
248	227	229	8.600
249	227	228	4.300
250	228	229	4.300
251	229	230	3.800
252	231	232	4.200
253	232	233	4.200
254	233	234	4.200
255	234	235	4.200
256	235	236	4.200
257	236	237	4.200

ENRIQUE MARTINEZ ROMERO, S. A.

PAGE 20

PROGRAM: ETABS/FILE: PRADO.EKO

/HOTEL DEL PRADO
/ANALISIS TRIDIMENSIONAL

BAY CONNECTIVITY DATA

BAY	I-COLUMN	J-COLUMN	BAY	LENGTH
258	237	238		4.200
259	238	239		4.200
260	239	240		4.200
261	240	241		4.200
262	241	242		4.200
263	242	243		5.600
264	243	244		2.800
265	244	245		2.800
266	245	246		5.600
267	246	248		8.600
268	246	247		4.300
269	247	248		4.300
270	248	249		3.800
271	231	212		4.400
272	212	194		5.300
273	194	176		5.250
274	176	143		8.400
275	143	92	16	8.000
276	92	75		4.100
277	75	57		4.200
278	92	57		8.300
279	57	39		5.300
280	39	20		5.300
281	20	1		6.050
282	232	213		4.400
283	213	195		5.300
284	195	177		5.250
285	177	160		4.200
286	160	144		4.200
287	144	126		4.200
288	126	109		8.400
289	109	93		4.200
290	144	93	16	8.000
291	93	76		4.100
292	76	58		4.200
293	93	58		8.300
294	58	40		5.300
295	40	21		5.300
296	21	2		6.050
297	58	2	16	6.650
298	233	214		4.400
299	214	196		5.300
300	196	178		5.250
301	233	178	14	9.950
302	178	161		4.200
303	161	145		4.200

/HOTEL DEL PRADO
/ANALISIS TRIDIMENSIONAL

BAY CONNECTIVITY DATA

BAY	I-COLUMN	J-COLUMN	BAY LENGTH
304	145	127	4.200
305	127	110	8.400
306	110	94	4.200
307	94	77	4.100
308	77	59	4.200
309	178	77	29.300
310	161	59	29.300
311	94	59	8.300
312	59	41	5.300
313	41	22	5.300
314	59	22	10.600
315	22	3	6.050
316	59	3	16.650
317	234	215	4.400
318	215	197	5.300
319	197	179	5.250
320	234	179	14.950
321	179	162	4.200
322	162	146	4.200
323	146	128	4.200
324	128	111	8.400
325	111	95	4.200
326	95	78	4.100
327	78	60	4.200
328	179	60	33.500
329	162	60	29.300
330	60	42	5.300
331	42	23	5.300
332	23	4	6.050
333	60	4	16.650
334	235	216	4.400
335	216	198	5.300
336	198	180	5.250
337	235	180	14.950
338	180	163	4.200
339	163	147	4.200
340	180	147	8.400
341	147	129	4.200
342	129	112	8.400
343	112	96	4.200
344	147	96	16.600
345	96	79	4.100
346	79	61	4.200
347	96	61	8.300
348	61	43	5.300
349	43	24	5.300

/HOTEL DEL PRADO
 /ANALISIS TRIDIMENSIONAL

BAY CONNECTIVITY DATA

BAY	I-COLUMN	J-COLUMN	BAY LENGTH
350	24	5	6.050
351	61	5	16.650
352	236	217	4.400
353	217	199	5.300
354	199	181	5.250
355	181	164	4.200
356	164	148	4.200
357	148	130	4.200
358	130	113	8.400
359	113	97	4.200
360	97	80	4.100
361	80	62	4.200
362	181	62	33.500
363	62	44	5.300
364	44	25	5.300
365	25	6	6.050
366	62	6	16.650
367	237	218	4.400
368	218	200	5.300
369	200	182	5.250
370	182	165	4.200
371	165	149	4.200
372	149	131	4.200
373	131	114	8.400
374	114	98	4.200
375	98	81	4.100
376	81	63	4.200
377	63	45	5.300
378	45	26	5.300
379	26	7	6.050
380	63	7	16.650
381	238	219	4.400
382	219	201	5.300
383	201	183	5.250
384	183	166	4.200
385	166	150	4.200
386	150	132	4.200
387	132	115	8.400
388	115	99	4.200
389	99	82	4.100
390	166	82	25.100
391	82	64	4.200
392	64	46	5.300
393	46	27	5.300
394	27	8	6.050
395	64	8	16.650

/HOTEL DEL PRADO
 /ANALISIS TRIDIMENSIONAL

BAY CONNECTIVITY DATA

BAY	I-COLUMN	J-COLUMN	BAY LENGTH
396	239	220	4.400
397	220	202	5.300
398	202	184	5.250
399	184	167	4.200
400	167	151	4.200
401	151	133	4.200
402	133	116	8.400
403	116	100	4.200
404	100	83	4.100
405	167	83	25.100
406	83	65	4.200
407	65	47	5.300
408	47	28	5.300
409	28	9	6.050
410	240	221	4.400
411	221	203	5.300
412	203	185	5.250
413	185	168	4.200
414	168	152	4.200
415	152	134	4.200
416	134	117	8.400
417	117	101	4.200
418	101	84	4.100
419	168	84	25.100
420	84	66	4.200
421	66	48	5.300
422	48	29	5.300
423	29	10	6.050
424	241	222	4.400
425	222	204	5.300
426	204	186	5.250
427	186	169	4.200
428	169	153	4.200
429	153	135	4.200
430	135	118	8.400
431	118	102	4.200
432	102	85	4.100
433	85	67	4.200
434	67	49	5.300
435	49	30	5.300
436	30	11	6.050
437	242	223	4.400
438	223	205	5.300
439	205	187	5.250
440	187	170	4.200
441	170	154	4.200

/HOTEL DEL PRADO
/ANALISIS TRIDIMENSIONAL

BAY CONNECTIVITY DATA

BAY	I-COLUMN	J-COLUMN	BAY	LENGTH
442	154	136		4.200
443	136	119		8.400
444	119	103		4.200
445	103	86		4.100
446	86	68		4.200
447	68	50		5.300
448	50	31		5.300
449	31	12		6.050
450	243	224		4.400
451	224	206		5.300
452	206	188		5.250
453	188	171		4.200
454	171	155		4.200
455	155	137		4.200
456	137	120		8.400
457	120	104		4.200
458	104	87		4.100
459	87	69		4.200
460	69	51		5.300
461	51	32		5.300
462	32	13		6.050
463	244	225		4.400
464	33	14		6.050
465	245	226		4.400
466	226	207		5.300
467	207	189		5.250
468	189	172		4.200
469	172	156		4.200
470	156	138		4.200
471	138	121		8.400
472	121	105		4.200
473	105	88		4.100
474	88	70		4.200
475	70	52		5.300
476	52	34		5.300
477	34	15		6.050
478	246	227		4.400
479	227	208		5.300
480	208	190		5.250
481	190	173		4.200
482	173	157		4.200
483	157	139		4.200
484	139	122		8.400
485	122	106		4.200
486	106	89		4.100
487	89	71		4.200

ENRIQUE MARTINEZ ROMERO, S. A.

PAGE 25
PROGRAM: ETABS/FILE: PRADO.EKO

**/HOTEL DEL PRADO
/ANALISIS TRIDIMENSIONAL**

BAY CONNECTIVITY DATA

BAY	I-COLUMN	J-COLUMN	BAY LENGTH
488	71	53	5.300
489	53	35	5.300
490	35	16	6.050
491	247	128	4.400
492	228	209	5.300
493	209	191	5.250
494	191	174	4.200
495	174	158	4.200
496	158	140	4.200
497	140	123	8.400
498	123	107	4.200
499	107	90	4.100
500	90	72	4.200
501	72	54	5.300
502	54	36	5.300
503	36	17	6.050
504	248	229	4.400
505	229	210	5.300
506	210	192	5.250
507	192	175	4.200
508	175	159	4.200
509	159	141	4.200
510	141	124	8.400
511	124	108	4.200
512	108	91	4.100
513	91	73	4.200
514	73	55	5.300
515	55	37	5.300
516	37	18	6.050
517	249	230	4.400
518	230	211	5.300
519	211	193	5.250
520	142	125	8.400
521	74	56	5.300
522	56	38	5.300
523	38	19	6.050

INPUT AND/OR GENERATED COLUMN PROPERTY ID'S

/HOTEL DEL PRADO
 /ANALISIS TRIDIMENSIONAL

LEVEL	1	2	3	4	5	6	7	8	9	10	11	12	13	14	15
DIE	0	4	4	4	4	4	4	4	4	4	4	4	4	4	4
NUE	0	3	3	3	3	3	3	3	3	3	3	3	3	3	3
OCH	0	3	3	3	3	3	3	3	3	3	3	3	3	3	3
SIE	0	2	2	2	2	2	2	2	2	2	2	2	2	2	2
SEI	2	2	2	2	2	2	2	2	2	2	2	2	2	2	2
CIN	2	1	1	1	1	1	1	1	1	1	1	1	1	1	1
CUA	2	1	1	1	1	1	1	1	1	1	1	1	1	1	1
TRE	1	1	1	1	1	1	1	1	1	1	1	1	1	1	1
DOS	1	1	1	1	1	1	1	1	1	1	1	1	1	1	1
UNO	1	1	1	1	1	1	1	1	0	0	0	0	0	0	0
LEVEL	16	17	18	19	20	21	22	23	24	25	26	27	28	29	30
AZ2	0	0	0	0	0	0	0	0	0	0	0	0	0	0	0
AZ1	0	0	0	0	0	0	0	0	0	0	0	0	0	0	0
AZO	4	4	4	4	4	4	4	4	4	4	4	4	4	4	4
ONC	4	4	4	4	4	4	4	4	4	4	4	4	4	4	4
DIE	4	4	4	4	4	4	4	4	4	4	4	4	4	4	4
NUE	3	3	3	3	3	3	3	3	3	3	3	3	3	3	3
OCH	3	3	3	3	3	3	3	3	3	3	3	3	3	3	3
SIE	3	3	3	3	3	3	3	3	3	3	3	3	3	3	3
SEI	2	2	2	2	2	2	2	2	2	2	2	2	2	2	2
CIN	2	2	2	2	2	2	2	2	2	2	2	2	2	2	2
CUA	2	2	2	2	2	2	2	1	0	0	0	0	0	1	1
TRE	1	1	1	1	1	1	1	1	1	0	0	0	0	1	1
DOS	1	0	1	1	1	1	1	1	1	1	1	1	1	1	1
UNO	0	0	0	0	1	1	1	1	1	1	1	1	1	0	0
LEVEL	31	32	33	34	35	36	37	38	39	40	41	42	43	44	45
AZ2	0	0	0	0	0	0	0	0	0	0	0	0	0	0	0
AZ1	0	0	0	0	0	0	0	0	0	0	0	0	0	0	0
AZO	4	4	4	4	4	4	4	4	4	4	4	4	4	4	4
ONC	4	4	4	4	4	4	4	4	4	4	4	4	4	4	4
DIE	4	4	4	4	4	4	4	4	4	4	4	4	4	4	4
NUE	3	3	3	3	3	3	3	3	3	0	3	3	3	3	3
OCH	3	3	3	3	3	3	3	3	3	0	3	3	3	3	3
SIE	3	3	3	3	3	3	3	3	3	0	2	2	2	2	2
SEI	2	2	2	2	2	2	2	2	2	2	2	2	2	2	2
CIN	2	2	2	2	2	2	2	2	2	2	0	0	0	0	0
CUA	2	2	2	2	2	2	2	2	2	1	0	0	0	0	0
TRE	1	1	1	1	1	1	1	1	1	1	1	1	1	1	1
DOS	1	1	1	1	1	1	0	0	0	1	1	1	1	1	1
UNO	0	0	0	0	0	0	0	0	0	1	1	1	1	1	1

/HOTEL DEL PRADO
/ANALISIS TRIDIMENSIONAL

HOTEL DEL PRADO

ANALISIS TRIDIMENSIONAL

ANALYSIS TRIMESTER 1993-1994 91 92 93 94 95 96 97 98 99 100 101 102 103 104 105

LEVEL 106 107 108 109 110 111 112 113 114 115 116 117 118 119 120

LEVEL 121 122 123 124 125 126 127 128 129 130 131 132 133 134 135

/HOTEL DEL PRADO

/ANALISIS TRIDIMENSIONAL

LEVEL 136 137 138 139 140 141 142 143 144 145 146 147 148 149 150

AZ2	4	4	0	0	0	0	0	0	0	0	0	0	0	0
AZ1	4	4	4	4	0	0	0	0	0	0	0	0	0	0
AZO	4	4	4	4	0	0	0	0	0	0	0	0	0	0
ONC	4	4	4	4	0	0	0	0	0	0	0	0	0	0
DIE	4	4	4	4	0	0	0	0	0	0	0	0	0	0
NUE	3	3	3	3	0	0	0	0	0	0	0	0	0	0
OCH	3	3	3	3	0	0	0	0	0	0	0	0	0	0
SIE	2	2	2	2	0	0	0	0	0	0	0	0	0	0
SEI	2	2	2	2	0	0	0	0	0	0	0	0	0	0
CIN	2	2	1	1	0	0	1	1	0	0	1	0	1	0
CUA	1	1	1	1	2	2	0	1	1	0	0	1	0	1
TRE	1	1	1	1	0	2	1	1	1	1	1	1	1	1
DOS	1	1	1	1	0	2	1	1	1	1	1	1	1	1
UNO	1	1	0	0	0	0	0	0	0	0	0	0	0	0

LEVEL	151	152	153	154	155	156	157	158	159	160	161	162	163	164	165
AZ2	0	0	0	4	4	0	0	0	0	0	0	0	0	0	0
AZ1	0	0	0	4	4	4	4	0	0	0	0	0	0	0	0
AZO	0	0	0	4	4	4	4	0	0	0	0	0	0	0	0
ONC	0	0	0	4	4	4	4	0	0	0	0	0	0	0	0
DIE	0	0	0	4	4	4	4	0	0	0	0	0	0	0	0
NUE	0	0	0	3	3	3	3	3	0	0	0	0	0	0	0
OCH	0	0	0	3	3	3	3	3	0	0	0	0	0	0	0
SIE	0	0	0	2	2	2	2	2	0	0	0	0	0	0	0
SEI	0	0	0	2	2	2	2	2	0	0	0	0	0	0	0
CIN	0	0	1	2	2	1	1	0	0	1	0	0	2	0	1
CUA	0	0	1	1	1	1	1	1	2	2	1	1	1	1	0
TRE	0	0	1	1	1	1	1	1	2	2	1	1	1	0	1
DOS	1	1	1	1	1	1	1	1	0	2	1	1	1	1	1
UNO	0	0	0	1	1	0	0	0	0	0	0	0	0	0	0

LEVEL	166	167	168	169	170	171	172	173	174	175	176	177	178	179	180
AZ2	0	0	0	0	4	4	0	0	0	0	0	0	0	0	0
AZ1	0	0	0	0	4	4	4	4	0	0	0	0	0	0	0
AZO	0	0	0	0	4	4	4	4	0	0	0	4	4	4	4
ONC	0	0	0	0	4	4	4	4	0	0	0	4	4	4	4
DIE	0	0	0	0	4	4	4	4	0	0	0	4	4	4	4
NUE	0	0	0	0	3	3	3	3	3	0	0	3	3	3	3
OCH	0	0	0	0	3	3	3	3	3	0	0	3	3	3	3
SIE	0	0	0	0	2	2	2	2	2	0	0	2	2	2	2
SEI	0	0	0	0	2	2	2	2	2	0	0	2	2	2	2
CIN	1	1	1	1	2	2	1	1	0	0	1	1	1	1	1
CUA	1	1	1	1	1	1	1	1	1	2	2	1	1	1	1
TRE	1	1	1	1	1	1	1	1	1	2	2	1	1	1	1
DOS	1	1	1	1	1	1	1	1	1	0	0	1	1	1	1
UNO	0	0	0	0	1	1	0	1	0	0	0	1	1	1	1

ENRIQUE MARTINEZ ROMERO, S. A.

PAGE 30

PAGE 30

**/HOTEL DEL PRADO
/ANALISIS TRIDIMENSIONAL**

LEVEL	181	182	183	184	185	186	187	188	189	190	191	192	193	194	195
AZ2	0	0	0	0	0	0	0	0	0	0	0	0	0	0	0
AZ1	0	0	0	0	0	0	4	4	4	4	0	0	0	0	0
AZO	4	4	4	4	4	4	4	4	4	4	4	4	4	4	0
ONC	4	4	4	4	4	4	4	4	4	4	4	4	4	4	0
DIE	4	4	4	4	4	4	4	4	4	4	4	4	4	4	0
NUE	3	3	3	3	3	3	3	3	3	3	3	3	3	3	3
OCH	3	3	3	3	3	3	3	3	3	3	3	3	3	3	0
SIE	2	2	2	2	2	2	2	2	2	2	2	2	2	2	2
SEI	2	2	2	2	2	2	2	2	2	2	2	2	2	2	2
CIN	1	1	1	1	1	1	1	1	1	1	1	1	1	1	1
CUA	1	1	1	1	1	1	1	1	1	1	1	2	1	1	1
TRE	1	1	1	1	1	1	1	1	1	1	1	1	1	1	1
DOS	1	1	1	1	1	1	1	1	1	1	0	0	1	1	1
UNO	1	1	1	1	1	1	1	1	1	1	0	0	1	1	1

LEVEL	196	197	198	199	200	201	202	203	204	205	206	207	208	209	210
AZ2	0	0	0	0	0	0	0	0	0	0	0	0	0	0	0
AZ1	0	0	0	0	0	0	0	0	0	4	4	4	4	4	0
AZO	4	4	4	4	4	4	4	4	4	4	4	4	4	4	4
ONC	4	4	4	4	4	4	4	4	4	4	4	4	4	4	4
DIE	4	4	4	4	4	4	4	4	4	4	4	4	4	4	4
NUE	3	3	3	3	3	3	3	3	3	3	3	3	3	3	3
OCH	3	3	3	3	3	3	3	3	3	3	3	3	3	3	3
SIE	2	2	2	2	2	2	2	2	2	2	2	2	2	2	2
SEI	2	2	2	2	2	2	2	2	2	2	2	2	2	2	2
CIN	0	0	0	1	1	1	1	1	1	1	1	1	1	1	1
CUA	0	0	0	1	1	1	1	1	1	1	1	1	1	1	1
TRK	0	0	0	1	1	1	1	1	1	1	1	1	1	1	1
DOS	1	1	1	1	1	1	1	1	1	1	1	1	1	1	1
LNU	1	1	1	1	1	1	1	1	1	1	0	0	0	0	0

/HOTEL DEL PRADO

/ANALISIS TRIDIMENSIONAL

LEVEL 226 227 228 229 230 231 232 233 234 235 236 237 238 239 240

AZ2	0	0	0	0	0	0	0	0	0	0	0	0	0	0
AZ1	0	0	0	0	0	0	0	0	0	0	0	0	0	0
AZO	4	4	4	4	4	0	4	4	4	4	4	4	4	4
ONC	4	4	4	4	4	0	4	4	4	4	4	4	4	4
DIE	4	4	4	4	4	0	4	4	4	4	4	4	4	4
NUE	3	3	3	3	3	0	3	3	3	3	3	3	3	3
OCH	3	3	3	3	3	0	3	3	3	3	3	3	3	3
SIE	3	3	3	3	3	0	2	2	2	2	2	2	2	2
SEI	2	2	2	2	2	0	2	2	2	2	2	2	2	2
CIN	2	2	2	2	2	0	2	1	1	1	1	1	1	1
CUA	2	2	2	2	2	0	2	1	1	1	1	1	1	1
TRE	1	1	1	1	1	0	1	1	1	1	1	1	1	1
DOS	1	1	0	1	1	0	1	1	1	1	1	1	1	1
UNO	0	0	0	0	0	1	1	1	1	1	1	1	1	1

LEVEL 241 242 243 244 245 246 247 248 249

AZ2	0	0	0	0	0	0	0	0	0
AZ1	0	0	0	0	0	0	0	0	0
AZO	4	4	4	4	4	4	4	4	4
ONC	4	4	4	4	4	4	4	4	4
DIE	4	4	4	4	4	4	4	4	4
NUE	3	3	3	3	3	3	3	3	3
OCH	3	3	3	3	3	3	3	3	3
SIE	3	3	3	3	3	3	3	3	3
SEI	2	2	2	2	2	2	2	2	2
CIN	1	1	2	2	2	2	2	2	2
CUA	1	1	2	2	2	2	2	2	2
TRE	1	1	1	1	1	1	1	1	1
DOS	1	1	1	1	1	0	1	1	1
UNO	1	1	0	0	0	0	0	0	0

INPUT AND/OR GENERATED COLUMN PIN ENDS

DATA SPECIFIED FOR THIS OPTION IS ALL ZERO

INPUT AND/OR GENERATED COLUMN STORY DISCONNECTIONS

DATA SPECIFIED FOR THIS OPTION IS ALL ZERO

INPUT AND/OR GENERATED BAY PROPERTY ID'S

ENRIQUE MARTINEZ ROMERO, S. A.

PAGE 32

PROGRAM: ETABS/FILE: PRADO.EKO

HOTEL DEL PRADO

ANALISIS TRIDIMENSIONAL

LEVEL

/HOTEL DEL PRADO

/ANALISIS TRIDIMENSIONAL

LEVEL	46	47	48	49	50	51	52	53	54	55	56	57	58	59	60
AZ2	0	0	0	0	0	0	0	0	0	0	0	0	0	0	0
AZ1	0	0	0	0	0	0	0	0	0	0	0	0	0	0	0
AZO	2	2	2	2	2	2	2	2	3	3	3	2	2	2	2
ONC	2	2	2	2	2	2	2	3	3	3	3	2	2	2	2
DIE	2	2	2	2	2	2	2	3	3	3	3	2	2	2	2
NUE	2	2	2	2	2	2	2	3	3	3	3	2	2	2	2
OCH	2	2	2	2	2	2	2	3	3	3	3	2	2	2	2
SIE	2	2	2	2	2	2	2	3	4	4	4	2	2	2	2
SEI	2	2	2	2	2	2	2	3	4	4	4	2	2	2	2
CIN	0	0	0	0	0	0	0	0	0	0	0	0	0	0	0
CUA	0	0	0	0	0	0	0	0	0	0	0	0	0	0	0
TRE	0	0	0	0	0	0	0	0	0	0	0	0	0	0	0
DOS	3	3	3	3	0	3	3	3	3	3	3	0	3	3	3
UNO	1	1	0	0	0	0	0	0	0	0	0	0	0	1	1
LEVEL	61	62	63	64	65	66	67	68	69	70	71	72	73	74	75
AZ2	0	0	0	0	0	0	0	0	0	0	0	0	0	0	0
AZ1	0	0	0	0	0	0	0	0	0	0	3	1	3	0	0
AZO	2	2	2	2	2	2	2	2	2	2	2	2	3	3	0
ONC	2	2	2	2	2	2	2	2	2	2	2	2	3	3	0
DIE	2	2	2	2	2	2	2	2	2	2	2	2	1	3	0
NUE	2	2	2	2	2	2	2	2	2	2	2	2	1	3	0
OCH	2	2	2	2	2	2	2	2	2	2	2	2	1	3	0
SIE	2	2	2	2	2	2	2	2	2	2	2	2	1	3	0
SEI	2	2	2	2	2	2	2	2	2	2	2	2	1	3	0
CIN	5	5	5	5	5	5	5	5	5	5	5	5	5	2	0
CUA	5	5	5	5	5	5	5	5	5	5	5	5	3	2	0
TRE	3	3	3	3	3	3	3	3	3	3	3	3	3	2	0
DOS	3	3	3	3	3	3	3	3	3	3	3	3	3	3	0
UNO	1	1	1	1	1	1	1	1	1	1	1	1	3	0	0
LEVEL	76	77	78	79	80	81	82	83	84	85	86	87	88	89	90
AZ2	0	0	0	0	0	0	0	0	0	0	0	0	0	0	0
AZ1	0	0	0	0	0	0	0	0	0	0	0	0	0	0	0
AZO	2	2	2	2	2	2	2	2	2	2	2	2	2	2	2
ONC	2	2	2	2	2	2	2	2	2	2	2	2	2	2	2
DIE	2	2	2	2	2	2	2	2	2	2	2	2	2	2	2
NUE	2	2	2	2	2	2	2	2	2	2	2	2	2	2	2
OCH	2	2	2	2	2	2	2	2	2	2	2	2	2	2	2
SIE	2	2	2	2	2	2	2	2	2	2	2	2	1	1	1
SEI	2	2	2	2	2	2	2	2	2	2	2	2	1	1	1
CIN	2	2	2	2	2	2	2	2	2	2	2	2	3	3	3
CUA	2	2	2	2	2	2	2	2	2	2	2	2	3	3	3
TRE	2	2	3	3	0	5	5	5	5	5	5	5	5	5	5
DOS	0	3	3	0	1	1	1	1	1	1	0	0	3	3	3
UNO	0	0	1	1	1	1	1	1	1	0	0	3	3	3	3

/HOTEL DEL PRADO

/ANALISIS TRIDIMENSIONAL

LEVEL 91 92 93 94 95 96 97 98 99 100 101 102 103 104 105

AZ2	3	0	0	0	0	0	0	0	0	0	0	0	0	0
AZ1	3	0	3	0	0	0	0	0	0	0	0	0	0	0
AZO	3	3	3	0	0	0	0	0	0	0	0	0	0	0
ONC	3	3	3	0	0	0	0	0	0	0	0	0	0	0
DIE	3	3	3	0	0	0	0	0	0	0	0	0	0	0
NUE	3	3	3	0	0	0	0	0	0	0	0	0	0	0
OCH	3	3	3	0	0	0	0	0	0	0	0	0	0	0
SIE	3	3	3	0	0	0	0	0	0	0	0	0	0	0
SEI	3	3	3	0	0	0	0	0	0	0	0	0	0	0
CIN	3	3	3	0	0	0	0	0	0	0	0	0	0	0
CUA	3	3	3	0	0	3	3	7	0	0	0	0	0	0
TRE	3	0	3	0	3	3	0	0	0	0	0	0	0	0
DOS	3	5	5	5	0	0	0	5	5	5	0	0	0	5
UNO	2	0	0	0	0	0	1	1	1	1	0	1	1	0

LEVEL 106 107 108 109 110 111 112 113 114 115 116 117 118 119 120

AZ2	0	0	0	0	0	0	3	0	0	0	0	0	0	0
AZ1	0	0	0	0	0	0	3	0	3	0	0	0	0	0
AZO	0	0	0	0	0	0	3	3	3	0	0	0	0	0
ONC	0	0	0	0	0	0	3	3	3	0	0	0	0	0
DIE	0	0	0	0	0	0	3	3	3	0	0	0	0	0
NUE	0	0	0	0	0	0	3	3	3	0	0	0	0	0
OCH	0	0	0	0	0	0	3	3	3	0	0	0	0	0
SIE	0	0	0	0	0	0	3	3	3	0	0	0	0	0
SEI	0	0	0	0	0	0	3	3	3	0	0	0	0	0
CIN	0	0	0	0	0	7	3	3	3	0	0	0	0	0
CUA	0	0	0	0	0	3	3	3	3	0	3	3	0	0
TRE	0	0	0	0	0	3	3	3	0	3	3	0	0	0
DOS	5	5	5	0	5	3	5	5	5	0	0	5	0	5
UNO	0	0	0	0	0	3	0	0	0	0	0	0	0	0

LEVEL 121 122 123 124 125 126 127 128 129 130 131 132 133 134 135

AZ2	0	0	0	0	0	0	0	0	3	0	0	0	0	0
AZ1	0	0	0	0	0	0	0	0	3	0	0	0	0	0
AZO	0	0	0	0	0	0	0	0	3	3	3	0	0	0
ONC	0	0	0	0	0	0	0	0	3	3	1	0	0	0
DIE	0	0	0	0	0	0	0	0	3	3	1	0	0	0
NUE	0	0	0	0	0	0	0	0	3	3	1	0	0	0
OCH	0	0	0	0	0	0	0	0	3	3	1	0	0	0
SIE	0	0	0	0	0	0	0	0	3	3	1	0	0	0
SEI	0	0	0	0	0	0	0	0	3	3	3	0	0	0
CIN	0	7	0	0	0	0	0	7	3	3	3	3	0	0
CUA	0	7	0	0	0	0	0	0	3	3	3	3	0	0
TRE	0	0	0	0	0	0	0	0	3	3	0	0	3	3
DOS	5	0	5	5	5	5	0	0	5	3	5	5	0	5
UNO	0	0	0	0	0	0	0	0	3	0	0	0	0	0

**/HOTEL DEL PRADO
/ANALISIS TRIDIMENSIONAL**

ANALYSIS TRIDIMENSIONAL

LEVEL 151 152 153 154 155 156 157 158 159 160 161 162 163 164 165

LEVEL 166 167 168 169 170 171 172 173 174 175 176 177 178 179 180

/HOTEL DEL PRADO
 /ANALISIS TRIDIMENSIONAL
 LEVEL

	181	182	183	184	185	186	187	188	189	190	191	192	193	194	195
--	-----	-----	-----	-----	-----	-----	-----	-----	-----	-----	-----	-----	-----	-----	-----

AZ2	0	0	0	0	0	0	0	3	0	0	0	0	0	0	0
AZ1	0	0	0	0	0	0	0	3	0	3	0	0	0	0	0
AZO	0	0	0	0	0	0	0	3	3	3	0	0	0	0	0
ONC	0	0	0	0	0	0	0	3	3	3	0	0	0	0	0
DIE	0	0	0	0	0	0	0	3	3	3	0	0	0	0	0
NUE	0	0	0	0	0	0	0	3	3	3	0	0	0	0	0
OCH	0	0	0	0	0	0	0	3	3	3	0	0	0	0	0
SIE	0	0	0	0	0	0	0	3	3	3	0	0	0	0	0
SEI	0	0	0	0	0	0	0	3	3	3	0	0	0	0	0
CIN	0	1	5	5	5	5	5	3	3	3	0	0	0	0	0
CUA	7	0	3	3	3	3	3	3	3	3	0	0	0	0	0
TRE	0	0	3	3	3	3	3	3	3	3	0	0	0	0	0
DOS	0	0	5	5	5	5	5	3	5	5	0	0	0	0	0
UNO	0	0	0	0	0	0	0	3	0	0	0	0	1	1	1

LEVEL	196	197	198	199	200	201	202	203	204	205	206	207	208	209	210
AZ2	0	0	0	0	0	0	0	0	0	0	0	0	0	0	0
AZ1	0	2	2	2	2	2	2	2	2	2	2	2	2	0	0
AZO	2	2	2	2	2	2	2	2	2	2	1	1	1	0	0
ONC	2	2	2	2	2	2	2	2	2	2	1	1	1	0	0
DIE	2	2	2	2	2	2	2	2	2	2	1	1	1	0	0
NUE	2	2	2	2	2	2	2	2	2	2	1	1	1	0	0
OCH	2	2	2	2	2	2	2	2	2	2	1	1	1	0	0
SIE	2	2	2	2	2	2	2	2	2	2	1	1	1	0	0
SEI	2	2	2	2	2	2	2	2	2	2	4	4	4	0	0
CIN	3	3	3	3	3	3	3	3	3	3	3	3	3	0	0
CUA	3	3	3	3	3	3	3	3	3	3	2	2	2	0	0
TRE	0	0	3	3	3	3	3	3	3	3	2	0	0	0	0
DOS	3	3	3	3	3	3	3	3	3	3	3	3	3	0	0
UNO	1	1	2	2	2	2	2	2	2	2	0	0	0	0	0

LEVEL	211	212	213	214	215	216	217	218	219	220	221	222	223	224	225
AZ2	0	0	0	0	0	0	0	0	0	0	0	0	0	0	0
AZ1	0	0	2	2	2	2	2	2	0	0	0	0	0	0	0
AZO	2	0	2	2	2	2	2	2	2	2	2	2	2	2	3
ONC	2	2	0	2	2	2	2	2	2	2	2	2	2	2	3
DIE	2	0	2	2	2	2	2	2	2	2	2	2	2	2	3
NUE	2	0	2	2	2	2	2	2	2	2	2	2	2	2	3
OCH	2	0	2	2	2	2	2	2	2	2	2	2	2	2	3
SIE	2	0	2	2	2	2	2	2	2	2	2	2	2	2	3
SEI	2	3	2	2	2	2	0	0	0	7	3	3	3	3	4
CIN	2	3	0	0	0	0	0	0	0	1	3	3	3	2	2
CUA	2	3	0	0	0	0	0	0	0	0	3	3	3	3	3
TRE	3	0	3	3	3	3	1	1	0	0	3	3	3	3	0
DOS	3	3	3	3	3	3	1	1	0	0	3	3	3	3	0
UNO	0	1	1	1	1	1	1	1	0	0	2	2	2	2	0

ENRIQUE MARTINEZ ROMERO, S. A.

PAGE 37

PROGRAM: ETABS/FILE: PRADO.EKO

/HOTEL DEL PRADO
/ANALISIS TRIDIMENSIONAL
LEVEL 226 227 228 2

HOTEL DEL PRADO

ANALISIS TRIDIMENSIONAL

LEVEL

LEVEL 286 287 288 289 290 291 292 293 294 295 296 297 298 299 300

LEVEL 301 302 303 304 305 306 307 308 309 310 311 312 313 314 315

AZ2
AZ1
AZ0
ONC
DIE
NUR
OCH
SIE
SEI
CIN
CUA
TRE
DOS
LNO

/HOTEL DEL PRADO
/ANALISIS TRIDIMENSIONAL
LEVEL 316 317 318 3

LEVEL	316	317	318	319	320	321	322	323	324	325	326	327	328	329	330
AZ2	0	0	0	0	0	0	0	0	0	0	0	0	0	0	0
AZ1	0	0	0	0	0	0	0	0	0	0	0	0	0	0	0
AZO	0	3	3	3	0	0	0	0	0	0	0	0	0	3	3
ONC	0	3	3	3	0	0	0	0	0	0	0	0	0	0	3
DIE	0	3	3	3	3	0	0	0	0	0	0	0	0	0	3
NUE	0	3	3	3	3	0	0	0	0	0	0	0	0	0	3
OCH	0	3	3	3	3	0	0	0	0	0	0	0	0	0	3
SIE	0	3	3	3	3	0	0	0	0	0	0	0	0	0	3
SEI	0	3	3	3	3	0	0	0	0	0	0	0	0	0	3
CIN	7	0	0	0	0	7	7	0	0	0	0	0	0	0	0
CUA	0	0	0	0	0	7	7	0	0	0	0	0	0	0	3
TRE	0	0	0	0	0	0	0	0	0	0	0	0	0	0	1
DOS	0	1	1	1	1	0	1	1	5	5	5	1	1	0	1
UNO	0	3	3	3	0	0	0	0	0	0	3	3	0	0	3
LEVEL	331	332	333	334	335	336	337	338	339	340	341	342	343	344	345
AZ2	0	0	0	0	0	0	0	0	0	0	0	0	0	0	0
AZ1	0	0	0	0	0	0	0	0	0	0	0	0	0	0	0
AZO	3	3	0	3	3	3	3	0	0	0	0	0	0	0	0
ONC	3	3	0	3	3	3	3	0	0	0	0	0	0	0	0
DIE	3	3	0	3	3	3	3	0	0	0	0	0	0	0	0
NUE	3	3	0	3	3	3	3	0	0	0	0	0	0	0	0
OCH	3	3	0	3	3	3	3	0	0	0	0	0	0	0	0
SIE	3	3	0	3	3	3	3	0	0	0	0	0	0	0	0
SEI	3	3	0	3	3	3	3	0	0	0	0	0	0	0	0
CIN	0	0	7	0	0	0	0	0	7	1	1	0	1	1	0
CUA	0	0	0	0	0	0	0	0	7	0	0	0	0	7	0
TRE	3	3	0	0	0	1	1	1	0	0	1	0	0	5	0
DOS	1	3	0	3	3	3	3	0	0	0	0	0	0	0	3
UNO	3	0	0	3	3	3	3	0	0	0	0	0	0	0	3
LEVEL	346	347	348	349	350	351	352	353	354	355	356	357	358	359	360
AZ2	0	0	0	0	0	0	0	0	0	0	0	0	0	0	0
AZ1	0	0	0	0	0	0	0	0	0	0	0	0	0	0	0
AZO	0	0	3	3	3	3	0	3	3	3	3	0	0	0	0
ONC	0	0	3	3	3	3	0	3	3	3	3	0	0	0	0
DIE	0	0	3	3	3	3	0	3	3	3	3	0	0	0	0
NUE	0	0	3	3	3	3	0	3	3	3	3	0	0	0	0
OCH	0	0	3	3	3	3	0	3	3	3	3	0	0	0	0
SIE	0	0	3	3	3	3	0	3	3	3	3	0	0	0	0
SEI	0	0	3	3	3	3	0	3	3	3	3	0	0	0	0
CIN	1	0	0	0	0	0	0	7	3	3	3	1	0	0	0
CUA	1	0	7	0	0	0	0	0	3	3	3	1	0	0	0
TRE	0	0	0	0	0	1	1	1	0	0	1	1	0	5	0
DOS	1	0	0	1	1	1	1	0	0	1	1	1	0	0	1
UNO	3	0	0	3	3	3	3	0	0	3	3	3	0	0	3

ENRIQUE MARTINEZ ROMERO, S. A.

PAGE 40

PROGRAM: ETABS / FILE: PRADO.EKO

HOTEL DEL PRADO

ANALISIS TRIDIMENSIONAL

LEVEL 361 362 363 364 365 366 367 368 369 370 371 372 373 374 375

AZ2
AZ1
AZO
ONC
DIE
NUE
OCH
SIE
SSI
CIN
CUA
TRE
DOS
UNO

LEVEL 376 377 378 379 380 381 382 383 384 385 386 387 388 389 390

AZ2 AZ1 AZO ONC DIE NUE OCH SIE SEI CIN CUA TRE DOS UNO

LEVEL: 391 392 393 394 395 396 397 398 399 400 401 402 403 404 405

AZ2	0	0	0	0	0	0	0	0	0	0	0	0	0
AZ1	0	0	0	0	0	0	0	0	0	0	0	0	0
AZO	0	0	0	0	0	0	0	0	0	0	0	0	0
ONO	0	0	0	0	0	0	0	0	0	0	0	0	0
DIE	0	0	0	0	0	0	0	0	0	0	0	0	0
NUE	0	0	0	0	0	0	0	0	0	0	0	0	0
OCH	0	0	0	0	0	0	0	0	0	0	0	0	0
SIE	0	0	0	0	0	0	0	0	0	0	0	0	0
SEI	0	0	0	0	0	0	0	0	0	0	0	0	0
CIN	0	0	0	0	0	0	0	0	0	0	0	0	0
CUA	7	0	0	0	0	0	0	0	0	0	0	0	0
TRE	5	0	0	0	0	0	0	0	0	0	0	0	0
DOS	0	1	0	1	1	0	1	0	1	0	1	0	1
UNO	1	3	1	3	3	0	1	3	1	3	0	5	0

/HOTEL DEL PRADO

/ANALISIS TRIDIMENSIONAL

LEVEL 406 407 408 409 410 411 412 413 414 415 416 417 418 419 420

AZ2	0	0	0	0	0	0	0	0	0	0	0	0	0	0	0
AZ1	0	0	0	0	0	0	0	0	0	0	0	0	0	0	0
AZO	0	3	3	3	3	3	3	3	3	0	0	0	0	0	0
ONC	0	3	3	3	3	3	3	3	3	0	0	0	0	0	0
DIE	0	3	3	3	3	3	3	3	3	0	0	0	0	0	0
NUE	0	3	3	3	3	3	3	3	3	0	0	0	0	0	0
OCH	0	3	3	3	3	3	3	3	3	0	0	0	0	0	0
SIE	0	3	3	3	3	3	3	3	3	0	0	0	0	0	0
SEI	0	3	3	3	3	3	3	3	3	0	0	0	0	0	0
CIN	7	6	6	6	6	6	6	6	6	0	0	0	0	7	6
CUA	5	2	2	2	2	2	2	2	2	2	0	0	0	0	5
TRE	0	0	0	0	0	0	0	0	0	0	0	0	0	0	0
DOS	1	1	1	1	1	1	1	1	1	1	5	5	5	3	3
UNO	3	0	0	0	0	3	3	3	3	0	0	0	0	0	3

LEVEL 421 422 423 424 425 426 427 428 429 430 431 432 433 434 435

AZ2	0	0	0	0	0	0	0	0	0	0	0	0	0	0	0
AZ1	0	0	0	0	0	0	0	0	0	0	0	0	0	0	0
AZO	3	3	3	3	3	3	3	3	3	0	0	0	0	3	3
ONC	3	3	3	3	3	3	3	3	3	0	0	0	0	3	3
DIE	3	3	3	3	3	3	3	3	3	0	0	0	0	3	3
NUE	3	3	3	3	3	3	3	3	3	0	0	0	0	3	3
OCH	3	3	3	3	3	3	3	3	3	0	0	0	0	3	3
SIE	3	3	3	3	3	3	3	3	3	0	0	0	0	3	3
SEI	3	3	3	3	3	3	3	3	3	0	0	0	0	3	3
CIN	6	6	6	6	6	6	6	6	6	3	3	3	3	6	6
CUA	0	0	0	0	0	3	3	3	3	3	3	3	3	5	5
TRE	0	0	0	0	0	3	3	3	3	3	3	3	3	3	3
DOS	3	3	3	3	3	3	3	3	3	3	3	3	3	3	3
UNO	0	0	0	0	3	3	3	3	0	0	0	0	0	0	0

LEVEL 436 437 438 439 440 441 442 443 444 445 446 447 448 449 450

AZ2	0	0	0	0	0	3	3	0	3	3	0	0	0	0	0
AZ1	0	0	0	3	3	3	3	0	3	3	3	3	0	0	0
AZO	3	3	3	3	3	3	3	3	1	3	3	3	3	3	3
ONC	3	3	3	3	3	3	3	3	3	3	3	3	3	3	3
DIE	3	3	3	3	3	3	3	3	3	3	3	3	3	3	3
NUE	3	3	3	3	3	3	3	3	3	3	3	3	3	3	3
OCH	3	3	3	3	3	3	3	3	3	3	3	3	3	3	3
SIE	3	3	3	3	3	3	3	3	3	3	3	3	3	3	3
SEI	3	3	3	3	3	3	3	3	3	3	3	3	3	3	3
CIN	6	3	3	3	3	3	3	3	3	3	3	6	6	6	3
CUA	5	3	3	3	3	3	3	3	3	3	3	6	6	6	3
TRE	3	3	3	3	3	3	3	3	3	0	3	3	3	3	3
DOS	3	3	3	3	3	3	3	3	3	3	3	3	3	3	3
UNO	0	3	3	3	3	4	4	4	4	4	4	3	0	0	0

ENRIQUE MARTINEZ ROMERO, S. A.

PAGE 43
PROGRAM: ETABS/FILE: PRADO.EKO

/HOTEL DEL PRADO
/ANALISIS TRIDIMENSIONAL

LEVEL 496 497 498 499 500 501 502 503 504 505 506 507 508 509 510

AZ2	0	0	0	0	0	0	0	0	0	0	0	0	0	0
AZ1	0	0	0	0	0	0	0	0	0	0	0	0	0	0
AZO	0	0	0	0	0	3	3	3	3	3	3	3	0	0
ONC	0	0	0	0	0	3	3	3	3	3	3	3	0	0
DIE	0	0	0	0	0	3	3	3	3	3	3	3	0	0
NUE	0	0	0	0	0	3	3	3	3	3	3	3	0	0
OCH	0	0	0	0	0	3	3	3	3	3	3	3	0	0
SIE	0	0	0	0	0	3	3	3	3	3	3	3	0	0
SEI	0	0	0	0	0	3	3	3	3	3	3	3	0	0
CIN	0	0	0	0	0	3	3	3	3	3	3	3	0	0
CUA	3	0	3	3	3	3	3	3	3	3	3	3	3	0
TRE	3	0	3	3	3	3	3	3	3	3	3	5	5	0
DOS	3	3	3	3	3	3	3	3	3	3	3	3	3	3
UNO	0	0	0	0	0	0	0	0	0	0	0	0	0	0

LEVEL 511 512 513 514 515 516 517 518 519 520 521 522 523

AZ2	0	0	0	0	0	0	0	0	0	0	0	0	0
AZ1	0	0	0	0	0	0	0	0	0	0	0	0	0
AZO	0	0	0	3	3	3	3	3	3	3	3	3	3
ONC	0	0	0	3	3	3	3	3	3	3	3	3	3
DIE	0	0	0	3	3	3	3	3	3	3	3	3	3
NUE	0	0	0	3	3	3	3	3	3	3	3	3	3
OCH	0	0	0	3	3	3	3	3	3	3	3	3	3
SIE	0	0	0	3	3	3	3	3	3	3	3	3	3
SEI	0	0	0	3	3	3	3	3	3	3	3	3	3
CIN	0	0	0	3	3	3	3	3	3	3	3	3	3
CUA	3	3	3	3	3	3	3	3	3	3	3	3	3
TRE	5	5	5	3	3	3	3	3	3	3	3	3	3
DOS	3	3	3	3	3	3	3	3	3	3	3	3	3
UNO	0	0	0	0	0	0	0	0	0	0	0	0	0

INPUT AND/OR GENERATED BAY PIN ENDS

DATA SPECIFIED FOR THIS OPTION IS ALL ZERO

LOAD CASE DEFINITION DATA

LOAD LABS	I	II	III	A	B	DYN-1	DYN-2	DYN-3
1	0	.000	.000	.000	.000	.000	1.000	1.000

ENRIQUE MARTINEZ ROMERO, S. A.

PAGE 44

/HOTEL DEL PRADO

/ANALISIS TRIDIMENSIONAL

PROGRAM: ETABS/FILE: PRADO.EKO

FRAME VERTICAL LOADING AND SELF WEIGHTS

LEVEL	--VERTICAL LOAD CONDITION--/			ELEMENT SELF WEIGHTS-----/			
ID	I	II	III	COLUMN	BEAM	BRACE	PANEL
AZ2	.0	.0	.0	1912.2	3021.1	.0	.0
AZ1	.0	.0	.0	6374.1	12858.7	.0	.0
AZO	.0	.0	.0	21210.2	56691.3	.0	.0
ONC	.0	.0	.0	21210.2	57118.0	.0	.0
DIE	.0	.0	.0	21210.2	57118.0	.0	.0
NUE	.0	.0	.0	52326.1	56438.1	.0	.0
OCH	.0	.0	.0	52326.1	56438.1	.0	.0
SIE	.0	.0	.0	81201.0	55903.5	.0	.0
SEI	.0	.0	.0	93530.0	63856.0	.0	.0
CIN	.0	.0	.0	174059.8	484033.4	.0	.0
CUA	.0	.0	.0	115147.4	303510.9	.0	.0
TRE	.0	.0	.0	122718.0	51424.9	.0	.0
DOS	.0	.0	.0	207604.6	87448.4	.0	.0
UNO	.0	.0	.0	56547.3	44420.9	.0	.0
TOTALS	.0	.0	.0	1027377.1	1390281.5	.0	.0

FRAME POSITION DATA

FRAME FRAME OUTPT /----FRAME ORIENTATION----/ /----FRAME HEADING----/
COUNT ID CODE X-ORD Y-ORD ANGLE
1 1 0 .00 .00 .000 /MARCO PRINCIPAL

DYNAMIC RESPONSE SPECTRUM ANALYSIS

ESPECTRO DE RESPUESTA

NUMBER OF EXCITATION DIRECTIONS----- 2

NUMBER OF POINTS ON SPECTRUM CURVE----- 30

MODAL COMBINATION TECHNIQUE----- CGC

SCALE FACTOR FOR SPECTRUM CURVE----- .010

DAMPING ASSOCIATED WITH SPECTRUM CURVE----- .050

DYNAMIC EXCITATION DIRECTIONS

DIRECTION FOR DYNAMIC LOAD CONDITION 1----- .000

DIRECTION FOR DYNAMIC LOAD CONDITION 2----- 90.000

ENRIQUE MARTINEZ ROMERO, S. A.

/HOTEL DEL PRADO
/ANALISIS TRIDIMENSIONAL

PAGE 45
PROGRAM: ETABS/FILE: PRADO.EKO

RESPONSE SPECTRUM CURVE DATA

POINT NO	TIME PERIOD	SPECTRAL ACCELERATION
1	.100	172.000
2	.200	184.000
3	.300	239.000
4	.400	210.000
5	.500	254.000
6	.700	351.000
7	.900	241.000
8	1.000	236.000
9	1.200	268.000
10	1.400	324.000
11	1.600	457.000
12	1.800	659.000
13	2.000	984.000
14	2.200	761.000
15	2.400	694.000
16	2.600	713.000
17	2.800	566.000
18	3.000	318.000
19	3.400	195.000
20	3.800	128.000
21	4.200	98.000
22	4.600	56.000
23	5.000	43.000
24	5.800	37.000
25	6.200	33.000
26	7.000	32.000
27	8.200	19.000
28	9.000	19.000
29	10.000	18.000
30	14.000	7.000

FOR DYNAMICS BY THE RESPONSE SPECTRUM METHOD

DYNAMIC 1 . . . SPECTRAL DIRECTION 1
DYNAMIC 2 . . . SPECTRAL DIRECTION 2
DYNAMIC 3 . . . SPECTRAL DIRECTION 3

FOR DYNAMICS BY THE TIME HISTORY METHOD

DYNAMIC 1 . . . TIME HISTORY MODAL ANALYSIS
DYNAMIC 2 . . . NOT USED
DYNAMIC 3 . . . NOT USED

V.- ESTUDIO DEL COMPORTAMIENTO SISMICO

El problema tridimensional representó un sistema estructural de 10765 grados de libertad, el cuál agotó la capacidad del disco duro de 30 Megabytes de la computadora disponible, con 1024 Kb de memoria RAM. Por lo que se elaboró en dicha computadora el pre-procesamiento de los datos y se transmitieron por medio de un Modem a la computadora "main frame" de Computers and Structures, Inc., en Berkeley Calif., donde se realizó el procesamiento completo.

Según los resultados proporcionados por la corrida del programa, nos enfocamos principalmente a comprender el comportamiento sismico que tuvo la estructura poniendo especial atención al periodo fundamental de vibración del edificio, los diferentes modos de vibrar, los desplazamientos y los elementos mecánicos predominantes que actuaron en los elementos estructurales.

El programa proporcionó un gran volumen de resultados, sin embargo se consideraron los indicadores más importantes mencionados anteriormente.

Se presentan reproducciones de algunos de los resultados como es el periodo natural de vibración, que es de aproximadamente 2.7 segundos y los periodos correspondientes a modos superiores. Se calcularon seis periodos y no los catorce posibles que pudieron haberse obtenido, tomando en cuenta que una de las ventajas del Análisis Modal reside en que sólo es necesario determinar las respuestas debidas a unos cuantos de los primeros modos, porque en general la contribución de la

respuesta total de edificios que se debe a modos superiores es muy pequeña, es decir sus coeficientes de participación son menores.

Por otra parte, el Reglamento especifica que deben considerarse cuando menos 3 modos de vibración en cada dirección y que tienen que tomarse todos aquellos modos con períodos mayores de 0.4 segundos.

El periodo fundamental de vibración de la estructura obtenido, representa un valor elevado, debido a que la estructura es muy esbelta y flexible, sin embargo hay que tomar en cuenta que en el análisis no se consideró la existencia de muros de relleno como parte de la estructura porque se pretende reemplazarlos por contraventos excéntricos y/o elastómeros, en el probable caso de convenir su reparación. Este tema solo lo discutiremos superficialmente por ser motivo de otro trabajo. Desde luego que se reconoce que los muros en un momento dado pudieron actuar como muros de cortante absorbiendo gran parte del efecto sísmico, dando mayor rigidez a la estructura y reduciendo su periodo fundamental considerablemente, probablemente por debajo a los dos segundos, evitando entrar en una resonancia dinámica. El mismo caso se observó en gran parte de los edificios ubicados en la zona de mayor daño, donde los muros divisorios jugaron un papel preponderante para evitar su colapso.

En la hoja siguiente se presentan los períodos y frecuencias obtenidos y sus coeficientes de participación.

COMPUTERS AND STRUCTURES, INC.

PAGE 1
PROGRAM: ETABS/FILE: PRADO.EIG/HOTEL DEL PRADO
/ANALISIS TRIDIMENSIONAL

STRUCTURAL TIME PERIODS AND FREQUENCIES

MODE NUMBER	PERIOD (TIME)	FREQUENCY (CYCLES/UNIT TIME)	CIRCULAR/FREQ (RADIAN/UNIT TIME)
1	2.69304	0.37133	2.33312
2	2.38237	0.41973	2.63737
3	1.69789	0.58897	3.70059
4	0.88928	1.12450	7.06544
5	0.86800	1.15208	7.23873
6	0.74462	1.34296	8.43809

MODAL PARTICIPATION FACTORS

MODE NUMBER	X-TRANS DIRECTION	Y-TRANS DIRECTION	Z-ROTN DIRECTION
1	119.92696	341.71856	20239.55035
2	-1049.13919	137.33016	1028.67174
3	-70.35262	-637.16367	24769.61286
4	-18.36979	-361.96703	-8344.47417
5	523.86635	-30.60703	-183.59920
6	18.50989	378.08605	-12577.97668

EFFECTIVE MASS FACTORS

MODE NUMBER	/--X TRANSLATION--//--Y TRANSLATION--//---Z ROTATION---	X-MASS <X-SUM>	X-MASS <X-SUM>	X-MASS <X-SUM>
1	0.91 < 0.9>	45.01 < 45.0>	29.24 < 29.2>	
2	65.93 < 70.8>	1.20 < 46.2>	0.08 < 29.3>	
3	0.31 < 71.2>	25.79 < 72.0>	43.80 < 73.1>	
4	0.02 < 71.2>	8.32 < 80.3>	4.97 < 78.1>	
5	17.43 < 88.6>	0.06 < 80.4>	0.00 < 78.1>	
6	0.02 < 88.6>	9.08 < 89.5>	11.29 < 89.4>	

MODAL DIRECTION FACTORS

MODE NUMBER	X-TRANS DIRECTION	Y-TRANS DIRECTION	Z-ROTN DIRECTION
1	1.47696	61.72774	36.79530
2	98.25136	1.66682	0.08181
3	0.39370	36.72973	62.87657
4	0.49445	66.48081	33.02474
5	99.62708	0.25722	0.11570
6	0.47805	35.27859	64.24336

Con respecto a los modos de vibración se presentan los valores obtenidos por el programa así como sus configuraciones correspondientes a cada uno de los seis modos tanto en el sentido X como en el sentido Y.

Hay que recordar que una estructura tiene tantas maneras de vibrar como número de masas, que al primer modo o fundamental, corresponde el valor máximo del periodo y se caracteriza porque la configuración del modo no presenta ningún punto de inflexión; al pasar al segundo y tercer modo de vibrar el periodo decrece y el número de puntos de inflexión aumenta a uno y dos respectivamente, es decir; para el modo n corresponde $n-1$ puntos de inflexión.

Lo anterior es válido para un análisis de un sistema simple en dos dimensiones pero por tratarse en el presente trabajo de un análisis tridimensional, en las configuraciones modales interviene una componente rotacional alrededor del eje vertical Z y se puede observar que los puntos de inflexión no coinciden con el grado del modo en cuestión. Cabe señalar que el programa considera que la estructura en tres dimensiones sufre desplazamientos y que al mismo tiempo se producen rotaciones en sus masas.

/HOTEL DEL PRADO
/ANALISIS TRIDIMENSIONAL

STRUCTURAL MODE SHAPES

VALUES ARE AT THE CENTERS OF MASS OF THE
CORRESPONDING LEVELS IN GLOBAL COORDINATES

LEVEL ID	DIRN ID	MODE 1	MODE 2	MODE 3	MODE 4	MODE 5
AZ2	X	0.00015	-0.00161	-0.00015	0.00010	-0.00250
AZ2	Y	0.00127	0.00021	-0.00087	0.00209	0.00010
AZ2	ROTZ	0.00003	0.00000	0.00005	0.00004	0.00000
AZ1	X	0.00014	-0.00154	-0.00014	0.00008	-0.00192
AZ1	Y	0.00139	0.00021	-0.00057	0.00189	0.00009
AZ1	ROTZ	0.00003	0.00000	0.00004	0.00003	0.00000
AZO	X	0.00017	-0.00137	-0.00007	0.00009	-0.00117
AZO	Y	0.00103	0.00018	-0.00091	0.00104	0.00005
AZO	ROTZ	0.00003	0.00000	0.00004	0.00003	0.00000
ONC	X	0.00016	-0.00127	-0.00006	0.00006	-0.00076
ONC	Y	0.00096	0.00017	-0.00083	0.00268	0.00003
ONC	ROTZ	0.00002	0.00000	0.00004	0.00002	0.00000
DIE	X	0.00014	-0.00112	-0.00006	0.00001	-0.00019
DIE	Y	0.00087	0.00015	-0.00071	0.00016	0.00001
DIE	ROTZ	0.00002	0.00000	0.00003	0.00001	0.00000
NUE	X	0.00012	-0.00095	-0.00005	-0.00004	0.00042
NUE	Y	0.00076	0.00012	-0.00036	-0.00036	-0.00002
NUE	ROTZ	0.00002	0.00000	0.00002	-0.00001	0.00000
OCH	X	0.00011	-0.00082	-0.00004	-0.00006	0.00070
OCH	Y	0.00068	0.00010	-0.00045	-0.00057	-0.00003
OCH	ROTZ	0.00002	0.00000	0.00002	-0.00001	0.00000
SIE	X	0.00009	-0.00068	-0.00004	-0.00007	0.00089
SIE	Y	0.00059	0.00009	-0.00035	-0.00072	-0.00004
SIE	ROTZ	0.00002	0.00000	0.00002	-0.00002	0.00000
SEI	X	0.00008	-0.00055	-0.00003	-0.00008	0.00097
SEI	Y	0.00049	0.00007	-0.00029	-0.00075	-0.00004
SEI	ROTZ	0.00001	0.00000	0.00001	-0.00002	0.00000
CIM	X	0.00006	-0.00045	-0.00003	-0.00006	0.00096
CIM	Y	0.00033	0.00005	-0.00031	-0.00063	-0.00004
CIM	ROTZ	0.00001	0.00000	0.00001	-0.00002	-0.00000
CUA	X	-0.00001	-0.00034	-0.00007	0.00003	0.00082
CUA	Y	0.00028	0.00005	-0.00022	-0.00062	-0.00005
CUA	ROTZ	0.00001	0.00000	0.00001	-0.00002	-0.00000

/HOTEL DEL PRADO
 /ANALISIS TRIDIMENSIONAL

LEVEL	DIRN	MODE 1	MODE 2	MODE 3	MODE 4	MODE 5
ID	ID					
TRE	X	-0.00001	-0.00025	-0.00006	0.00004	0.00067
TRE	Y	0.00026	0.00004	-0.00011	-0.00064	-0.00006
TRE	ROTZ	0.00001	0.00000	0.00001	-0.00001	-0.00000
DOS	X	0.00002	-0.00015	-0.00001	-0.00003	0.00045
DOS	Y	0.00013	0.00002	-0.00012	-0.00036	-0.00003
DOS	ROTZ	0.00000	0.00000	0.00000	-0.00001	-0.00000
UNO	X	0.00000	-0.00003	-0.00000	-0.00000	0.00009
UNO	Y	0.00001	0.00000	-0.00004	-0.00005	-0.00000
UNO	ROTZ	0.00000	0.00000	0.00000	-0.00000	-0.00000
LEVEL	DIRN	MODE 6				
ID	ID					
AZZ	X	-0.00007				
AZZ	Y	-0.00124				
AZZ	ROTZ	0.00008				
AZ1	X	-0.00005				
AZ1	Y	-0.00058				
AZ1	ROTZ	0.00006				
AZO	X	0.00003				
AZO	Y	-0.00065				
AZO	ROTZ	0.00003				
ONC	X	0.00001				
ONC	Y	-0.00041				
ONC	ROTZ	0.00002				
LEVEL	DIRN	MODE 6				
ID	ID					
DIE	X	-0.00002	CIN	X	0.00000	
DIE	Y	-0.00005	CIN	Y	0.00071	
DIE	ROTZ	0.00001	CIN	ROTZ	-0.00002	
NUE	X	-0.00004	CUA	X	0.00013	
NUE	Y	0.00031	CUA	Y	0.00053	
NUE	ROTZ	-0.00001	CUA	ROTZ	-0.00002	
OCH	X	-0.00004	TRE	X	0.00013	
OCH	Y	0.00043	TRE	Y	0.00027	
OCH	ROTZ	-0.00002	TRE	ROTZ	-0.00002	
SIE	X	-0.00004	DOS	X	0.00001	
SIE	Y	0.00050	DOS	Y	0.00032	
SIE	ROTZ	-0.00002	DOS	ROTZ	-0.00001	
SEI	X	-0.00002	UNO	X	0.00001	
SEI	Y	0.00055	UNO	Y	0.00011	
SEI	ROTZ	-0.00003	UNO	ROTZ	-0.00000	

MODOS DE VIBRAR

AZ2 0.00015

AZ1

AZ0

ONC

DIE

NUE

OCH

SIE

SEI

CIN

CUA

TRE

DOS

UNO

0.00015

AZ2 0.00127

AZ1

AZ0

ONC

DIE

NUE

OCH

SIE

SEI

CIN

CUA

TRE

DOS

UNO

0.00127

SENTIDO X

SENTIDO Y

MODO 1

MODOS DE VIBRAR

AZ2 -0.00161

AZ1

AZ0

ONC

DIE

NUE

OCH

SIE

SEI

CIN

CUA

TRE

DOS

UNO

AZ2

AZ1

AZ0

ONC

DIE

NUE

OCH

SIE

SEI

CIN

CUA

TRE

DOS

UNO

0.00021

SENTIDO X

SENTIDO Y

MODO 2

MODOS DE VIBRAR

AZ2 -0.00015

AZ1

AZ0

ONC

DIE

NUE

OCH

SIE

SEI

CIN

CUA

TRE

DOS

UNO

SENTIDO X

MODO 3

A22 -0.00087

AZ1

AZ0

ONC

DIE

NUE

OCH

SIE

SEI

CIN

CUA

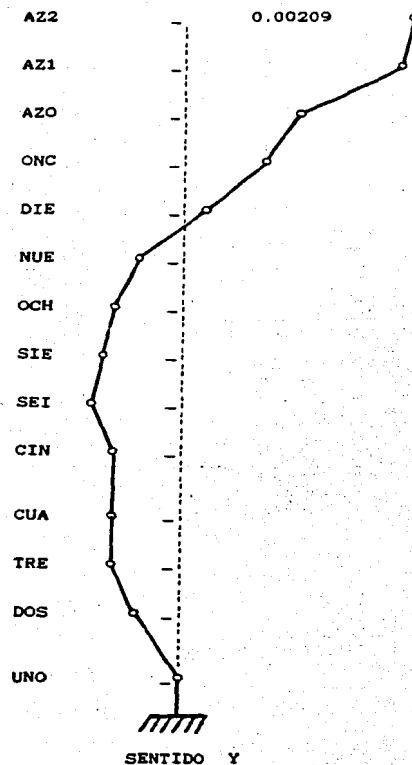
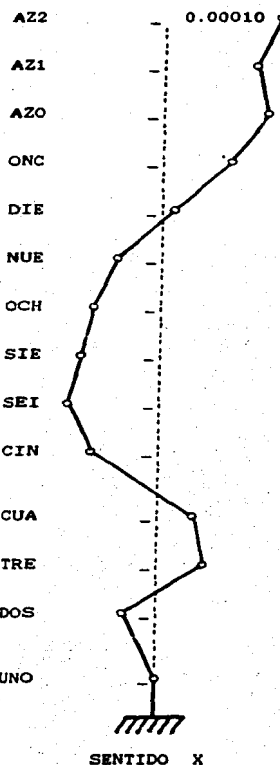
TRE

DOS

UNO

SENTIDO Y

MODOS DE VIBRAR



MODO 4

MODOS DE VIBRAR

AZ2 -0.00250

AZ1

AZ0

ONC

DIE

NUE

OCH

SIE

SEI

CIN

CUA

TRE

DOS

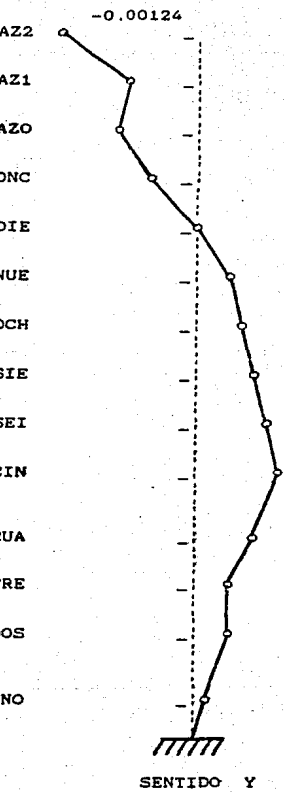
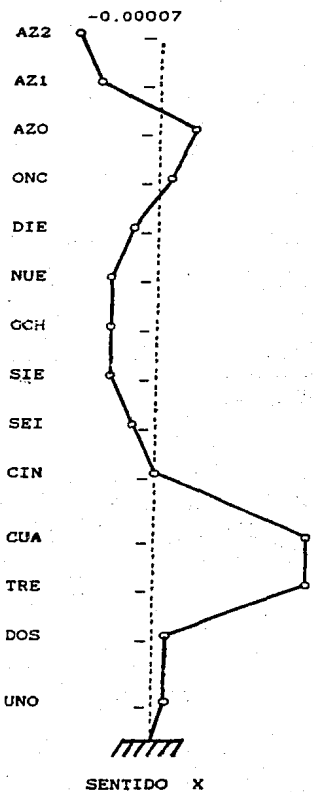
UNO

SENTIDO X

SENTIDO Y

MODO 5

MODOS DE VIBRAR



MODO 6

Las estructuras de acero en general poseen ciertas características muy favorables que las hacen ser idóneas para resistir los efectos sismicos, permitiendo el Reglamento usar factores de reducción por ductilidad muy elevados, sin embargo hay que tener cuidado en que por esta misma propiedad no se produzcan grandes desplazamientos como en el caso de este edificio en el que se reportaron desplazamientos de hasta 1.70 metros en el nivel superior, lo cuál explica los choques producidos con el edificio colindante, ya que la separación entre ambos es de sólo 40 centímetros.

Además hay que tomar en cuenta que la interacción muros-estructura ayudó a soportar las fuerzas cortantes considerablemente dando lugar a una reducción de los desplazamientos por lo que se puede pensar que los desplazamientos reales fueron menores a los dados por el programa.

Otros resultados obtenidos fueron los factores de participación de los modos, las fuerzas y cortantes de entrepiso, los elementos mecánicos actuantes en cada una de las trabes (momentos flexionantes en cada extremo, fuerza cortante máxima, momento torsionante), y en columnas (momentos flexionantes en cada extremo en ambos sentidos, fuerza cortante máxima en cada sentido, fuerza axial y momento torsionante).

A continuación se reproducen hojas de resultados del programa, correspondientes a los desplazamientos referidos al centro de masa en los niveles de piso respectivos.

/HOTEL DEL PRADO
/ANALISIS TRIDIMENSIONAL

RESPONSE SPECTRUM LATERAL STORY DISPLACEMENTS

DISPLACEMENTS ARE AT THE CENTERS OF MASS OF THE RESPECTIVE STORY LEVELS

LEVEL	DIRN	LOAD CONDITIONS		
		DYN-1	DYN-2	DYN-3
AZ2	X	1.7099	0.2138	0.0000
AZ2	Y	0.2220	1.3080	0.0000
AZ2	ROTZ	0.0038	0.0297	0.0000
AZ1	X	1.6300	0.2063	0.0000
AZ1	Y	0.2294	1.4096	0.0000
AZ1	ROTZ	0.0037	0.0267	0.0000
AZO	X	1.4566	0.1955	0.0000
AZO	Y	0.1887	1.0732	0.0000
AZO	ROTZ	0.0035	0.0269	0.0000
ONC	X	1.3664	0.1818	0.0000
ONC	Y	0.1740	1.0004	0.0000
ONC	ROTZ	0.0033	0.0253	0.0000
DIE	X	1.1956	0.1627	0.0000
DIE	Y	0.1542	0.9008	0.0000
DIE	ROTZ	0.0030	0.0231	0.0000
NUE	X	1.0084	0.1388	0.0000
NUE	Y	0.1303	0.7758	0.0000
NUE	ROTZ	0.0026	0.0203	0.0000
OCH	X	0.8686	0.1209	0.0000
OCH	Y	0.1141	0.6961	0.0000
OCH	ROTZ	0.0024	0.0183	0.0000
SIE	X	0.7190	0.1016	0.0000
SIE	Y	0.0972	0.6062	0.0000
SIE	ROTZ	0.0021	0.0161	0.0000
SEI	X	0.5859	0.0837	0.0000
SEI	Y	0.0794	0.5003	0.0000
SEI	ROTZ	0.0018	0.0141	0.0000
CIN	X	0.4745	0.0644	0.0000
CIN	Y	0.0585	0.3480	0.0000
CIN	ROTZ	0.0016	0.0120	0.0000
CUA	X	0.3556	0.0509	0.0000
CUA	Y	0.0489	0.2860	0.0000
CUA	ROTZ	0.0011	0.0086	0.0000
TRE	X	0.2685	0.0430	0.0000
TRE	Y	0.0452	0.2690	0.0000
TRE	ROTZ	0.0008	0.0062	0.0000

/HOTEL DEL PRADO

PROGRAM:ETABS(FILE:PRADO.STR)

/ANALISIS TRIDIMENSIONAL

RESPONSE SPECTRUM LATERAL STORY DISPLACEMENTS

DISPLACEMENTS ARE AT THE CENTERS OF MASS OF THE RESPECTIVE STORY LEVELS

LEVEL	DIRN	LOAD CONDITIONS		
		DYN=1	DYN=2	DYN=3
DOS	X	0.1644	0.0208	0.0000
DOS	Y	0.0245	0.1362	0.0000
DOS	ROTZ	0.0006	0.0041	0.0000
UNO	X	0.0269	0.0035	0.0000
UNO	Y	0.0037	0.0186	0.0000
UNO	ROTZ	0.0001	0.0008	0.0000

VI.- PROPUESTA DE REPARACION

El diseño de edificios para resistir temblores involucra la creación de sistemas estructurales con una óptima combinación de propiedades que sean capaces de resistir las fuerzas a las cuales estarán sujetos.

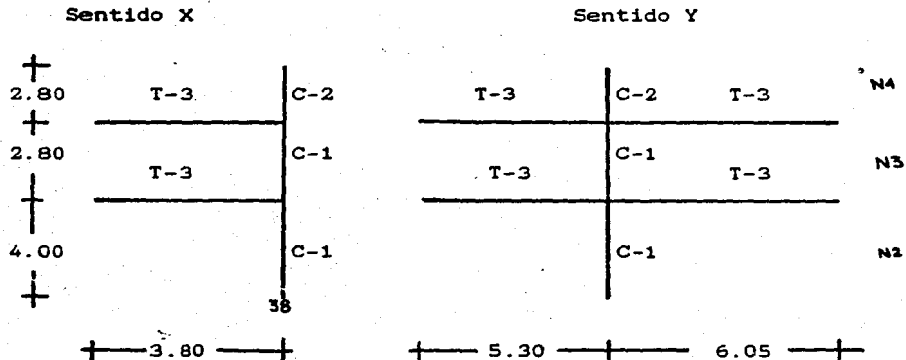
Estas propiedades incluyen resistencia, rigidez, absorción y disipación de energía y capacidad de deformación elástica. Con estos atributos, una estructura es capaz de responder a temblores frecuentes de intensidad moderada sin daños significantes, y a sismos excepcionalmente severos sin poner en peligro su estabilidad, contenido o vidas humanas.

Para cumplir estos requerimientos se necesita aplicar los reglamentos, tanto en la etapa del diseño como en la construcción del edificio. Deben entenderse los factores básicos que determinan la respuesta sísmica de una estructura proponiendo sistemas estructurales que tengan las propiedades necesarias para resistir las cargas sísmicas y controlar el daño, de tal manera que los costos de reconstrucción no sean muy elevados.

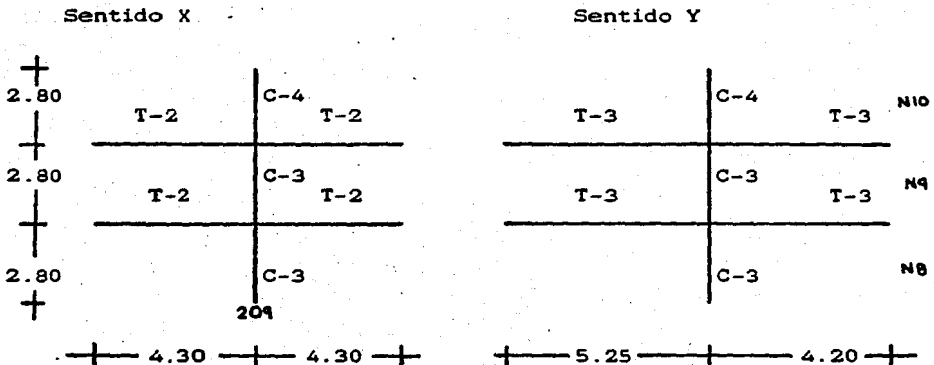
En base a lo anterior y de acuerdo con los resultados arrojados por el programa, se procedió a la revisión de algunos de los elementos estructurales, así como de las conexiones típicas que se encuentran en mayor cantidad en el edificio. Como ejemplo de dichos cálculos se presenta a continuación la revisión de dos columnas, dos trabes y dos conexiones, con las especificaciones del AISC, versión 1983.

A continuación se revisarán las siguientes columnas:

Columna 1



Columna 2



REVISION DE COLUMNAS SECCION TIPO 1 DE NIVEL 3

Línea de columna 38

L = 2.80 metros

Sentido X

$$G_{ax} = \frac{\sum \frac{J_c}{L_c}}{\sum \frac{I_t}{L_t}} = \frac{\left[\frac{17753 \text{ E-8}}{2.8} + \frac{51854 \text{ E-8}}{2.8} \right]}{\left[\frac{8982.3 \text{ E-8}}{3.8} \right]} = 10.5$$

$$G_{bx} = \frac{\left[\frac{51854.6 \text{ E-8}}{2.8} + \frac{51854.6 \text{ E-8}}{4.0} \right]}{\left[\frac{8982.3 \text{ E-8}}{3.8} \right]} = 13.3$$

Del nomograma para miembros arriostrados por estar las columnas confinadas $K_x = 0.96$

$$\left[\frac{K_x}{r} \right]_x = \frac{0.96 (2.8)}{13.43 \text{ E-2}} = 20$$

Sentido Y

$$G_{ay} = \frac{\left[\frac{17753 \text{ E-8}}{2.8} + \frac{53173.5 \text{ E-8}}{2.8} \right]}{\left[\frac{8982.3 \text{ E-8}}{5.3} + \frac{8982.3 \text{ E-8}}{6.05} \right]} = 8.0$$

$$G_{by} = \frac{\left[\frac{53173.5 \text{ E-8}}{2.8} + \frac{53173.5 \text{ E-8}}{4.0} \right]}{\left[\frac{8982.3 \text{ E-8}}{5.3} + \frac{8982.3 \text{ E-8}}{6.05} \right]} = 10.1$$

Del nomograma $K_y = 0.95$

$$\left[\frac{K_y}{r} \right]_y = \frac{0.95 (2.8)}{13.6 \text{ E-2}} = 19.5$$

Rige sentido X $F_a = 1332 \text{ kg/cm}^2$

Del análisis de la estructura se obtuvieron los siguientes resultados:

$$N = 12761 \text{ kg}$$

$$M_{xa} = 14372 \text{ kg-m}$$

$$My_a = 26990 \text{ kg-m}$$

$$M_{xb} = 14860 \text{ kg-m}$$

$$My_b = 14585 \text{ kg-m}$$

Cálculo de los esfuerzos actuantes.

$$f_a = \frac{N}{A} = \frac{12761}{287.22E-4} = 444293.6 \text{ kg/m}^2 = 44.4 \text{ kg/cm}^2$$

$$f_{bx} = \frac{M_x}{S_x} = \frac{14860}{3202.8E-6} = 4639690 \text{ kg/m}^2 = 463.9 \text{ kg/cm}^2$$

$$f_{by} = \frac{My}{S_y} = \frac{26990}{3489E-6} = 7735740 \text{ kg/m}^2 = 773.6 \text{ kg/cm}^2$$

Cálculo de los esfuerzos permisibles por flexión.

Por tratarse de acero A33, se tomará un $F_y = 2320 \text{ Kg/cm}^2$

-Sentido X

$$\text{Tomando } F_{bx} = 0.6 F_y = 1392 \text{ kg/cm}^2$$

-Sentido Y

$$F_{by} = 0.75 F_y = 1740 \text{ kg/cm}^2$$

Revisión de la fórmula de interacción.

$$\frac{f_a}{F_a} = \frac{44.4}{1332} = 0.03 < 0.15$$

$$\frac{f_a}{F_a} + \frac{f_{bx}}{F_{bx}} + \frac{f_{by}}{F_{by}} = 1.0$$

$$\frac{f_a}{0.6 F_y} = \frac{44.4}{1392} = 0.03$$

$$\frac{f_{bx}}{F_{bx}} = \frac{463.9}{1392} = 0.34$$

$$\frac{f_{by}}{F_{by}} = \frac{773.6}{1740} = 0.44$$

$$0.03 + 0.34 + 0.44 = 0.81 < 1.0 \quad \text{La sección pasa.}$$

REVISION DE COLUMNA SECCION TIPO 3 DE NIVEL 9

Línea de columna 209

$L = 2.80$ metros

Sentido X

$$Gax = \frac{\sum \frac{I_c}{L_c}}{\sum \frac{I_t}{L_t}} = \frac{\left[\frac{7275E-8}{2.8} + \frac{1625.8 E-8}{2.8} \right]}{2 \left[\frac{5082.2E-8}{4.3} \right]} = 1.34$$

$$Gbx = \frac{2 \left[\frac{7275E-8}{2.8} \right]}{2 \left[\frac{5082.2E-8}{4.3} \right]} = 2.20$$

Del nomograma $K_x = 0.83$

$$\left[\frac{K_1}{r} \right] x = \frac{0.83 (2.8)}{7.08E-2} = 33$$

Sentido Y

$$Gay = \frac{\left[\frac{11503E-8}{2.8} + \frac{1625.8 E-8}{2.8} \right]}{\left[\frac{8982.3E-8}{4.2} + \frac{8982.3 E-8}{5.25} \right]} = 1.2$$

$$Gby = \frac{2 \left[\frac{11503E-8}{2.8} \right]}{\left[\frac{8982.3 E-8}{4.2} + \frac{8892.3 E-8}{5.25} \right]} = 2.1$$

Del nomograma $K_y = 0.82$

$$\left[\frac{K_1}{r} \right] y = \frac{0.82 (2.8)}{8.90E-2} = 26$$

Rige sentido X $F_a = 1276$ kg/cm²

Del análisis de la estructura se obtuvieron los siguientes resultados:

$$N = 2768$$
 kg

$$M_{xa} = 8474$$
 kg-m

$$M_{xb} = 7813$$
 kg-m

$$Mya = 23182$$
 kg-m

$$Myb = 18729$$
 kg-m

Cálculo de los esfuerzos actuantes.

$$f_a = \frac{N}{A} = \frac{2768}{145.16} = 19.06 \text{ kg/cm}^2$$

$$f_{bx} = \frac{M_x}{S_x} = \frac{8474}{1164.9E-6} = 727.4 \text{ kg/cm}^2$$

$$f_{by} = \frac{M_y}{S_y} = \frac{23182}{2139E-6} = 1084 \text{ kg/cm}^2$$

Cálculo de los esfuerzos permisibles por flexión.

-Sentido X

Tomando $F_{bx} = 0.6 F_y = 1392 \text{ kg/cm}^2$

-Sentido Y

$F_{by} = 0.75 F_y = 1740 \text{ kg/cm}^2$

Revisión de la fórmula de interacción.

$$\frac{f_a}{F_a} = \frac{19.06}{1276} = 0.01 < 0.15$$

$$\frac{f_a}{F_a} + \frac{f_{bx}}{F_{bx}} + \frac{f_{by}}{F_{by}} = 1.0$$

$$\frac{f_a}{0.6 F_y} = \frac{19.06}{1392} = 0.01$$

$$\frac{f_{bx}}{F_{bx}} = \frac{727.4}{1392} = 0.52$$

$$\frac{f_{by}}{F_{by}} = \frac{1084}{1740} = 0.62$$

$$0.01 + 0.52 + 0.62 = 1.15 > 1.0 \quad \text{La sección es escasa.}$$

REVISION DE TRABE SECCION TIPO 1 NIVEL AZ1

Bay 206

No existiendo la posibilidad de pandeo lateral ya que la losa lo impide, se considerará una sección compacta.

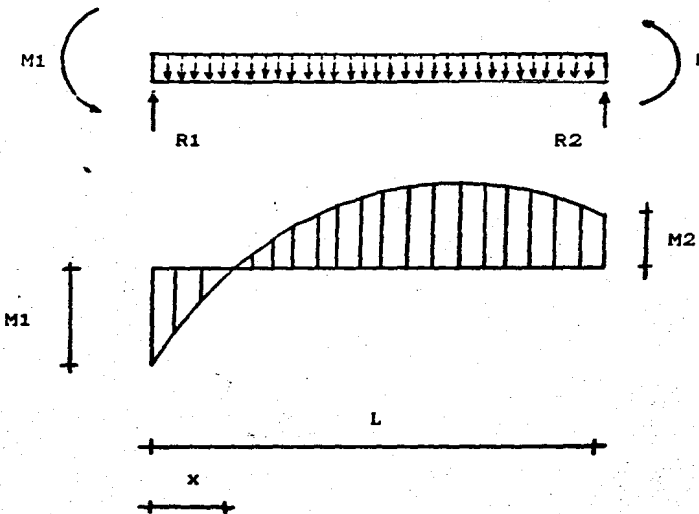
$$F_b = 0.66F_y = 1531 \text{ kg/cm}^2$$

$$\text{Por sismo: } F_b = 1.33(1531) = 2036 \text{ kg/cm}^2$$

Del Análisis Dinámico se obtuvieron los siguientes momentos sismicos :

$$M_1 = 12977 \text{ Kg-m}$$

$$M_2 = 10846 \text{ Kg-m}$$



La ecuación de momentos es:

$$M_x = \frac{w x}{2} (L - x) + \left[\frac{M_1 + M_2}{L} \right] (x) - M_1$$

Derivando la ecuación anterior e igualandola a cero para obtener la distancia donde el momento positivo es máximo:

$$\frac{d M_x}{d x} = \frac{wL}{2} - (wx) + \frac{M_1 + M_2}{L} = 0$$

despejando el valor de x

$$x = \frac{L}{2} + \frac{M_1 + M_2}{wL}$$

sustituyendo:

$$w = 1806 \text{ Kg/m}$$

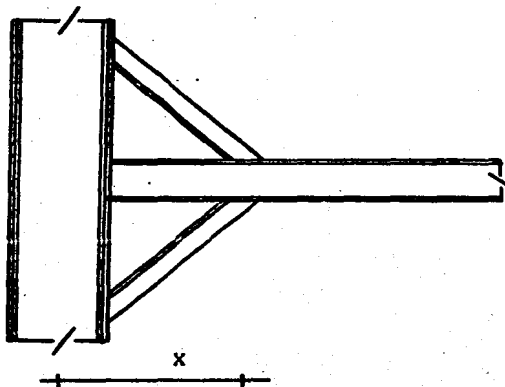
$$L = 5.60 \text{ m}$$

$$x = \frac{5.60}{2} + \frac{(12977 + 10846)}{(1806)(5.60)} = 5.1 \text{ m}$$

$$M_{(+)\max} = \frac{1806(5.1)}{2}(5.6-5.1) + \frac{(12977 + 10846)}{5.6}(5.1) - 12977$$

$$M_{(+)\max} = 11021 \text{ Kg-m}$$

Considerando la existencia de ménsulas, se obtendrá el momento a una distancia $X=0.45 \text{ m}$. del eje de la columna.



El momento en $X=0.45 \text{ m}$. es:

$$M = \frac{1806(0.45)}{2}(5.6-0.45) + \frac{(12977+10846)}{5.6}(0.45)-12977 =$$

$$M = 8970 \text{ Kg-m}$$

Revisión por flexión.

$$f_b = \frac{M}{S} = \frac{11021}{965.2E-2} = 1142 \text{ kg/cm}^2 < f_b$$

Revisión por cortante.

$$A_x = \text{Área del alma} = 36.82 \text{ cm}^2$$

$$F_v = 0.4 F_y = 0.4(2320) = 928 \text{ kg/cm}^2$$

Del análisis sismico se obtuvo que la fuerza cortante es de:
 $V = 2299 \text{ Kg.}$

Por fuerzas gravitacionales se obtiene la fuerza cortante a una distancia $X=0.45 \text{ m.}$

$$V(x) = \frac{wL}{2} - wx$$

$$V = 5056.8 - 1806x = 4244 \text{ Kg.}$$

$$V \text{ total} = 2299 + 4244 = 6543 \text{ Kg.}$$

$$F_v = \frac{V}{A_x} = \frac{6543}{36.87} = 177.5 \text{ kg/cm}^2 < F_v$$

Revisión por Flecha.

$$\Delta_{\max} = \frac{M_1(2L-x) + M_2(L+x)}{48 EI} + \frac{5 w L^4}{384 EI}$$

simplificando:

$$\Delta_{\max} = \frac{3/2 L (M_1 + M_2)}{48 EI} + \frac{5 w L^4}{384 EI}$$

$$\Delta_{\max} = 0.001 + 0.002 = 0.003 \text{ m}$$

$$\Delta_{\text{perm}} = \frac{L}{360} = \frac{560}{360} = 1.5 \text{ cm.}$$

$$\Delta_{\max} < < \Delta_{\text{perm}}$$

No existe posibilidad por pandeo local por ser un perfil laminado que cumple con la relación ancho-espesor de placas.

REVISION DE TRABE SECCION TIPO 4 NIVEL 6

Bay 207

No existiendo la posibilidad de pandeo lateral ya que la losa lo impide, se considerará una sección compacta.

$$F_b = 0.66 F_y = 1531 \text{ kg/cm}^2$$

$$\text{Por sismo: } F_b = 1.33(1531) = 2036 \text{ kg/cm}^2$$

Del Análisis Dinámico se obtuvieron los siguientes momentos sismicos :

$$M_1 = 14099 \text{ Kg-m}$$

$$M_2 = 8591 \text{ Kg-m}$$

$$w = 1806 \text{ Kg/m}$$

$$L = 5.60 \text{ m}$$

$$x = \frac{5.60}{2} + \frac{(14099 + 8591)}{(1806)(5.60)} = 5.0 \text{ m}$$

$$M_{(+)\max} = \frac{1806(5.0)}{2}(5.6 - 5.0) + \frac{(14099 + 8591)}{5.6}(5.0) - 14099$$

$$M_{(+)\max} = 13384 \text{ Kg-m}$$

Considerando la existencia de ménulas, se obtendrá el momento a una distancia $x=0.45 \text{ m.}$ del eje de la columna.

El momento en $x=0.45 \text{ m.}$ es:

$$M = \frac{1806(0.45)}{2}(5.6 - 0.45) + \frac{(14099 + 8591)}{5.6}(0.45) - 14099 =$$

$$M_{(-)} = 10183 \text{ Kg-m}$$

Revisión por flexión.

$$f_b = \frac{M}{S} = \frac{14099}{1330.6E-2} = 1060 \text{ kg/cm}^2 < F_b$$

Revisión por cortante.

$$A_x = \text{Area del alma} = 52.44 \text{ cm}^2$$

$$F_v = 0.4 F_y = 0.4(2320) = 928 \text{ kg/cm}^2$$

Del análisis sismico se obtuvo que la fuerza cortante es de:

$$V = 4267 \text{ Kg.}$$

Por fuerzas gravitacionales se obtiene la fuerza cortante a una distancia $X=0.45 \text{ m.}$

$$V(x) = \frac{w L}{2} - w x$$

$$V = 5056.8 - 1806 x = 4244 \text{ Kg.}$$

$$V \text{ total} = 4267 + 4244 = 8511 \text{ Kg.}$$

$$f_v = \frac{V}{Ax} = \frac{8511}{52.44} = 162.3 \text{ kg/cm}^2 < f_v$$

Revisión por Flecha.

$$\Delta_{\max} = \frac{3/2 L (M_1 + M_2)}{48 EI} + \frac{5 w L^4}{384 EI}$$

$$\Delta_{\max} = \frac{3/2(5.6)(14099+8591)}{48(2E10)(25348.6E-8)} + \frac{5(1806)(5.60)^4}{384(2E10)(25348.6E-8)} =$$

$$\Delta_{\max} = 0.0044 \text{ m}$$

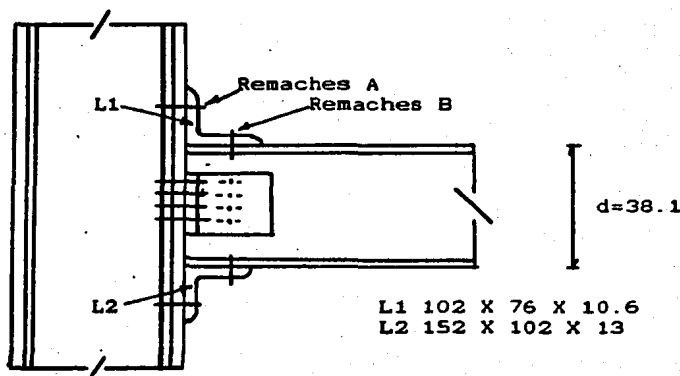
$$\Delta_{\text{perm}} = \frac{L}{360} = \frac{560}{360} = 1.5 \text{ cm.}$$

$$\Delta_{\max} < \Delta_{\text{perm}}$$

No existe posibilidad por pandeo local por ser un perfil laminado que cumple con la relación ancho-espesor de placas.

REVISION DE UNA CONEXION TIPICA.

Sin considerar mènsulas



Remaches A502-2

$$\varnothing = 3/4"$$

$$\text{Gramil} = 4.44 \text{ cm.}$$

$$t = 5/8" = 1.6 \text{ cm.}$$

$$Cv = 682 \text{ kg.}$$

$$Cp = 1722 \text{ kg.}$$

$$A = 2.85 \text{ cm}^2$$

- Cálculo del momento resistente.

El momento flexionante es tomado por los ángulos conectados por los patines de la trabe.

- Momento por remaches.

Remaches A

$$F_t = f_t = 2039 \text{ kg/cm}^2$$

$$F_1 = 2039(2)(2.85) = 11622 \text{ kg.}$$

$$M = F_d = 11622(0.381) = 4428 \text{ kg-m}$$

Remaches B

$$F_v = f_v$$

$$F_2 = F_v(\text{No. remaches})(\text{Area}) = (1547)(2)(2.85) = 8810 \text{ kg}$$

$$M = F_d = 8810(0.381) = 3360 \text{ kg-m}$$

- Momento por el ángulo.

$$B = \text{ancho del ángulo} = 15.2 \text{ cm.}$$

$$t = 5/8" = 1.6 \text{ cm.}$$

$$k = \text{acuerdo del ángulo} = 2.7 \text{ cm.}$$

$$S = \frac{\frac{B t^2}{6}}{6} = \frac{15.2(1.6)^2}{6} = 6.5 \text{ cm}^3$$

$$m = \text{momento del ángulo.}$$

$$m = S (0.75 f_y) = 6.5(0.75)(2530) = 12334 \text{ kg-cm}$$

La sección crítica se encuentra a una distancia g-k

$$d = g - k = 4.44 - 2.7 = 1.7 \text{ cm.}$$

$$F_3 = \frac{m}{d} = \frac{12334}{1.7} = 7255 \text{ kg.}$$

$$M = Fd = 7255(0.381) = 2764 \text{ kg-m}$$

- Cálculo del cortante resistente.

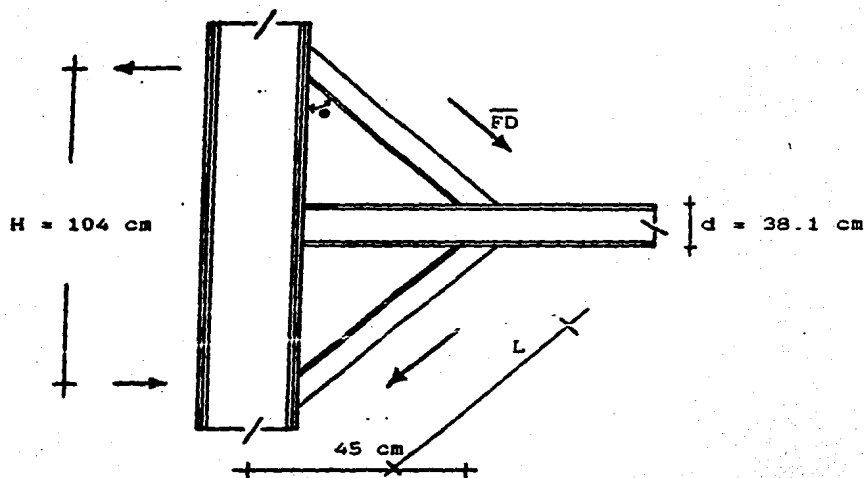
La fuerza cortante es tomada por los ángulos espalda con espalda conectados al alma.
Existen ocho remaches.

$$Cv = 682 \text{ kg.}$$

$$F = Cv (\text{No. remaches}) = 682(8) = 5456 \text{ kg.}$$

Se concluye que los momentos resistentes fueron ampliamente superados por los momentos actuantes en este tipo de conexión sin mènsulas.

Ahora se revisará una conexión contemplando el efecto que proporcionaron las ménulas.



La ménula es un ángulo cuyas propiedades son:

Ángulo APS 152 X 102 X 13

Área = 30.65 cm²

I_x = 723.8 cm⁴

I_y = 261 cm⁴

- Cálculo del momento resistente.

Ángulo trabajando a compresión.

$$L = 46.7 \text{ cm.}$$

$$K = 1$$

$$Rx = \sqrt{\frac{Ix}{A}} = \sqrt{\frac{723.8}{30.65}} = 4.8 \text{ cm.}$$

$$\left[\frac{KL}{Rx} \right] = \frac{1 (46.7)}{4.8} = 9.7$$

$$Ry = \sqrt{\frac{261}{30.65}} = 2.9 \text{ cm}$$

$$\left[\frac{KL}{Ry} \right] = \frac{1 (46.7)}{2.9} = 16$$

Rige sentido Y

para una relación de esbeltez de 16

$$Fa = 1347 \text{ Kg/cm}^2$$

$$\overline{FD} = Fa A = (1347) (30.65) = 41285 \text{ Kg}$$

$$F = \frac{\overline{FD}}{\sin \theta} = \frac{41285}{\sin 45} = 58385 \text{ Kg}$$

$$M = F H = 58385 (1.04) = 60720 \text{ Kg-m}$$

Angulo trabajando a tensión.

$$\overline{FD} = 0.6 F_y A = (0.6)(2320)(30.65) = 42665 \text{ Kg}$$

$$F = \frac{\overline{FD}}{\sin \theta} = \frac{42665}{\sin 45} = 60337 \text{ Kg}$$

$$M = F H = (60337)(1.04) = 62750 \text{ Kg-m}$$

Rige el momento cuando el angulo esta trabajando a compresión.

De acuerdo a los cálculos anteriores y tomando en cuenta todos los resultados del Análisis Dinámico Tridimensional realizado se pueden hacer las siguientes observaciones:

El periodo fundamental de vibración, fué menor a dos segundos gracias a la participación de los muros de mampostería divisorios que resultaron seriamente dañados, ayudando a evitar una resonancia dinámica.

A pesar de lo anterior, los desplazamientos sobrepasaron en mucho a los desplazamientos permisibles, provocando impactos y grave daño en una zona de colindancia, aunado con la irregularidad del edificio en planta que dió lugar a fuertes torsiones.

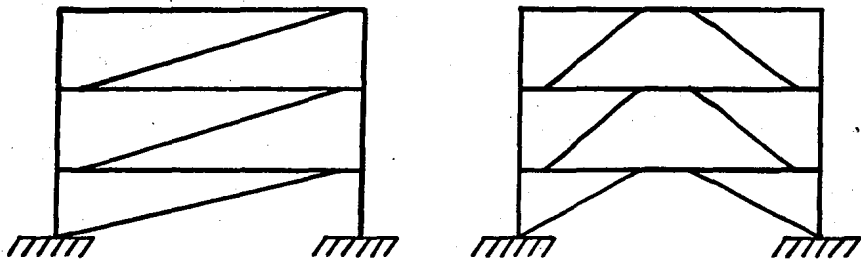
Según los cálculos realizados, se aprecia que los elementos mecánicos producidos por el sismo sobrepasaron la capacidad de algunas de las columnas, sin que se produciera colapso, a pesar de la esbeltez de las secciones. Sin embargo en las trabes no se presentó este problema. En lo referente a conexiones, se demostró que los esfuerzos actuantes fueron mayores a los resistentes, razón por la cual se observaron fallas en conexiones por degollamiento de remaches y plastificación de otros elementos conectores.

En base a lo anterior, se propone un contraventeo de marcos que cumpla la función, en primer lugar, de dar rigidez al edificio permaneciendo el periodo menor de dos segundos y

por otro lado, la de restringir los desplazamientos laterales para cumplir con lo especificado en el reglamento.

Es posible a través de un sistema de acero estructural diseñar marcos de edificios con el nivel deseado de ductilidad y absorción de energía. Los más comunes son marcos contraventeados y marcos a momento. El marco contraventeados es altamente eficiente, tiene gran rigidez, y ha sido usado en un gran número de edificios, aunque su rigidez limita su capacidad de absorción de energía. Por otro lado los marcos a momento son favorecidos por los reglamentos, gracias a su capacidad para resistir momentos, deformarse ampliamente y absorber grandes cantidades de energía, por lo que son usados en zonas de riesgo sísmico.

Un nuevo desarrollo dentro de la Ingeniería Sísmica, lo constituye el marco contraventeados excéntricamente, es un sistema que combina las características favorables de ambos tipos de marcos. Este marco ofrece además otras ventajas, principalmente en el diseño de conexiones ya que impide una falla prematura del nudo, es decir se formará una articulación plástica en elementos estructurales horizontales antes que en verticales, además en caso de resultar dañado es fácilmente reparable.



Marcos contraventeados excéntricamente.

El reemplazar los muros interiores de mampostería de este edificio por marcos contraventeados excéntricamente permitiría reducir el peso considerablemente y ampliar sus reservas de resistencia a los sismos. El dotar de amortiguamiento suplementario a los edificios mejora su comportamiento y disminuye ampliamente las solicitudes sismicas. Otra alternativa que se emplea para reforzar estructuras de edificios existentes son los llamados amortiguadores elastoméricos, los cuales actúan como una primera línea de defensa donde las estructuras se comportan fundamentalmente en el rango elástico, para que excedida esta primera resistencia, se inicie el comportamiento inelástico desarrollando entonces las reservas por ductilidad de los sistemas estructurales.

Además de la reparación de la zona dañada por impactos, se requiere reforzar las conexiones a base de soldadura para garantizar la transmisión de esfuerzos entre los elementos conectados y que puedan desarrollar su capacidad completa.

Este reforzamiento puede hacerse despreciando la existencia de remaches y diseñando para que los esfuerzos sean resistidos por los cordones de soldadura, aprovechando que gran porcentaje de las conexiones fueron descubiertas del recubrimiento de concreto para la inspección de la estructura.

VII. CONCLUSIONES

El diseño sismico de estructuras implica no sólo la consideración de un conjunto de cargas estáticas laterales aplicadas a un edificio, requiere además la selección de un sistema estructural idóneo capaz de absorver las solicitudes sismicas y de un cuidado especial en cumplir los requisitos de dimensionamiento y de detalle de los elementos estructurales y aún de los elementos secundarios.

El principal objetivo del diseño sismorresistente es proporcionar a la estructura la capacidad para disipar la energía que se induce en ella durante un sismo, dicha capacidad puede lograrse proporcionando a la estructura una resistencia que le permita mantener su comportamiento dentro del límite elástico, o bien, diseñándola con una resistencia menor pero con propiedades de ductilidad que le permitan disipar la energía inducida por el sismo. De esta forma se alcanzarán ante el sismo de diseño, las fuerzas internas para las que se dimensionó la estructura y después ésta tendrá que deformarse inelásticamente hasta alcanzar desplazamientos superiores a los que se calculan en un análisis elástico.

Es importante señalar que un sismo no puede producir fuerzas mayores que las que la estructura misma pueda soportar, ya que las fuerzas están limitadas por la capacidad de modos de falla dúctiles, evitando el modo de falla frágil.

Por otra parte, el diseño debe contemplar que las deformaciones laterales sean pequeñas, para lo cual la estructura debe poseer la rigidez adecuada.

El sismo del 19 de Septiembre de 1985 sobrepasó por mucho la intensidad que se contemplaba en los reglamentos de construcción del Distrito Federal. La regularidad del movimiento ocasionó que las estructuras con periodo fundamental cercano a dos segundos fueran especialmente vulnerables.

Las estructuras de acero han demostrado tener un comportamiento aceptable ante el efecto de sismos importantes. La ductilidad del acero ha probado su eficacia para resistir sismos extraordinarios, sin embargo debe tenerse cuidado de que la falla no se produzca por alguno de los siguientes factores: pandeo local o fractura en elementos de alma abierta, falla frágil en soldadura, tornillos o remaches; por concentraciones de esfuerzos, pandeo global de un elemento, falla local en columnas de sección cajón y fallas locales en conexiones.

Las conexiones entre vigas y columnas deben diseñarse para que permitan a los elementos que se conectan, desarrollar su capacidad total sin que antes se presenten fallas locales en dicha conexión. Para evitar la fluencia en tensión ó el pandeo en compresión del alma de la columna, deberá

proporcionarse atiesadores que sean capaces de resistir la fuerza de fluencia del patin de las vigas.

En el caso particular del Hotel del Prado, cuya estructura metálica es realmente esbelta, los muros interiores tuvieron una importante participación en la disipación de la energía liberada por el sismo, quedando la ductilidad del acero como una segunda linea de defensa.

Como se demostró en el capítulo anterior, muchas de las conexiones resultaron subdiseñadas para la magnitud del sismo lo cual se pudo observar en las conexiones falladas por degollamientos de remaches y pandeo local de elementos conectores.

Debido a la falta de contraventeo, los muros de relleno tomaron la función de resistir las fuerzas laterales, pero al agrietarse disminuyeron la rigidez del edificio, haciendo que los desplazamientos aumentaran considerablemente, ocasionando que fueran mayores a los desplazamientos permisibles, y dando lugar a choques con la estructura colindante. Dicho impacto daño seriamente una zona del edificio, la cual requirió de un apuntalamiento para garantizar su estabilidad, ésta zona abarca dos crujías del marco perimetral de esquina, siendo ésta la zona mas afectada en toda la estructura.

El diseño estructural consiste en asegurarse de que hay una probabilidad suficientemente pequeña de que la resistencia de la estructura en conjunto, y la de los elementos que la componen correspondiente a cada uno de los estados límite de interés, sea menor que la solicitudación de diseño asociada a él (o lo que es lo mismo, hay una probabilidad suficientemente grande de que la resistencia sea mayor que la solicitudación).

La estructura por si sola resiste correctamente las cargas verticales, más no las debidas a un sismo como el que impone el reglamento.

Los muros de fachada e interiores "empacaron" a las columnas y trabes proporcionándoles la capacidad a cargas laterales de lo cual carecía el sistema estructural solo.

El reducido número de agrietamientos en muros y roturas de ventanas (excepto la zona de choque), hace pensar en que los desplazamientos laterales y los desplazamientos entre dos niveles consecutivos fueron reducidos. Sin embargo, fallas detectadas en un correcto comportamiento de la cimentación, provocaron oscilaciones del edificio como cuerpo rígido que se manifestaron con el choque con el edificio contiguo.

Se concentraron los daños en los puntos de unión entre los distintos cuerpos que integran el edificio por efectos de la

torsión, lo que se resloveria mediante la instalación de juntas constructivas y separación entre estos cuerpos.

Se sugiere reemplazar los muros interiores de mampostería por muros de tipo tablaroca, colocando estratégicamente sistemas de contraventeo excéntricos que reemplacen el efecto de los muros sin agregar la masa de los mismos.

Se sugiere asimismo estudiar la posibilidad de utilizar contraventos en forma de K o de V conectando los vértices de los mismos a las trabes mediante hojas de material elastomérico que permite incrementar el porcentaje de amortiguamiento crítico de la estructura a un 20 o 25%, tal y como lo propone la referencia 5. Esto permitirá trabajar con ordenadas espectrales considerablemente menores y reducir por lo tanto las fuerzas sismicas para el diseño del edificio.

La adopción del criterio de reparación expresado en el punto anterior, disminuirá considerablemente el momento de volteo en la cimentación reduciendo por lo tanto la deficiencia de la misma ante cargas sismicas.

La estructura metálica se encontró en buen estado de conservación, a pesar del tiempo transcurrido por lo que aunado al relativamente poco daño observado en ella, hará que la cantidad de elementos a reponer sea verdaderamente baja.

Podrían contemplarse otros aspectos tendientes a mejorar las condiciones de la estructura tales como: la sustitución de las losas existentes por losas coladas sobre lámina losacero y conectores mecánicos de cortante para mejorar la acción de diafragma de los entrepisos, la capacidad de carga de las trabes de entrepiso y disminuir las masas de los mismos, lo cual sin duda aliviaria a la cimentación existente.

La reparación del edificio deberá contemplar una revisión arquitectónica y electromecánica global del conjunto, de manera de revisar los acabados interiores y exteriores (fachadas) y rehacer las instalaciones electromecánicas e hidráulicas para ser congruentes con el reacondicionamiento estructural.

BIBLIOGRAFIA

- 1.- Newmark, N.M. y Rosenblueth, E., "FUNDAMENTOS DE INGENIERIA SISMICA", ED. DIANA, México, 1976.
- 2.- Dowrick, D.J., "DISEÑO DE ESTRUCTURAS RESISTENTES A SISMOS", ED. LIMUSA, México, 1984.
- 3.- Bazán, E. y Meli, R., "MANUAL DE DISEÑO SISMICO DE EDIFICIOS", ED. LIMUSA, México, 1985.
- 4.- De Buen, O., De Pablo, F., Esteve, L. y Olagaray, O., "APUNTES DE DISEÑO ESTRUCTURAL", Facultad de Ingeniería UNAM, México, 1984.
- 5.- Scholl, R.E., "BRACE DAMPERS: AN ALTERNATIVE STRUCTURAL SYSTEM FOR IMPROVING THE EARTHQUAKE PERFORMANCE OF BUILDINGS", Proceeding of the Eight World Conference on Earthquake Engineering, San Francisco, (July 1984)
- 6.- Meli, R., "EFFECTOS DE LOS SISMOS DE SEPTIEMBRE DE 1985 EN LAS CONSTRUCCIONES DE LA CIUDAD DE MEXICO, ASPECTOS ESTRUCTURALES" Primer y Segundo Informes del Instituto de Ingeniería, UNAM, México (Oct. y Nov. 1985).
- 7.- "NORMAS DE EMERGENCIA", Diario Oficial de la Federación México, D.F., octubre 1985.
- 8.- A.I.S.I./ILAFA.- "STEEL STRUCTURES FOR SEISMIC SAFETY". (Agosto, 1986)
- 9.- Mena, E., Quaas, E., Prince, J., "ACELEROGRAMA EN EL CENTRO SCOP DE LA SECRETARIA DE COMUNICACIONES Y TRANSPORTES. SISMO DEL 19 DE SEPTIEMBRE DE 1985", Informe IPS-10B, Instituto de Ingeniería UNAM, México, Sep. 1985.
- 10.- Meli, R., "DISEÑO ESTRUCTURAL", ED. LIMUSA, México, 1985.

- 11.- A.I.S.C.--"MANUAL OF STEEL CONSTRUCTION", Eighth Edition.
Chicago, Illinois.
- 12.- Habibullah, A., "EXTENDED THREE DIMENSIONAL ANALYSIS OF
BUILDING SYSTEMS". Version 86.01, Berkley, California.
- 13.- Hanson, Martin and Martinez Romero. "PERFORMANCE OF
STEEL STRUCTURES IN THE SEPTEMBER 19-20, 1985 MEXICO
EARTHQUAKES". Proceedings. AISC'S National Engineering
Conference. Nashville, Tenn. (June 1986).
- 14.- Martinez Romero, E. "EXPERIENCIAS DEL SISMO DE MEXICO
EN 1985". Trabajo presentado en el Congreso ILAFA-27
Mexico, 1986.
- 15.- School, R. and Martinez Romero, E. "EARTHQUAKE RETROFIT
DESIGN OF A 12-STORY BUILDING USING STRUCTURAL DAMPERS".
Proc. of the 2nd International Engineering and Technology
Conference, AMIME/SHPE. Mexico City, Mexico (Aug. 1986)

RECONOCIMIENTOS.

Un sincero agradecimiento al:
M.C. ENRIQUE MARTINEZ ROMERO, por su labor coordinadora de
este trabajo, así como por sus aportaciones y comentarios.

Se agradecen todas las atenciones y facilidades prestadas
por la empresa ENRIQUE MARTINEZ ROMERO S. A.

Se desea hacer patente un agradecimiento al:
Dr. ASHRAF HABIBULLAH quien amablemente colaboró en la
realización de esta tesis.

Se externa un agradecimiento a las siguientes personas que
participaron en la elaboración de este trabajo:

DR. FERNANDO ROSADO

ING. FRANCICO J. PEÑA

ING. AGUSTIN JUAREZ ORTEGA

ING. RUBEN CUADRA GERMAN

ING. JORGE MARTIN SEBASTIA

ING. HECTOR SOTO RODRIGUEZ